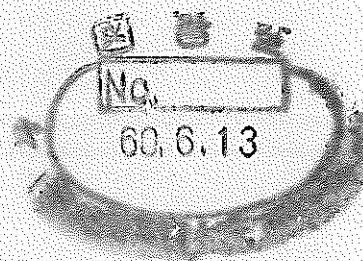


区分変更	
変更後資料番号	PNC
決裁年月日	平成10年3月26日

## 大リーグ・ナトリウム-水反応時の準定常時温度解析 (SWAC-13EによるSWAT-3 Run-4,5,6,7の実験解析)

—大リーグ・ナトリウム-水反応解析(第14報)—



1985年3月

技術資料コード	
開示区分	レポートNo.
S	N941 85-53
この資料は 図書室保存資料です 閲覧には技術資料閲覧票が必要です	
動力炉・核燃料開発事業団大洗工学センター技術管理室	

動力炉・核燃料開発事業団  
大洗工学センター

本資料は、核燃料サイクル開発機構の開発業務を進めるために作成されたものです。  
したがって、その利用は限られた範囲としており、その取扱には十分な注意を払って  
ください。この資料の全部または一部を複写・複製・転載あるいは引用する場合、  
特別の許可を必要としますので、下記にお問い合わせください。

〒319-1184 茨城県那珂郡東海村大字村松4番地49  
.. 核燃料サイクル開発機構  
技術展開部 技術協力課

Inquiries about copyright and reproduction should be addressed to:  
Technical Cooperation Section,  
Technology Management Division,  
Japan Nuclear Cycle Development Institute  
4-49 Muramatsu, Tokai-mura, Naka-gun, Ibaraki, 319-1184  
Japan

© 核燃料サイクル開発機構 (Japan Nuclear Cycle Development Institute)



配 布 限 定  
PNC 9N941 85-53  
1 9 8 5 年 3 月

# 大リーク・ナトリウムー水反応時の準定常時温度解析 (SWAC-13EによるSWAT-3 Run-4,5,6,7の実験解析)

## 一大リーク・ナトリウムー水反応解析（14報）－

田辺 裕美 \* 加藤木洋一 \* 黒羽 光男 \*  
岡部 綾夫 \*\* 吉岡 直樹 \*\*\* 大音 明洋 \*\*\*\*  
藤又 和博 \*\*\*\*\*

### 要 旨

高速増殖炉の蒸気発生器での大リーク・ナトリウムー水反応事故解析のための準定常温度計算コード SWAC-13E が開発された。本コードは、大リーク・ナトリウム解析総合コード SWACS の準定常圧力計算モジュール SWAC-13 にエネルギー保存式を組み込み大リーク時の温度評価も行なえるように改良したものである。

本報告書は、蒸気発生器安全性総合試験装置 (SWAT-3) での大リーク試験データを用いて行なった SWAC-13E の検証計算結果についてまとめたものである。

本検証作業で用いた主な解析パラメータは、i) 相対速度計算モデル、ii) 気泡／液滴密度、iii) 注水ノード分割数、及びiv) 反応熱である。これらの解析パラメータの適切な選択によって、SWAT-3 試験結果を保守的に評価できる事が明らかとなった。

---

\* 大洗工学センター高速炉安全工学部プラント安全工学室  
\*\* 高速炉エンジニアリング (嘱託)  
\*\*\* 三菱原子力工業 (同上)  
\*\*\*\* 東芝 (同上)  
\*\*\*\*\* 日立製作所 (同上)



NOT FOR PUBLICATION

PNC BN941 85-53

Mar. 1985

## Long-Term Thermo-Hydraulic Analysis in Large-Scale Sodium-Water Reaction (Analysis of SWAT-3 Runs 4, 5, 6, and 7 by SWAC-13E)

- Large-Scale Sodium-Water Reaction Analysis (Report No. 14) -

Hiromi Tanabe\*, Yoichi Katogi\*,  
Mitsuo Kuroha\*, Ayao Okabe\*\*,  
Naoki Yoshioka\*\*\*, Akihiro Ohto\*\*\*\*, and  
Kazuhiro Fujimata\*\*\*\*\*

### Abstract

SWAC13E is a one-dimensional thermo-hydraulic computer program to analyze large scale sodium-water reaction accidents in an LMFBR steam generator. The code is the advanced version of SWAC13, the long-term hydraulic analysis module of SWACS; the energy conservation is taken into consideration in the new version to add the function to analyze the temperature behavior of the reaction.

The present document covers the validation study of the code by using the large leak data of the Steam Generator Safety Test Facility (SWAT-3). The analytical parameters are as follows:

- 1) Model of relative velocity
- 2) Void/droplet density
- 3) The number of nodes where water leaks
- 4) Reaction heat

It is concluded that the code can analyze the phenomena with a reasonable conservatism by choosing the proper value of the parameters.

---

\* Plant Safety Section, FBR Engineering Division,

\*\* FBR Engineering Co., Ltd.

\*\*\* Mitsubishi Atomic Power Industries, Ltd.

\*\*\*\* Toshiba, Ltd.

\*\*\*\*\* Hitachi, Ltd.

## 目 次

1.0 はじめに .....	1
2.0 SWAT-3 実験と計算コードの概要 .....	2
2.1 実験装置と実験概要 .....	2
2.2 計算コードの概要 .....	7
3.0 実験検証 .....	10
3.1 Run-4 の実験解析 .....	11
3.2 Run-5 の実験解析 .....	15
3.3 Run-6 の実験解析 .....	21
3.4 Run-7 の実験解析 .....	25
4.0 実験検証のまとめ .....	29
4.1 概論 .....	29
4.2 主要解析パラメータの選択 .....	29
4.3 今後の課題 .....	32
5.0 おわりに .....	33
参考文献 .....	34
Appendix A コードの修正 .....	108
Appendix B インプット・データ・リスト .....	111

## 図　り　ス　ト

図 2.1 - 1 SWAT - 3 試験装置	35
Layout of SWAT - 3 Test Facility .....	35
図 2.1 - 2 Run - 5 試験体組立図	
Evaporator (Run 5) .....	36
図 2.1 - 3 Secondary Loop Circuit in SWAT - 3 .....	37
図 2.1 - 4 模擬加熱器組立図	
Superheater .....	38
図 2.1 - 5 中間熱交換器	
IHX .....	39
図 2.1 - 6 Instrumentations in Pressure Relief Line .....	40
図 2.1 - 7 放出系収納容器組立図	
Reaction Rroduct Tank .....	41
図 3.1 - 1 SWAT - 3, Run - 4 実験解析モデル	
Network Model for SWAT - 3 Run - 4 Analysis .....	42
図 3.1 - 2 気液相対速度の気泡／液滴抗力係数の依存性(リンク 27)－Hirt のモデル	
Sensitivity Study of Bubble/Droplet Drag Coefficient on Relative Velocity (Link 27)－Hirt's Model .....	43
図 3.1 - 3 水素ガス温度の気泡／液滴抗力係数の依存性(ノード 23)－Hirt のモデル	
Sensitivity Study of Bubble/Droplet Drag Coefficient on Hydrogen Temperature (Node 23)－Hirt's Model .....	43
図 3.1 - 4 水素ガス温度の気泡／液滴密度の依存性(ノード 7)－Hirt のモデル	
Sensitivity Study of Bubble/Droplet Density on Hydrogen Temperature (Node 7)－Hirt's Model .....	44
図 3.1 - 5 水素ガス温度の気泡／液滴密度の依存性(ノード 13)－Hirt のモデル	
Sensitivity Study of Bubble/Droplet Density on Hydrogen Temperature (Node 13)－Hirt's Model .....	44
図 3.1 - 6 水素ガス温度の気泡／液滴密度の依存性(ノード 23)－Hirt のモデル	
Sensitivity Study of Bubble/Droplet Density on Hydrogen Temperature (Node 23)－Hirt's Model .....	45
図 3.1 - 7 水素ガス温度の気泡／液滴密度の依存性(ノード 7)－Zuber のモデル	
Sensitivity Study of Bubble/Droplet Density on Hydrogen Temperature (Node 7)－Zuber's Model .....	45

図 3.1 - 8 水素ガス温度の気泡／液滴密度の依存性(ノード 13)－Zuber のモデル Sensitivity Study of Bubble/Droplet Density on Hydrogen Temperature (Node 13)－Zuber's Model .....	46
図 3.1 - 9 水素ガス温度の気泡／液滴密度の依存性(ノード 23)－Zuber のモデル Sensitivity Study of Bubble/Droplet Density on Hydrogen Temperature (Node 23)－Zuber's Model .....	46
図 3.1 - 10 蒸発器カバーガス部圧力 Sensitivity Study of Reaction Heat on Evaporator Cover Gas Pressure .....	47
図 3.1 - 11 蒸発器カバーガス部圧力 Sensitivity Study of Bubble/Droplet Density on Evaprnator Cover Gas Pressure .....	47
図 3.1 - 12 蒸発器カバーガス部水素ガス温度 Sensitivity Study of Reaction Heat on Hydrogen Temperature of EV Cover Gas .....	48
図 3.1 - 13 蒸発器カバーガス部水素ガス温度 Sensitivity Study of Bubble/Droplet Density on Hydrogen Temperature of EV Cover Gas .....	48
図 3.1 - 14 蒸発器カバーガス部ナトリウム温度 Sensitivity Study of Reaction Heat on Sodium Temperature of EV Cover Gas .....	49
図 3.1 - 15 蒸発器カバーガス部ナトリウム温度 Sensitivity Study of Bubble/Droplet Density on Sodium Temperature of EV Cover Gas .....	49
図 3.1 - 16 放出系配管水素ガス温度 Sensitivity Study of Reaction Heat on Hydrogen Temperature of Pressure Relief Line .....	50
図 3.1 - 17 放出系配管水素ガス温度 Sensitivity Study of Bbble/Droplet Density on Hydrogen Temperature of Pressure Relief Line .....	50
図 3.1 - 18 放出系配管ナトリウム温度 Sensitivity Study of Reaction Heat on Sodium Temperature of Pressure Relief Line .....	51

図 3.1 - 19 放出系配管ナトリウム温度	Sensitivity Study of Bubble/Droplet Density on Sodium Temperature of Evaporator Cover Gas .....	51
図 3.1 - 20 蒸発器カバーガス部圧力	Sensitivity Study of Reaction Heat on Evaporator Cover Gas Pressure .....	52
図 3.1 - 21 蒸発器カバーガス部圧力	Sensitivity Study of Bubble/Droplet Density on Evaporator Cover Gas Pressure .....	52
図 3.1 - 22 蒸発器カバーガス部水素ガス温度	Sensitivity Study of Reaction Heat on Evaporator Cover Gas Pressure .....	53
図 3.1 - 23 蒸発器カバーガス部水素ガス温度	Sensitivity Study of Reaction Heat on Hydrogen Temperature of Evaporator Cover Gas .....	53
図 3.1 - 24 蒸発器カバーガス部ナトリウム温度	Sensitivity Study of Reaction Heat on Sodium Temperature of Evaporator Cover Gas .....	54
図 3.1 - 25 放出系配管水素ガス温度	Sensitivity Study of Bubble/Droplet Density on Sodium Temperature of Evaporator Cover Gas .....	54
図 3.1 - 26 放出系配管水素ガス温度	Sensitivity Study of Reaction Heat on Hydrogen Temperature of Pressure Relief Line .....	55
図 3.1 - 27 放出系配管水素ガス温度	Sensitivity Study of Bubble/Droplet Density on Hydrogen Temperature of Pressure Relief Line .....	55
図 3.1 - 28 放出系配管ナトリウム温度	Sensitivity Study of Reaction Heat on Sodium Temperature of Pressure Relief Line .....	56
図 3.1 - 29 放出系配管ナトリウム温度	Sensitivity Study of Bubble/Droplet Density on Sodium Temperature of Pressure Relief Line .....	56

図 3.1 - 30 注水点の圧力

Comparison between Measurement in Run-4 Test and  
Calculations by SWAC-13E (Water Injection Point). ..... 57

図 3.1 - 31 蒸発器カバーガス圧力

Comparison between Measurement in Run-4 Test and  
Calculations by SWAC-13E (Cover-Gas of Evaporator). ..... 57

図 3.1 - 32 IHX圧力

Comparison between Measurement in Run-4 Test and  
Calculations by SWAC-13E (IHX). ..... 58

図 3.1 - 33 過熱器カバーガス圧力

Comparison between Measurement in Run-4 Test and  
Calculations by SWAC-13E (Superheater). ..... 58

図 3.1 - 34 放出系配管圧力

Comparison between Measurement in Run-4 Test and  
Calculations by SWAC-13E (Pressure Relief Piping). ..... 59

図 3.1 - 35 反応生成物収納容器圧力

Comparison between Measurement in Run-4 Test and  
Calculations by SWAC-13E (Reaction Product Tank). ..... 59

図 3.1 - 36 注水点下部水素ガス圧力

Comparison between Measurement in Run-4 Test and  
Calculations by SWAC-13E (Lower Part of Water  
Injection Point). ..... 60

図 3.1 - 37 注水点下部ナトリウム温度

Comparison between Measurement in Run-4 Test and  
Calculations by SWAC-13E (Lower Part of Water  
Injection Point). ..... 60

図 3.1 - 38 注水点上部水素ガス温度

Comparison between Measurement in Run-4 Test and  
Calculation by SWAC-13E (Upper Part of Water  
Injection Point). ..... 61

図 3.1 - 39 注水点上部ナトリウム温度

Comparison between Measurement in Run-4 Test and  
Calculations by SWAC-13E (Upper part of Water  
Injection Point). ..... 61

図 3.1 - 40 蒸発器カバーガス部水素ガス温度	Comparison between Measurement in Run-4 Test and Calculations by SWAC-13E (Cover-Gas of Evaporator). ..... 62
図 3.1 - 41 蒸発器カバーガス部ナトリウム温度	Comparison between Measurement in Run-4 Test and Calculations by SWAC-13E (Cover-Gas of Evaporator). ..... 62
図 3.1 - 42 放出系配管水素ガス温度	Comparison between Measurement in Run-4 Test and Calculations by SWAC-13E (Pressure Relief Piping). ..... 63
図 3.1 - 43 放出系配管ナトリウム温度	Comparison between Measurement in Run-4 Test and Calculations by SWAC-13E (Pressure Relief Piping). ..... 63
図 3.2 - 1 Run - 5 解析モデル図	Network Model for SWAT-3 Run-5 Analysis ..... 64
図 3.2 - 2 EV カバーガス - 放出系配管リンクモデル	Link Model between EV Cover Gas and Relief Line ..... 65
図 3.2 - 3 反応部圧力	Comparison between Measurement and Calculations by SWAC 13E Run-5 Test (Reaction Zone Pressure) ..... 66
図 3.2 - 4 反応部圧力	Comparison between Measurement and Calculations by SWAC 13E Run-5 Test (Reaction Zone Pressure) ..... 66
図 3.2 - 5 反応部圧力	Comparison between Measurement and Calculations by SWAC 13E Run-5 Test (Reaction Zone Pressure) ..... 67
図 3.2 - 6 反応部圧力	Comparison between Measurement and Calculations by SWAC 13E Run-5 Test (Reaction Zone Pressure) ..... 67
図 3.2 - 7 反応部圧力	Comparison between Measurement and Calculations by SWAC 13E Run-5 Test (Reaction Zone Pressure) ..... 68
図 3.2 - 8 蒸発器下部プレナム, 放出系配管ボイド率	Comparison between Measurement and Calculations by SWAC 13E Run-5 Test (EV Lower Plenum, Relief Line

Void Fraction) .....	68
図 3.2-9 蒸発器下部プレナム, 放出系配管ボイド率 Comparison between Measurement and Calculations by SWAC 13 E Run-5 Test (EV Lower Plenum, Relief Line Void Fraction) .....	69
図 3.2-10 蒸発器下部プレナム, 放出系配管ボイド率 Comparison between Measurement and Calculations by SWAC 13 E Run-5 Test (EV Lower Plenum, Relief Line Void Fraction) .....	69
図 3.2-11 蒸発器下部プレナム, 放出系配管ボイド率 Comparison between Measurement and Calculations by SWAC 13 E Run-5 Test (EV Lower Plenum, Relief Line Void Fraction) .....	70
図 3.2-12 蒸発器下部プレナム, 放出系配管ボイド率 Comparison between Measurement and Calculations by SWAC 13 E Run-5 Test (EV Lower Plenum, Relief Line Void Fraction) .....	70
図 3.2-13 蒸発器下部プレナム水素, ナトリウム温度 Comparison between Measurement and Calculations by SWAC 13 E Run-5 Test (EV Lower Plenum Temperature) .....	71
図 3.2-14 蒸発器下部プレナム水素, ナトリウム温度 Comparison between Measurement and Calculations by SWAC 13 E Run-5 Test (EV Lower Plenum Temperature) .....	71
図 3.2-15 蒸発器下部プレナム水素, ナトリウム温度 Comparison between Measurement and Calculations by SWAC 13 E Run-5 Test (EV Lower Plenum Temperature) .....	72
図 3.2-16 蒸発器下部プレナム水素, ナトリウム温度 Comparison between Measurement and Calculations by SWAC 13 E Run-5 Test (EV Lower Plenum Temperature) .....	72
図 3.1-17 蒸発器下部プレナム水素, ナトリウム温度 Comparison between Measurement and Calculations by SWAC 13 E Run-5 Test (EV Lower Plenum Temperature) .....	73
図 3.2-18 蒸発器放出系配管水素, ナトリウム温度 Comparison between Measurement and Calculations by	

SWAC13E Run-5 Test (Relief Line Temperature) .....	73
図 3.2-19 蒸発器放出系配管水素, ナトリウム温度 Comparison between Measurement and Calculations by SWAC13E Run-5 Test (Relief Line Temperature) .....	74
図 3.2-20 蒸発器放出系配管水素, ナトリウム温度 Comparison between Measurement and Calculations by SWAC13E Run-5 Test (Relief Line Temperature) .....	74
図 3.2-21 蒸発器放出系配管水素, ナトリウム温度 Comparison between Measurement and Calculations by SWAC13E Run-5 Test (Relief Line Temperature) .....	75
図 3.2-22 蒸発器放出系配管水素, ナトリウム温度 Comparison between Measurement and Calculations by SWAC13E Run-5 Test (Relief Line Temperature) .....	75
図 3.2-23 蒸発器上部プレナム水素, ナトリウム温度 Comparison between Measurement and Calculations by SWAC13E Run-5 Test (EV Upper Plenum Temperature) .....	76
図 3.2-24 蒸発器上部プレナム水素, ナトリウム温度 Comparison between Measurement and Calculations by SWAC13E Run-5 Test (EV Upper Plenum Temperature) .....	76
図 3.2-25 蒸発器上部プレナム水素, ナトリウム温度 Comparison between Measurement and Calculations by SWAC13E Run-5 Test (EV Upper Plenum Temperature) .....	77
図 3.2-26 蒸発器上部プレナム水素, ナトリウム温度 Comparison between Measurement and Calculations by SWAC13E Run-5 Test (EV Upper Plenum Temperature) .....	77
図 3.2-27 蒸発器上部プレナム水素, ナトリウム温度 Comparison between Measurement and Calculations by SWAC13E Run-5 Test (EV Upper Plenum Temperature) .....	78
図 3.2-28 蒸発器上部プレナム水素, ナトリウム温度 Comparison between Measurement and Calculations by SWAC13E Run-5 Test (EV Upper Plenum Temperature) .....	78
図 3.3-2 SWAT-3, Run-6 解析モデル Network Model for SWAT-3, Run-6 Analysis .....	79

図 3.3 - 4(1) ミドルレグ・ナトリウム温度	Comparison between Measurements in Run-6 Test and Calculations by SWAC-13E (Sodium Temperature in Middle Leg). ....	80
図 3.3 - 4(2) ミドルレグーナトリウム温度	Comparison between Measurements in Run-6 Test and Calculations by SWAC-13E (Sodium Temperature in Middle Leg). ....	81
図 3.3 - 5(1) コールドレグナトリウム温度	Comparison between Measurements in Run-6 Test and Calculations by SWAC-13E (Sodium Temperature in Cold Leg). ....	82
図 3.3 - 5(2) コールドレグナトリウム温度	Comparison between Measurements in Run-6 Test and Calculations by SWAC-13E (Sodium Temperature in Cold Leg). ....	83
図 3.3 - 6(1) ホットレグナトリウム温度	Comparison between Measurements in Run-6 Test and Calculations by SWAC-13E (Sodium Temperature in Hot Leg). ....	84
図 3.3 - 6(2) ホットレグナトリウム温度	Comparison between Measurements in Run-6 Test and Calculations by SWAC-13E (Sodium Temperature in Hot Leg). ....	85
図 3.3 - 7(1) ホットレグ・ナトリウム流速	Comparison between Measurements in Run-6 Test and Calculations by SWAC-13E (Velocity in Hot Leg). ....	86
図 3.3 - 7(2) ホットレグ・ナトリウム流速	Comparison between Measurements in Run-6 Test and Calculations by SWAC-13E (Velocity in Hot Leg). ....	87
図 3.3 - 8(1) ナトリウム温度 (ケース R 6 H 43 P)	Comparison between Measurements in Run-6 Test	

and Calculations by SWAC-13E (Sodium Temperature). ....	88
<b>図3.3-8(2) 水素温度 (ケースR6H43P)</b>	
Comparison between Measurements in Run-6 Test and Calculations by SWAC-13E (Hydrogen Temperature). ....	89
<b>図3.3-9(1) ナトリウム温度 (ケースR6H60P)</b>	
Comparison between Measurements in Run-6 Test and Calculations by SWAC-13E (Sodium Temperature). ....	90
<b>図3.3-9(2) 水素温度 (ケースR6H60P)</b>	
Comparison between Measurements in Run-6 Test and Calculations by SWAC-13E (Hydrogen Temperature). ....	91
<b>図3.3-10(1) ナトリウム温度 (ケースR6H61P)</b>	
Comparison between Measurements in Run-6 Test and Calculations by SWAC-13E (Sodium Temperature). ....	92
<b>図3.3-10(2) 水素温度 (ケースR6H61P)</b>	
Comparison between Measurements in Run-6 Test and Calculation by SWAC-13E (Hydrogen Temperature). ....	93
<b>図3.3-11 ナトリウム温度 (ケースR6H43S)</b>	
Comparison between Measurements in Run-6 Test and Calculations by SWAC-13E (Sodium Temperature). ....	94
<b>図3.3-12 ホットレグナトリウム流速 (ケースR6H43S)</b>	
Comparison between Measurements in Run-6 Test and Calculations by SWAC-13E (Velocity in Hot Leg). ....	95
<b>図3.3-13 蒸発器のナトリウム温度 (ケースR6H43S)</b>	
Comparison between Measurements in Run-6 Test and Calculations by SWAC-13E (Sodium Temperature in Evaporator). ....	96

図 3.3-14 放出系配管内のナトリウム温度 (ケース R6H43S)	97
Comparison between Measurements in Run-6 Test and Calculations by SWAC-13E (Sodium Temperature in Pressure Relief Line). ....	
図 3.4-1 ネットワークモデル for SWAT-3, Run-7 Analysis	98
図 3.4-2 ダウンカマ部の状態変化 (ノード No.3)	
Comparison between Measurements in Run-7 Test and Calculations by SWAC-13E (Downcomer Region - Node 3-). ....	99
図 3.4-3 放出系配管における状態変化 (ノード No.24)	
Comparison between Measurements in Run-7 Test and Calculations by SWAC-13E (Pressure Relief Line - Node 24-). ....	100
図 3.4-4 下部プレナムにおける状態変化 (ノード No.14)	
Comparison between Measurements in Run-7 Test and Calculations by SWAC-13E (Lower Pleum of Evaporator - Node 14-). ....	101
図 3.4-5 相対速度モデルのサーベイ	
Comparison between Measurements in Run-7 Test and Calculations by SWAC-13E (Parameter : Relative Velocity). ....	102
図 3.4-6 ダウンカマ中部の状態変化 (ノード No.3)	
Comparison between Measurements in Run-7 Test and Calculations by SWAC-13E (Middle Downcomer -Node 3-). ....	103
図 3.4-7 放出系配管部の状態変化 (ノード No.24)	
Comparison between Measurements in Run-6 Test and Calculations by SWAC-13E (Pressure Relief Line -Node 24-). ....	104
図 3.4-8 放出系内状態変化 (長時間解析)	
Comparison between Measurements in Run-7 Test and Calculation by SWAC-13E (Long-Term Analysis for Pressure Relief System). ....	105

図 3.4-9 リング面積及び注水ノードのサーベイ

Comparison between Measurements in Run-7 Test and  
Calculations by SWAC-13E (Parameter : Link Area,  
Number of Water Injection Node). ..... 106

## 表 リ ス ト

表 2.1 - 1 SWAT - 3, Run - 4 ~ Run - 7 内部構造物 Internals Specifications in SWAT - 3 Runs 4 thru 7 .....	4
表 2.1 - 2 試験条件のまとめ .....	5
表 2.1 - 3 SWAT - 3 における主な大リーク試験結果 SWAT - 3 Test Results .....	6
表 2.2 - 1 SWAC 13 と SWAC 13 E の違い .....	9
表 3.1 - 1 SWAT - 3 Run - 4 解析ケース一覧表 .....	14
表 3.2 - 1 SWAT - 3 Run - 5 解析ケース一覧表 .....	20
表 3.3 - 1 SWAT - 3 Run - 6 解析ケース一覧表 .....	24
表 3.4 - 1 SWAT - 3, Run - 7 実験解析ケース .....	28
表 4.1 最適パラメータの選択 .....	31
表 4.2 最適パラメータでの温度評価 .....	31

## 1.0 はじめに

本報告書は、もんじゅ蒸気発生器（以下SG）の大リーケ・ナトリウム-水反応時における準定常圧力及び温度解析コードSWAC-13Eの実験検証結果について報告するものである。<sup>(2)</sup>

SWAC-13Eは、大リーケ・ナトリウム-水反応解析コードSWACSの準定常圧解析モジュールSWAC-13<sup>(1)</sup>の新バージョンであり、旧バージョンでは考慮されていなかった水素ガス、ナトリウムのエネルギー・バランスを計算に取り入れて、大リーケ・ナトリウム-水反応時の体系内の温度挙動まで評価できるように開発されたものである。

もんじゅ工認での構造評価にこのSWAC-13Eを使用することが決定され、短時間にそのための温度挙動等を解析することが求められた。

このために本コードの実験検証として解析結果を、蒸気発生器安全性総合試験装置（SWAT-3）の大リーケ・ナトリウム-水反応試験Run-4, -5, -6および-7の温度データ等と比較した。これらの試験の注水点はRun-4がヘリカルコイル上部、Run-5と6がヘリカルコイル部下部（両者で注水率が異なる）、およびRun-7がダウンカマ部注水である。これらの4ケースでは、厳しい温度挙動の発生する場所がそれぞれで異なっており、このような多面的なデータにより本コードの普遍的な実験検証を計った。

本実験検証計算の目的は以下の通りである。

- (i) SWAC-13Eの大リーケ・ナトリウム-水反応時の温度挙動解析の有用性を確認する。
- (ii) SWAC-13Eによる「もんじゅ」解析のために、保守的な温度評価を与えるパラメータ・セットを得る。
- (iii) 現SWAC-13Eの改善点を指摘・検討し、今後の改造に反映させる。

本報告では、第2章でRun-4から7で使用された試験体や試験の概要およびSWAC-13Eの概要について紹介する。

第3章では、主要な解析パラメータとして二相流計算モデル、気泡／液滴密度、注水ノード数および反応熱量などを選択して得られた解析結果と実験結果を比較し、検討を行った。

第4章では、前章の結果をまとめ、実機解析上の保守的パラメータ・セットの選定と、残された問題点から今後さらに実験データとのベスト・フィットを達成するにはどのような改造が必要かを指摘した。また、本検証作業の過程で行なわれたコードの小改造についてはAppendix Aにまとめ、各Runの代表的な入力データの例をAppendix Bに示した。

## 2.0 SWAT-3 実験と計算コードの概要

蒸気発生器安全性総合試験装置（SWAT-3）を用いた大リーグ・ナトリウム-水反応試験はRun 1～7まで7回実施された。SWAT-3はもんじゅ2次系を模擬した約2/5の縮小モデルであり、各試験の注水率はEV内径換算で、もんじゅ伝熱管2～5本の両端ギロチン破損に相当するものであった。これらのうちSWAC-13Eによる計算結果との比較を行なったのは、Run4～7の4回の試験に對してである。

### 2.1 実験装置と実験概要<sup>(4)(5)(6)</sup>

SWAT-3の装置全体の立体配置図を、Fig. 2.1-1に示す。反応容器は、蒸発器(EV)を模擬した高さ6850mm、径1360mm、材質SUS304の容器で、ナトリウム液面を有する。ナトリウム容量は約4.5m<sup>3</sup>で、内部構造物(伝熱管、伝熱管支持構造、内筒、シラウド)は試験毎に異なる。Fig. 2.1-2にRun-5の試験に用いられた内部構造物を示す。各試験の内部構造物仕様をTable 2.1-1に示す。伝熱管はすべてヘリカルコイル型の2-1/4 Cr-1 Mo材伝熱管で、管径、ピッチは原型炉設計に準じて決定されている。

反応容器上部のカバーガス空間側部には、ラプチャディスクを介して、放出系が接続されている。ラプチャディスクは、径300mmの引張型で、設計破裂圧は3kg/cm<sup>2</sup>で、材質はSUS316である。二次系は、配管(Fig. 2.1-3)、模擬過熱器(SH)(Fig. 2.1-4)、模擬中間熱交換器(IHX)(Fig. 2.1-5)より構成されている。二次系の総ナトリウム容量は、約2.3m<sup>3</sup>(模擬過熱器1.3m<sup>3</sup>、模擬中間熱交換器0.14m<sup>3</sup>、配管0.83m<sup>3</sup>)である。模擬過熱器は、全長4850mm、径838mm、材質SUS304の容器で、反応容器と同様にナトリウム液面を有する。模擬過熱器のヘリカルコイル部に相当するアニュラス部には、伝熱管の代りに圧力損失を模擬した多孔板が設置されている。カバーガス部頂部には、ラプチャディスクが取り付けられ、放出系に接続されている。ラプチャディスクはRun-4では反転型(径165mm、設計破裂圧3kg/cm<sup>2</sup>)、Run-5,-6および-7では引張型(径160mm、設計破裂圧3kg/cm<sup>2</sup>)であるが、破裂しないのはRun-6のみである。模擬中間熱交換器は、全長4500mm、径216mmのパイプで、内部構造物は無い。二次系配管は、反応容器と模擬過熱器の間のミドルレグ配管(8B sch 20 s, 16.8m)、反応容器と模擬中間熱交換器の間のコールドレグ配管(8B sch 20 s, 5.6mと2B sch40, 8.25m)、ならびに模擬中間熱交換器と模擬過熱器の間のホットレグ配管(2B sch 40, 15.9mと8B sch 20 s, 1.45m)から構成される。

放出系は、配管(Fig. 2.1-6)と収納容器(Fig. 2.1-7)より構成されている。放出系は反応容器側部、模擬過熱器頂部に各々ラプチャーディスクを介して接続されており、各々配管は途中で合流し、収納容器につながる。反応容器と収納容器の間の配管は12B sch 40、全長19.3m、材質は2-1/4 Cr-1 Moである。模擬過熱器と合流部までの配管は、6B sch 40、全長12m、

材質は $2-1/4\text{Cr}-1\text{Mo}$ である。収納容器は、全長8025mm、径3000mmの容器で、内部にセパレータを有する。容量は、約 $40\text{m}^3$ で、材質は $2-1/4\text{Cr}-1\text{Mo}$ である。収納容器頂部には、大気放出弁、ラプチャディスクが設置され、ラプチャディスクは、径267mmの反転型で、設計破裂圧は $1.5\text{kg/cm}^2$ である。

SWAT-3の試験上のパラメータは、内部構造物（伝熱管径、配列）、破断位置、注水率（水／蒸気初期圧力、温度）、ナトリウム温度等である。表2.1-2に各Runの試験条件を示す。以下に各試験の特徴について述べる。

Run-4は、ヘリカルコイル部上部（FL5460）の1DEG相当の注水試験で、注水率は $9.0 \sim 7.2\text{kg/sec}$ であった。ナトリウム温度は $380^\circ\text{C}$ である。

Run-5は、ヘリカルコイル部下部（FL3109）の1DEG相当の注水試験であるが、伝熱管径、配列が大きくなつた。注水率は $15 \sim 11\text{kg/sec}$ であった。ナトリウム温度は $360^\circ\text{C}$ である。

Run-6は、-5と同様にヘリカルコイル部下部（FL3070）の1DEG相当の注水試験で、伝熱管径、配列はRun-4と同寸である。その注水率は $9.4 \sim 8.3\text{kg/sec}$ であり、ナトリウム温度は $445^\circ\text{C}$ でSWAT-3全試験中で最も高い点である。

Run-7は、他の3ケースと異なり、ダウンカマ部下部（FL3875）での1DEG相当の注水試験である。その注水率は $10.6 \sim 7.9\text{kg/sec}$ で、ナトリウム温度は $245^\circ\text{C}$ であった。

表2.1-3にこれらの試験の主要な結果を示す。

Table 2.1-1 SWAT-3, Run-4 ~ Run-7 内部構造物

Internals Specifications in SWAT-3 Runs 4 thru 7

	Run - 4	Run - 5	Run - 6	Run - 7
伝熱管形式	ヘリカルコイル型	←—————	—————→	ダウカマ模擬
材質	2-1/4 Cr-Mo	←—————	—————→	—————→
直径	25.4 φ × 3.2 t	31.8 φ × 3.8 t	25.4 φ × 3.2 t	—————→ (内層) 50.44 × 43 mm (外層) 54.66
配列	40 × 45 mm	50 × 50 mm	40 × 45 mm	
層数	9	6	9	2
本数	34本	16本	71本	128本
注水位置	5層目 FL 5460	4層目 FL 3109	5層目 FL 3070	ダウンカマ部 FL 3875
円筒径	355.6 φ × 11.1 t	{ 318.5 φ × 6.9 t 502 φ × 20 t	318.5 φ × 17.4 t	355.6 φ × 11.1 t
シュラウド径	1190 φ × 9 t	1158 φ × 10 t	1143 φ × 9 t	1202 φ × 12 t

表 2.1-2 試験条件のまとめ

項目		単位	Run 4	Run 5	Run 6	Run 7
試験年月日			1977.3.18	1977.9.22	1978.3.8	1978.10.26
反応容器 内部構造物 型式	反応容器		蒸発器	蒸発器	蒸発器	蒸発器
	内部構造型式		ヘリカル・東芝/HI	ヘリカル・MHI	ヘリカル・日立	ダウンカマ模擬
	反応点位置		ヘリカル上部5層目	ヘリカル下部4層目	ヘリカル下部5層目	ダウンカマ部
			FL. 5460	FL. 3109	FL. 3070	FL. 3875
注水条件	注水孔・ラブチャ板形式		円筒型・19φ×2以上	円筒型・19φ×2以上	円筒型・19φ×2以上	ノズル19φ, 円板引張型
	ラブチャ板設定圧					
	RD 501	kg/cm <sup>2</sup>	100 <sup>+0</sup> <sub>-10</sub> (350 °C)			
	RD 502	kg/cm <sup>2</sup>	100 <sup>+0</sup> <sub>-10</sub> (500 °C)	100 <sup>+0</sup> <sub>-10</sub> (500 °C)	100 <sup>+0</sup> <sub>-10</sub> (350 °C)	100 <sup>+0</sup> <sub>-10</sub> (245 °C)
	準定常注水率	kg/sec	9.0 (初期)~7.2 (後期)	15 (初期)~11 (後期)	9.4 (初期)~8.3 (後期)	10.6 (1 sec後)~7.9 (9 sec後)
	全注水量	kg	83	150	90	85
	注水配管温度	°C	254~386	231~331	約300	283~357
	水加熱器温度	°C	306	280	305	298
	〃 壓力	kg/cm <sup>2</sup> a	155	154	154	124
	〃 初期給水量	kg	390	390	465	445
ナトリウム系 条件	注水弁(V502)弁開時間	sec	9.4	9.7	9.5	9.5
	ナトリウム温度	°C	360	360	445	245
	ナトリウム流量	ℓ/sec	静止	静止	静止	静止
	カバーガス圧					
	蒸発器	kg/cm <sup>2</sup> G	0.5	0.5	0.5	0.5
	過熱器	kg/cm <sup>2</sup> G	0.5	0.5	0.5	0.5
放出系条件	カバーガス使用ガス		アルゴン	アルゴン	アルゴン	アルゴン
	ラブチャ板設定圧					
	RD 601	kg/cm <sup>2</sup>	3 (485 °C)	3 (485 °C)	3 (485 °C)	3 (485 °C)
	RD 602	kg/cm <sup>2</sup>	3 (515 °C)	3 (485 °C)	3 (485 °C)	3 (485 °C)
	RD 603	kg/cm <sup>2</sup>	1.5 (150 °C)	1.5 (150 °C)	1.5 (150 °C)	1.5 (150 °C)
	放出系配管取り出しへ位置		側部	側部	側部	側部
	運転温度					
	放出系配管	°C	267~298	272~305	350	235~241
	収納容器	°C	358	365	350	257
	カバーガス圧(収納容器)	kg/cm <sup>2</sup> G	0.5	0.5	0.5	0.5
	カバーガス使用ガス		アルゴン	アルゴン	アルゴン	アルゴン

Table 2.1-3 SWAT-3における主な大リーク試験結果

## SWAT-3 Test Results

試験結果		試験No	Run-4	Run-5	Run-6	Run-7
初期スパイク圧力 [ kg / cm <sup>2</sup> a ]	リーク位置近傍値		14.7	23.2 ~ 25.0	12.0 ~ 14.6	16.0 ~ 19.5
	E V 内 最 大 値		14.7	27.5	14.6	19.5
	I H X 伝播値		7.5 <sup>3)</sup>	12.5	12.0 <sup>3)</sup>	6.1
準定常圧力 [ kg / cm <sup>2</sup> a ]	E V 内 最 大 値		5.4	7.6 (9.5) <sup>4)</sup>	5.1	5.8
	S H 内 最 大 値		3.0 <sup>5)</sup>	8.3	5.7	5.8
ラプチャ板破裂 [ EV / RT ]	破裂時刻 [ sec ]		0.536 / 2.95	0.23 / 2.89	0.430 / 3.62	0.613 / 2.93 <sup>7)</sup>
	破裂圧力 [ kg / cm <sup>2</sup> a ]		5.4 / 2.4	5.2 / 2.8	4.3 / 2.42	5.1 / 2.6 <sup>7)</sup>
E V 内 最 高 温 度 [ °C ]			1175	1250	1180	1140
E V 外 壁 最 大 歪 [ × 10 <sup>-6</sup> ]			164	320	124	165
放出系配管内初期流速 [ m / sec ]			46	34	36	34
収能容器への放出 Na [ kg ]			466	1440 <sup>8)</sup>	980	670
伝熱管二次破断			なし	なし	なし	破断はなし・曲がり数本

2) 途中で減衰している

5) P1204 では 3.7 kg / cm<sup>2</sup> a

3) 途中で減衰。遅れて生じたピーク値

6) 不完全破裂、設定圧に達する前に破裂

4) ( )内は Na 中圧力の平均ピーク値

7) 不完全開口

8) SH のラプチャ板も破裂

## 2.2 計算コードの概要

本解析で使用した計算コード SWAC 13 E<sup>(2)</sup>は、大リーグ・ナトリウム-水反応解析コード SWA CS<sup>(1)</sup>の準定常圧力計算モジュール SWAC 13 の改良バージョンである。準定常圧計算の解析対象は、大リーグ・ナトリウム-水反応による初期の急激な圧力上昇、つまり初期スパイク圧に引続いて、系内の圧力が発生水素ガスの蓄積により準定常的に上昇する比較的長時間の領域を取扱っている。SWAC 13 E と旧バージョン SWAC 13 との違いを表 2.2-1 に示す。

SWAC 13 E の概要を以下に述べるが、詳細は、SWAC 13 E の使用説明書を参照されたし。

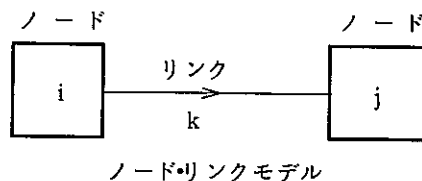
解析体系は事故 SG、ナトリウム・水反応生成物収納設備、ならびに 2 次主冷却系全体であり、これらを領域（ノード）に分割し更に各ノードを流路（リンク）でつないだネットワーク系にモデル化する。このようにモデル化した体系に対し、ノードに関し質量保存則及びエネルギー保存則、リンクに関して運動量保存則を適用する。基礎保存則の解法としては陰的差分法（陰解法）を使用する。

### (1) 計算上の仮定

- (i) ナトリウムと水素ガスの二相流は一次元ドリフト・フラックス・モデルを用いる。
- (ii) ナトリウムは非圧縮性、水素ガスは圧縮性として扱う。
- (iii) ナトリウム・水反応の反応速度は無限大と考え、反応の時間遅れはないものとする。
- (iv) エネルギの交換は、ナトリウムと水素、ナトリウムと構造材、及び水素と構造材の間で考慮される。
- (v) 各 SG および収納容器の圧力開放板は設定値に達すると直ちに作動するものとする。
- (vi) カバーガスの物理的特性は水素ガスと同一とする。

### (2) 基礎方程式

下図に示すようなノード・リンクモデルに対して以下に示す 3 種の基礎式を立てる。



#### (i) 質量保存式

ノードについてナトリウム、水素ガス各々に次のように展開する。

$$\left\{ \begin{array}{l} \frac{dM_{Hi}}{dt} = \sum_{kin} W_{Hk} - \sum_{kout} W_{Hk} + \Gamma_{Hi} \\ \frac{dM_{Si}}{dt} = \sum_{kin} W_{Sk} - \sum_{kout} W_{Sk} \end{array} \right.$$

ここで両式の右辺第 1 項は流入する成分、第 2 項は流出する成分で、 $\Gamma_{Hi}$  は水素ガスの発生を表わす。

## (ii) 運動量保存式

リンクについて混合流体に対する保存式を以下のように展開する。

$$\begin{aligned} \frac{dW_k}{dt} = & \frac{1}{K_k} \left\{ g(P_i - P_j) + \left[ \frac{W_i^2}{\rho_i A_i^2} - \frac{W_j^2}{\rho_j A_j^2} \right] \right. \\ & + \left[ \left( \frac{\alpha_h \alpha_s \rho_h \rho_s}{\rho A^2} \right)_i \left( \frac{W_{hi}}{(\alpha_h \rho_h)_i} - \frac{W_{si}}{(\alpha_s \rho_s)_i} \right)^2 - \left( \frac{\alpha_h \alpha_s \rho_h \rho_s}{\rho A^2} \right)_j \left( \frac{W_{hj}}{(\alpha_h \rho_h)_j} - \frac{W_{sj}}{(\alpha_s \rho_s)_j} \right)^2 \right] \\ & \left. + \frac{1}{2} \left[ \frac{W_{hk}^2}{(\alpha_h \rho_h)_k} + \frac{W_{sk}^2}{(\alpha_s \rho_s)_k} \right] \left( \frac{1}{A_{ki}^2} - \frac{1}{A_{kj}^2} \right) + g \rho \Delta Z_k + g \Delta P_{ik} \right\} \end{aligned}$$

上式で括弧内の第1項から第7項まで、それぞれ静圧差、対流の運動量、相対速度の効果、断面積変化による運動量変化、重力項及び摩擦損失項である。またKはイナーシャであり、リンク内を更に細かく分割したサブリンクの長さと断面積の比の和として次のように定義される。

$$K_k = \sum \frac{\ell_{ke}}{A_{ke}}$$

また、混合質量からナトリウム、水素ガスそれぞれの質量流量は相対速度  $U_r (= U_h - U_s)$  を用いて次のように定義される。

$$\begin{cases} W_{hk} = \frac{\alpha_h \rho_h}{\rho} \cdot W_k + A \cdot \frac{\alpha_h \alpha_s \rho_h \rho_s}{\rho} \cdot U_{rk} \\ W_{sk} = \frac{\alpha_s \rho_s}{\rho} \cdot W_k - A \cdot \frac{\alpha_h \alpha_s \rho_h \rho_s}{\rho} \cdot U_{rk} \end{cases}$$

## (iii) エネルギ保存式

SWAC 13Eにおいて新たに考慮されたこの保存式はナトリウム、水素ガスに対してそれぞれ次のように展開される。

$$\begin{cases} \frac{dU_{hi}}{dt} + \frac{\ell_i}{2gA_i A_j} \cdot \frac{d}{dt} \left[ \frac{W_{hi}^2}{(\alpha_h \rho_h)_i} \right] = \sum_{kin} W_{hk} \left\{ h_{hk} + \left( \frac{U_{hk}^2}{2g} + \Delta Z_k \right) \frac{1}{A_j} \right\} \\ \quad - \sum_{kout} W_{hk} \left\{ h_{hk} + \left( \frac{U_{hk}^2}{2g} + \Delta Z_k \right) \frac{1}{A_j} \right\} + Q_{hi} \\ \frac{dU_{si}}{dt} + \frac{\ell_i}{2gA_i A_j} \cdot \frac{d}{dt} \left[ \frac{W_{si}^2}{(\alpha_s \rho_s)_i} \right] = \sum_{kin} W_{sk} \left\{ h_{sk} + \left( \frac{U_{sk}^2}{2g} + \Delta Z_k \right) \frac{1}{A_j} \right\} \\ \quad - \sum_{kout} W_{sk} \left\{ h_{sk} + \left( \frac{U_{sk}^2}{2g} + \Delta Z_k \right) \frac{1}{A_j} \right\} + Q_{si} \end{cases}$$

上の式で左辺はノード i の内部エネルギー及び運動エネルギーの変化を、右辺はそれぞれ流入、

流出成分及び他の流体／構造材との熱交換を表わしている。

以上の式を整理すると  $\Delta W^{n+1} = W^{n+1} - W^n$  に関し  $L$  元 ( $L$  : リンク数) の連立方程式が得られる。これを陰的差分法（陰解法）を用いて解くことにより流量が更新される。

各ノードの圧力を求めるのに、水素ガス、カバーガスを含んだノードについては完全気体の状態式を用いる。ナトリウム、単相ノードについてはそのノード周辺の圧力既知ノードに関し連立方程式をたて解いて求める。

表 2.2-1 SWAC13 と SWAC13E の違い

	SWAC13	SWAC13E
基礎方程式	<ul style="list-style-type: none"> <li>◦ 質量保存式：2</li> <li>◦ 運動量保存式：1</li> </ul>	<ul style="list-style-type: none"> <li>◦ 質量保存式：2</li> <li>◦ 運動量保存式：1</li> <li>◦ エネルギー保存式：2</li> </ul>
二相流モデル	均質流スリップモデル	ドリフト・フラックスモデル
水素ガス温度	ノード毎に一定値(不变)を入力	気液熱交換等考慮

### 3.0 実験 解析

本検証計算に先立って、SWAT-3試験データを用いた予備的な検証計算が1982年に実施され、<sup>(7)</sup> 解析パラメータの適正範囲が明らかになった。

解析パラメータのうち下記のものについては、予備検証での推奨値を用いる。

◦ H<sub>2</sub>/H<sub>2</sub>Oモル転換比 : 0.5

各試験で測定された最高温度

◦ 注水ノードの水素ガス温度: 

Run 4	1175 °C
Run 5	1250 °C
Run 6	1180 °C
Run 7	1140 °C

◦ 相対温度 : 熱交換・流量計算の両方に考慮する。

◦ 管群圧損計算法 : Jakob の式

予備検証での成果を基に、本検証作業では以下のパラメータについてのサーベイを行なった。

#### i) 相対速度のモデル (Hirt のモデル, Zuber のモデル)

SWAC-13Eの伝熱、流動に大きく影響を及ぼすものとして、気一液(水素ガス-ナトリウム)間の相対速度のモデルがある。SWAC-13Eには、相対速度のモデルとして、Hirt のモデルとZuber のモデルが組み込まれており、この2つのモデルの相違による影響を調べた。

#### ii) 気泡液滴密度 N (10<sup>2</sup> ~ 10<sup>6</sup> 個/m<sup>3</sup>)

このパラメータは、ナトリウム-水素間の伝熱面積を指定し、又、ドリフトフラックスモデルにHirt らのモデルを適用した場合には、ナトリウム-水素間の相対速度に影響する。ここでは、ナトリウム-水素間の伝熱特性が大きく変わる近辺をサーベイ範囲とし、伝熱特性が良いものとして10<sup>6</sup> 個/m<sup>3</sup>、悪いものとして10<sup>2</sup> 個/m<sup>3</sup> 両者の中間として10<sup>4</sup> 個/m<sup>3</sup>をサーベイ値として設定した。

#### iii) 反応熱 Q (0 ~ 30 Kcal/mol)

反応による発生熱のうち、水素ガスの温度上昇に消費されるものについては、実験での測定最高温度を入力値として与える事で考慮されているが、水素ガス以外の反応生成物より直接ナトリウムに伝えられる熱量について無視した場合と、理論上の発生熱量30 kcal/molまで考慮した場合との影響を見た。

#### iv) 注水ノードの数 N (1 ~ 7)

反応界面が通常1個しか選んでいない注水ノードの範囲を越えている実験ケースとの比較の場合、温度を過小評価する恐れがあるので、複数ノードを注水ノードとした場合の影響を見た。

この他、Run-4の実験解析において気泡/液滴抗力係数をパラメータにとって、水素ガスとナトリウムの相対速度を変化させた場合の影響を見た。また、Run-5の実験解析においてナトリウムに

に対する水素の相対速度のベクトルの向きが常に上向きになる様なモデルを設定した。これは、予備解析により多量のナトリウムが放出系に放出されてしまい、反応後、反応容器内に残存するナトリウム量が極端に少なくなる傾向がうかがえたためで、この現象を避けるため従来のHirt らのモデルに対して反応部上部流動様相を水素ガスがよりチャンネリングに近い形でEV上部に達する様なモデルを設定したものである。

### 3.1 Run-4 の実験解析

SWAT-3, Run-4 の実験解析では、注水点がヘリカルコイル部上部であることから、特にカバーガス、放出系等に着目して、保守的な結果を得るための解析を実施した。

#### 3.1.1 解析パラメータ

上記の点を考慮してRun-4 でパラメータとした変数は次の通りである。

- (1) 相対速度計算モデル (Hirt のモデル, Zuber のモデル)
- (2) 気泡／液滴抗力係数 (1.0, 0.8, 0.6)
- (3) 気泡／液滴密度 ( $10^2$ ,  $10^4$ ,  $10^5$ ,  $10^6$  個/ $m^3$ )
- (4) 注水ノード数 (1, 4, 7 ノード)
- (5) 反応熱のナトリウム入熱 (0, 10, 30 kcal/mol)

#### 3.1.2 解析モデル

SWAT-3, Run-4 の実験解析モデルを図 3.1-1 に示す。本モデルは実験体系を模擬して、EV, SH, IHX, RPT および配管より構成されており、反応容器であるEV は特に詳細な分割が行なわれている。注水ノードは、Run-4 に合わせて管束部上部としてある。

#### 3.1.3 解析条件

3.1.1 で選定したパラメータを基にした解析条件を表 3.1-1 に示す。解析は 3 ステップで実施された。ステップ 1 で基本的なパラメータを選別し、これをベースにステップ 2 で気泡／液滴密度をパラメータにとって注水ノード数と反応熱の影響を評価した。最後に、ステップ 3 で最適パラメータの保守性の確認を行なった。

#### 3.1.4 解析結果と実験結果の比較・検討

##### (1) ステップ 1

###### (a) 気泡／液滴抗力係数の影響 (Hirt のモデル)

気泡／液滴抗力係数のパラメータ・サーベイの結果を図 3.1-2 ~ 図 3.1-3 に示す。相対速度  $U_r$  と気泡／液滴抗力係数  $C_d$  の間に以下の関係式が成立し、

$$\frac{\partial U_r}{\partial t} = \left( \frac{1}{\rho_s} - \frac{1}{\rho_h} \right) \frac{\partial P}{\partial Y} Y - \frac{\rho^2 C_d A_s}{8 \alpha_c \alpha_s \alpha_h \rho_s \rho_h} |U_r| U_r$$

定常状態では  $C_d$  を小さくすると  $U_r$  は大きくなる。実際の解析結果もほぼ予想した通りであったが、これが水素ガス温度等の他の状態量に与える影響は極めて小さく、このパラメー

タは有意なものではなかった。

(b) 気泡／液滴密度の影響 (Hirt のモデル)

Hirt のモデルを用いた気泡／液滴密度のパラメータ・サーベイの結果を図 3.1-4 ~ 図 3.1-6 に示す。気泡／液滴密度 N を低下させると、気泡／液滴半径  $r_s$  が次式により増加し、気液間伝熱面積  $A_{lg}$  は減少する。

$$r_s = \left( \frac{3 \alpha_s}{4 \pi N} \right)^{1/3}, \quad A_{lg} = 4 \pi r_s^2 N = (36 \pi \alpha_s N)^{1/3}$$

このため気液間の熱交換量が減少し、反応点での高温の水素ガスが放出系配管に移動しても高温を保つ。解析の結果、放出系配管ではいずれのケースも保守側となっているが、一方 SG 内部では N が  $10^5$  以上で非保守側の結果となっている。

(c) 気泡／液滴密度の影響 (Zuber のモデル)

Zuber のモデルを用いた気泡／液滴密度のパラメータサーベイの結果を図 3.1-7 ~ 図 3.1-9 に示す。Zuber のモデルも Hirt のモデルと傾向は同一であるが、温度自体は低く、保守的なパラメータとは言えない。また、Zuber のモデルは気泡流についてのモデルであり、放出系配管等高ボイド率下の液滴流への適用性についても未確認である。これらのことから相対速度の計算には Hirt のモデルの方が適切と考えられる。

(2) ステップ 2

多ノード注水時の各部への注水分配率は次の通りである。

7 ノード注水		4 ノード注水		1 ノード注水	
0.25		0.3			
0.15	0.25	0.1	0.5		
0.10	0.15	0.1			
0.05	0.05				

(a) 7 ノード注水モデル

7 ノード注水モデルを用いた気泡／液滴密度及び反応熱のパラメータ・サーベイの解析結果を図 3.1-10 ~ 図 3.1-19 に示す。ここでは 5 ケースのみを提示するが、他の 4 ケースについても同様の挙動である。全体として水素ガス温度が 1 ノード注水のステップ 1 に比べて低く、実験値を下回っている。また、反応熱の影響はほとんど現れず、僅かに気泡／液滴密度の影響が表われただけである。これらの原因としては初期にカバーガス空間を有するノード 7 を注水ノードに指定したが、コード上はこのノードの水素ガス温度が  $556^{\circ}\text{C}$  と入力値の約半分の温度で一定値となることが考えられる。このため、カバーガスのノードを注水ノードとして指定するのはあまり有効でない。

## (b) 4 ノード, 1 ノード注水モデル

4 ノード, 1 ノード注水モデルを用いた気泡／液滴密度および反応熱のパラメータサーベイの解析結果を図 3.1-20～図 3.1-29 に示す。4 ノード注水モデルについてはカバーガスの注水ノード指定のため 7 ノード注水モデルと同一の現象が生じていた。

一方, 1 ノード注水モデルでは, ステップ 1 で明らかになったように, 気泡／液滴密度は水素ガス温度に大きく影響するが, ナトリウム温度に対する影響は比較的小さい。逆に, 反応熱はナトリウム温度に大きく影響するが, 水素ガスに対する影響は比較的少さいことが明らかになった。このためナトリウム一水反応時の反応熱を考慮しないのは明らかに非保守的である。従って, これを考慮した 1 ノード注水とし, 気泡／液滴密度については, 一応  $10^4$  個/ $m^3$  を最適パラメータとして選定した。

## (3) ステップ 3

ステップ 2 で設定した最適パラメータを用いて, 他の状態量(圧力, 他ノード温度)の保守性を確認するための解析結果を図 3.1-30～図 3.1-43 に示す。また, ここでは気泡／液滴密度を確定するためにパラメータとした。まず圧力については, 気泡／液滴密度が小さくなるほど初期圧力が上昇する。これは水素ガス温度が高くなるためである。しかし, 長時間(約 3.5 秒以上)の比較ではほぼ同様の挙動を示す。この状態でも気泡／液滴密度が低いほどガス温度が高く, 発生したガスも多く放出されたことを示す。これは, 気泡／液滴密度が小さくなるほど相対速度が大きくなることからも言える。圧力に関しては, どのケースも保守的な値が得られている。

次に温度についてはステップ 2 に得られた結果が確認された。気泡／液滴密度が小さくなると水素ガス温度が上昇しても, ナトリウムの温度変化が微少である理由は, 両者の熱容量の違いにある。同一体積であれば, ナトリウムは水素ガスの約 100 倍の熱容量を有する。例えば, ボイド率が 90 % と仮定しても熱容量は約 10 倍異なり, ある程度の伝熱が行われ, 水素ガスの温度が低下したとしても, ナトリウムの温度変化分は, 水素ガスの温度変化分の  $1/10$  にすぎない。本解析の結果では, 気泡／液滴密度を  $10^6$  個/ $m^3$  とすると非保守的となり,  $10^2$  個/ $m^3$  とすると実験値とは異なった挙動が発生することが明らかになった。

## 3.1.5 最適パラメータの選定

以上のパラメータサーベイの結果, 以下のパラメータを最適パラメータとして選定した。

- |               |                 |
|---------------|-----------------|
| (1) 相対速度計算モデル | Hirt のモデル       |
| (2) 気泡／液滴抗力係数 | 1.0             |
| (3) 気泡／液滴密度   | $10^4$ 個/ $m^3$ |
| (4) 注水ノード数    | 1 ノード注水         |
| (5) 反応熱       | 30 kcal/mol     |

表 3.1-1 SWAT-3 Run-4 解析ケース一覧表

ステップ	ケース	相対速度 モ デ ル	気泡/液滴 抗力係数	気泡/液滴 密 度	注水ノード 数	反 応 熱	報告用引用
1	H 16	Hirt	1.0	$10^6$	1 ノード	0 kcal/mol	○
	H 86	"	0.8	"	"	"	○
	H 66	"	0.6	"	"	"	○
	H 15	"	1.0	$10^5$	"	"	○
	H 14	"	"	$10^4$	"	"	○
	H 12	"	"	$10^2$	"	"	×
	Z 16	Zuber	"	$10^6$	"	"	○
	Z 15	"	"	$10^5$	"	"	○
	Z 14	"	"	$10^4$	"	"	○
	Z 12	"	"	$10^2$	"	"	×
2	P 760	Hirt	1.0	$10^6$	7 ノード	0 kcal/mol	×
	P 740	"	"	$10^4$	"	"	○
	P 720	"	"	$10^2$	"	"	×
	P 761	"	"	$10^6$	"	10 "	○
	P 741	"	"	$10^4$	"	"	○
	P 721	"	"	$10^2$	"	"	○
	P 763	"	"	$10^5$	"	30 "	×
	P 743	"	"	$10^4$	"	"	○
	P 723	"	"	$10^2$	"	"	×
	P 441	"	"	$10^4$	4 ノード	10 "	○
	P 140	"	"	$10^4$	1 ノード	0 "	○
	P 161	"	"	$10^6$	"	10 "	×
	P 141	"	"	$10^4$	"	"	○
	P 121	"	"	$10^2$	"	"	○
	P 143	"	"	$10^4$	"	30 "	○
3	FX 6	Hirt	1.0	$10^6$	1 ノード	30 "	○
	FX 4	"	"	$10^4$	"	"	○
	FX 2	"	"	$10^2$	"	"	○

### 3.2 Run-5 の実験解析

本解析ケースは、SWAT-3 Run-5 実験に対するもので、注水位置は伝熱管コイル部下部、また注水規模は SWAT 実験シリーズ中最大である。

予備的な検証計算では、Run-5 ケースの場合、パラメータを適当に設定することにより圧力挙動は比較的実験値に合った。しかし、温度挙動では、EV 放出系配管、上部プレナム等の一部で、実験値に対して解析結果が過少評価、又は極端な過大評価になる傾向が見られた。

#### 3.2.1 解析パラメータ

この点を考慮し、Run-5 では以下のパラメータ項目を選定し、実験値との比較、検証を行なった。

- (1) 気泡液滴密度 ( $10^2, 10^4, 10^6$  個/ $m^3$ )
- (2) ドリフトフラックスモデル (Hirt のモデル、修正 Hirt のモデル)
- (3) 注水ノード点
 

（破損コイルチャンネル下部 1 ノード注水、
）

コイル部 6 ノード、下部プレナム 1 ノードの計 7 ノード注水
）
- (4) 反応熱のナトリウム入熱 (0, 10, 30 kcal/mol)
- (5) カバーガス放出系配管リンクモデル
 

（反応容器カバーガスから放出系へのリンクについて、
）

流路断面積の扱いを変えた 2 種類のモデルにて行なっ
た。図 3.2-2 参照

#### 3.2.2 解析モデル

Run-5 の全体解析モデル図を、図 3.2-1 に示す。

又、パラメータの 1 つであるカバーガス放出系配管リンクのモデルを図 3.2-2 に示す。

#### 3.2.3 解析条件

上記の 5 つのパラメータについて表 3.2-1 に示す 12 ケースを選定した。その他、参考用として、12 ケースの他に 1 ケース行なった。

尚、ナトリウム入熱について、10 kcal/mol のケースは予想通り 0 kcal/mol と 30 kcal/mol の中間的な結果を示した。説明の煩雑さを避けるため、ここでは、この結果の評価、検討を割愛した。

又、表中のケース 4 ~ 8 の多ノード注水時の注水率分配を以下に示す。

注水ノードと注水分配率

注水ノード番号	1	2	3	4	5	6
注水分配率	0.25	0.15	0.05	0.20	0.10	0.20

#### 3.2.4 解析結果と実験結果の比較・検討

##### 3.2.4-1 解析結果

ケース 1 ~ 12 の解析結果を図 3.2-3 ~ 図 3.2-28 に示す。出力点及びそれに対応する図

を以下に示す。

- |                          |                   |
|--------------------------|-------------------|
| (1) 反応部圧力                | 図 3.2-1～図 3.2-7   |
| (2) 蒸発器下部プレナム, 放出系配管ボイド率 | 図 3.2-8～図 3.2-12  |
| (3) 蒸発器下部プレナム水素, ナトリウム温度 | 図 3.2-13～図 3.2-17 |
| (4) 蒸発器放出系配管水素, ナトリウム温度  | 図 3.2-18～図 3.2-22 |
| (5) 蒸発器上部プレナム水素, ナトリウム温度 | 図 3.2-23～図 3.2-28 |

又, 反応部圧力, ボイド率, 上部プレナム温度, 放出系温度については, 次の実験値をそれぞれ対応する図に点線でオーバープロットした。圧力, ボイドの実験データは振動したものであるので平均的な値を実験値とした。

- |                           |                   |
|---------------------------|-------------------|
| (1) 反応部圧力                 | 図 3.2-1～図 3.2-7   |
| (2) EV 放出系配管ボイド率 (G 6001) | 図 3.2-8～図 3.2-12  |
| (3) EV 下部プレナム温度 (T 1102)  | 図 3.2-13～図 3.2-17 |
| (4) EV 放出系配管部温度 (T 6031)  | 図 3.2-18～図 3.2-22 |
| (5) EV 上部プレナム温度 (T 1147)  | 図 3.2-23～図 3.2-28 |

尚, 図中の番号は, 表 3.2-1 の解析ケースの番号を示す。

### 3.2.4-2 各ケースの比較・検討

圧力, ボイド率および各温度毎に, 各ケースについての比較を以下に述べる。

#### (1) 圧 力

図 3.2-3～図 3.2-7 に示す反応部圧力の解析結果より, 主に次のような傾向が得られた。

- i) 各ケース共, 圧力ピークの発生が 1～1.5 秒前後となり, 実験値 (2～3 秒) に比べ, 早い時期に圧力上昇が見られる。
- ii) ケース 1, 2, 6, 9 および 10 に見られるように, 気泡液滴密度が小さい程, 圧力は全般に大きくなる。これは, 水素ガスから, ナトリウムへの熱移行量が少なくなるために, 水素ガスが高温に保持され, 圧力が上がるためと考えられる。
- iii) ケース 1 とケース 9 の比較からわかるように, ナトリウムの入熱が圧力に与える影響は, 小さい。ケース 1, 9 では, 気泡液滴密度は,  $10^2$  であるが, ケース 5 とケース 8 のように, 気泡液滴密度  $10^6$  のケースでも, ほとんど差は見られず, いずれにしても, あまり影響はないと考えられる。
- iv) ケース 4～8 に見られるように, 多ノード注水のケースでは, 1 ノード注水に比べ, ピーク圧力は若干高めとなり, 又, 2 秒後の圧力がややもち上がる傾向がある。これは, 全コイル部及び下部プレナムでは水素温度は, 常に  $1250^\circ\text{C}$  に保持されるためと考えられる。
- v) 図 3.2-6 及び図 3.2-7 に見られるように, カバーガスー放出系配管リンクモデル

を変更した場合は、ピーク圧までの挙動はモデルを変更しない場合とあまり変わらないが、ピーク以降はさらに下がる傾向が見られる。

以上、各パラメータが解析結果に及ぼす影響を反応部圧力について比較・検討したが、その他の2次系回りの各部圧力も、この傾向と同様な傾向が見られた。

### (2) ボイド率

ボイド率に関するEV下部プレナム及びEV放出系配管部の解析結果とEV放出系配管部結果を図3.2-8～図3.2-12に示す。以下にこれらの主な傾向を記す。

- i) 全般に放出系配管部では、解析結果が実験結果に比べ、ボイド率の低下が大きく、又その時間も長い。すなわち、解析ではかなり多量のナトリウムが放出される。
- ii) 多ノード注水の場合は、1ノード注水に比べボイド率の低下が大きく、0.25程度まで下がり、かなりのナトリウムが放出される。
- iii) ナトリウム入熱による影響は、ケース4,5とケース6,7,8又は、ケース1とケース9を比べてわかるように、ほとんど見られない。
- iv) カバーガスー放出系配管リンクモデルを変更した場合は、ケース10,12の如く、ボイド率の落ち込みがかなり改善される。これは、変更モデルでは、このリンクで相対速度が大きくなり、放出系へのナトリウム流れが抑制されるためである。

### (3) 温 度

温度については、実験と解析の比較した図を下部プレナム、EV放出系配管部及び上部プレナム部について、それぞれ図3.2-13～3.2-17、図3.2-18～3.2-22、及び図3.2-23～3.2-28に示す。

各部の温度について以下に記す。

#### (3)-1 下部プレナム温度

実験値では約0.5秒にピークが見られるが、それ以降は初期ナトリウム温度である。恐らく、初期のピークは、局所的に高い反応界面の温度を測定した結果だと考えられるが、解析結果から次のような傾向を認めることができる。

- i) 図3.2-15のケース6,7および8を比較すると、気泡液滴密度が大きい程、水素からナトリウムへの熱移行が大きく、ナトリウム温度が上昇する。
- ii) 図3.2-15のように、ナトリウム入熱があり、下部プレナムがかなりボイド化する場合は、ナトリウム温度の上昇が大きく沸点に達する場合もある。
- iii) 図3.2-16、図3.2-17のケース10,12のように、下部プレナム部のボイド化が図3.2-11および図3.2-11に示されるように、ある程度小さくなれば、ナトリウム温度の上昇が小さく抑えられる。

#### (3)-2 放出系配管部温度

実験値はゆるやかに上昇し、ナトリウム温度について実験値を下まわるのはケース1～

3 であり、他は高めに評価している。各パラメータの影響について以下に示す。

- i) ナトリウム入熱がない場合、図 3.2-18 の如く、ナトリウム温度の上昇が見られず 3 秒以後は過小評価となる。
- ii) 図 3.2-19 のように多ノード注水の場合は、コイル部全域でナトリウムが加熱されることから、温度上昇が見られ、気泡液滴密度を大きくとったケース 5 の場合は、さらに顕著となり、ほとんど水素温度と同じ温度で上昇する。
- iii) 図 3.2-21 および図 3.2-22 のケース 10, 12 のように、カバーガスー放出系配管部リンクモデルを変えた場合は、反応容器内にナトリウムが多めに残るため、ナトリウム熱容量も大きくなり、ナトリウム温度の上昇は、やや低く抑えられる。

### (3)-3 上部プレナム温度

実験データでは、1.5 秒頃から徐々に温度が上がり、3 秒前後で急激に上昇し、振動しながら推移している。これに対して解析では、以下のようない結果である。

- i) 図 3.2-24、図 3.2-25 のように、多ノード注水の場合、水素温度は高めとなり、ナトリウム入熱がない前者の場合はゆるやかに上昇するが、入熱がある後者の場合は、初期から水素温度は高くなる。図 3.2-25 ケース 8 では、水素とナトリウムの熱バランスで共に上昇し、ナトリウムは沸点に達する。
- ii) 図 3.2-26 のように、気泡液滴密度が小さい場合、1 秒頃に 1200 ~ 1300 °C のピークが生じ、以後 800 °C 前後で一定となる。

一方、気泡液滴密度が大きい場合は、図 3.2-27 のように 500 °C 前後を推移し、3 秒以降ゆるやかに上昇する。

- iii) 3 秒頃に水素温度のみの立上りが見られるのは、ケース 3 (図 3.2-23) 及びケース 12 の放出系入口圧損を一部変えた参考ケースのケース 13 (図 3.2-28) である。

以上のようにコイル部での伝熱流動が、コイル上部の条件に非常に過敏であり、ケース 3 のように水素ガスを抜けやすくした場合に、実験に近い傾向を示す場合もあるが、その 3 秒以降の立上りのメカニズムについては不明であった。又、ドリフトフラックスモデル変更案については、Hirt らのモデルとの整合性、高流速時の相対速度の考え方等に問題が残り、現状での適用は難しいと考えられる。

### 3.2.5 最適パラメータの選択

Run-5 ケースの圧力、ボイド率、温度について実験とパラメータ解析で比較検討を行ったが圧力、ボイド率等については、ある程度解析結果に妥当性があり、温度については、基本的に実験データに合致、又は保守的であるものを選定した。

- (1) 圧力については、いずれのケースも、ほぼ合うか、保守的評価となっているが、概して、気泡液滴密度は  $10^4 \sim 10^6 (1/m^3)$  が実験値に近い。
- (2) ボイド率 (放出系配管) は、解析結果では全般に低めであるが、ナトリウム温度の上昇の

観点から、できるだけ反応容器内にナトリウムが残留し、実験データにより近いケース 10 又はケース 12 が望ましい。

(3) 下部プレナム温度については、実験値の初期のピークを反応界面と考えれば、いずれのケースの解析結果も実験値に合うか、過大評価となっている。又、多ノード注水の場合は、かなり過大評価となっている。

放出系配管部の温度については、ケース 1～3 を除き水素、ナトリウム温度共に解析結果は実験値に対し過大評価であるが、ケース 11, 12 が比較的実験値に近い。

上部プレナム温度については、実験で見られる 1.5 秒以降の高温の温度推移は反応界面の移動とも考えられるが、首尾一貫してこの現象を模擬できるパラメータセットは見当らなかった。この反応界面の移動については今後十分検討を要する課題と考えられる。

以上より、現段階で上部プレナム温度を除き、比較的実験データに近いケース 12 を最適パラメータケースとする。以下にケース 12 のパラメータ条件を示す。

最適パラメータ	
◦ 気泡液滴密度	$10^4 (1/m^3)$
◦ 注水ノード数	1
◦ ナトリウム入熱	30 kcal/mol
◦ C/G—放出系リンクモデル	変更案

表 3.2-1 SWAT-3 Run 5 解析ケース一覧表

番号	ケース名	(1) 気泡液滴密度 (1/m <sup>3</sup> )	(2) ドリフトフラックスモデル	(3) 注水ノード数	(4) ナトリウム入熱 (kcal/mol)	(5) C/G-放出系 リンクモデル	備考
1	CASE 1	10 <sup>2</sup>	従来	1	0	従来	
2	CASE 2	10 <sup>2</sup>	変更	1	"	"	
3	CASE 3	10 <sup>4</sup>	"	1	"	"	
4	CASE 4	10 <sup>4</sup>	従来	7	"	"	
5	CASE 5	10 <sup>6</sup>	"	7	"	"	
6	CASE 6	10 <sup>2</sup>	"	7	30	"	
7	CASE 7	10 <sup>4</sup>	"	7	"	"	
8	CASE 8	10 <sup>6</sup>	"	7	"	"	
9	CASE 9	10 <sup>2</sup>	"	1	"	"	
10	CASE 10	10 <sup>2</sup>	"	1	"	変更	
11	CASE 11	10 <sup>4</sup>	"	1	"	従来	
12	CASE 12	10 <sup>4</sup>	"	1	"	変更	
13	(CASE 13)	10 <sup>4</sup>	"	1	"	"	ケース 12 のパラメータ*

\* C/G～放出系の圧損を小さめに評価した。

### 3.3 Run-6 の実験解析

本節では SWAC-13E による SWAT-3, Run-6 の実験解析について述べる。本実験解析では、主に 2 次系配管におけるナトリウムー水反応時の挙動、すなわち、構造評価上問題となるナトリウム温度、水素温度、及び流速に着目してコードの検証、解析に使用する最適パラメータの選定を行なった。コードの検証、及び最適パラメータの選定に際しては、他の実験解析の結果も踏えて解析コード (SWAC-13E) がナトリウムー水反応事故時の 2 次系各部の構造評価に適用できるよう留意した。

#### 3.3.1 解析パラメータ

上記の点を考慮し、以下のパラメータ項目を選定し、実験値との比較・検証を行なった。

- (1) 気泡／液滴密度 ( $10^2, 10^4, 10^6, 10^8$  個/ $m^3$ )
- (2) 相対速度のモデル (Hirt のモデル, Zuber のモデル)
- (3) 反応熱のナトリウム入熱 (0, 10, 30 kcal/mol)
- (4) 注水ノード数 ( $1, 7$  ノード)

\*1 7ノードに対する注水率分配割合は、Run-5 解析と同じ

#### 3.3.2 解析モデル

SWAT-3, Run-6 の実験解析を SWAC-13E により行なう際の解析モデルを図 3.3.2 に示す。本解析において主に着目した 2 次系配管は、図において、ノード番号 14, 15 のミドルレグ配管、ノード番号 16 のコールドレグ配管、及びノード番号 18 のホットレグ配管である。

#### 3.3.3 解析条件

上記の気泡／液滴密度、相対速度のモデル、及び反応熱の取扱いによる解析結果に及ぼす影響を明らかにするために、表 3.3-1 に示す解析を行なった。表 3.3-1 において解析ケース名の表わす内容は次の通りである。

R 6 H 4 3 S	
—————	
① ②③④⑤	

- ① SWAT-3, Run-6
- ② 相対速度のモデル H … Hirt のモデル  
Z … Zuber のモデル
- ③ 気泡／液滴密度 2 …  $10^2$   
4 …  $10^4$   
6 …  $10^6$   
8 …  $10^8$
- ④ 反応熱 0 … 従来通り  
1 … 10 kcal/mol  
3 … 30 kcal/mol
- ⑤ 注水ノード S … 1 ノード  
P … 複数ノード

### 3.3.4 解析結果と実験結果の比較、検討

ここでは、SWAT-3, Run-6の実験結果と解析結果の、主に2次系配管における挙動の比較を述べる。なお、実験結果は図中に破線で示した。

#### (1) 気泡／液滴密度、相対速度のモデルの影響

気泡／液滴密度 ( $10^2$ ,  $10^4$ ,  $10^6$ ,  $10^8$ ) と 2種類の相対速度のモデル (Hirtのモデル, Zuber のモデル) の組み合わせによる計 8 ケースの解析における 2 次系配管各部 (ミドルレグ, コールドレグ, ホットレグ) のナトリウム温度の変化、及びホットレグでの流速 (ナトリウム) の変化を、それぞれ図 3.3-4(a)~(h), 図 3.3-5(a)~(h), 図 3.3-6(a)~(h), 図 3.3-7~7(a)~(h) に示す。なお、図中に表 3.3-1 で示した解析ケース名を記した。

図 3.3-4 に示すミドルレグ (ノード番号 14; 図 3.3-2 参照) のナトリウム温度は気泡／液滴密度、相対速度のモデルにかかわらず、いずれの場合も初期温度ではほぼ一定である。

図 3.3-5 に示すコールドレグ (ノード番号 16; 図 3.3-2 参照) のナトリウム温度は、Hirt のモデルで気泡／液滴密度  $10^2$  で 5.5 秒から急激に上昇するが、これは、SWAC-13E のプログラムに問題があったため (付録 A, コードの修正 A.4 参照)、その後のコード修正により、このような現象は見られなくなった。その他のケースでは、ナトリウム温度は、あまり変化していない。

図 3.3-10 に示すホットレグ (ノード番号 18; 図 3.3-2 参照) のナトリウム温度は、上記と同じ理由で Hirt のモデルの気泡／液滴密度  $10^2$ ,  $10^4$  の場合に上昇するが、他のケースではほぼ一定となる。

一方、図 3.3-7 に示すホットレグ (リンク番号 21; 図 3.3-2 参照) における流速では、相対速度のモデルによる相違が大きく、実験結果 (図中破線) と比較して、Hirt のモデルが定性的には一致している。また、Zuber のモデルでは、1 秒前後の計算がやや不安定になっている。このため、相対速度のモデルには Hirt のモデルを用いることが望ましい。

#### (2) 反応熱の影響

ナトリウム-水反応時に発生する反応熱を考慮し、さらに注水ノードを複数 (7 ノード) にした場合の解析結果を図 3.3-8(a)~(h), 図 3.3-9(a)~(h), 図 3.3-10-(a)~(h) に示す。

図 3.3-8 は気泡／液滴密度  $10^4$ 、反応熱  $30 \text{ kcal/mol}$ 、Hirt のモデル、注水ノード複数の場合 (R6H43P) である。

図 3.3-9 は気泡／液滴密度  $10^6$ 、反応熱  $0 \text{ kcal/mol}$  (従来と同様水素ガスのみに反応熱を与える、他は無視)、Hirt のモデル、注水ノード複数の場合 (R6H60P) である。

図 3.3-10 は気泡／液滴密度  $10^6$ 、反応熱  $10 \text{ kcal/mol}$ 、Hirt のモデル、注水ノード複数の場合 (R6H61P) である。

上記各図には、ミドルレグ、コールドレグ、ホットレグのナトリウム温度、水素温度が示されている。なお、表 3.3-1 に示すように、気泡／液滴密度  $10^2$  のすべてのケース、気泡／液滴

密度  $10^4$  の反応熱  $0 \text{ kcal/mol}$ ,  $10 \text{ kcal/mol}$  の 2 ケース, 気泡/液滴密度  $10^6$ , 反応熱  $30 \text{ kcal/mol}$  のケースの合わせて 6 ケースは計算が初期に停止し, 結果が得られていない。

解析結果は, 上記 3 ケースのみの比較, 及び Run-6 以外の解析結果(本章他節参照)から, 一般にナトリウム温度は気泡/液滴密度の小さい方が高く, また, 同一の気泡/液滴密度に対しては反応熱の大きいほど高くなる。2 次系配管においては, 注水ノードを複数にしたため, 蒸発器内の多数のノードでナトリウム温度が沸点にまで達したことから各部で温度が高くなり, 実験結果に対し, 極めて保守的な解析となっている。

上記を反映し, 注水ノードを複数ノードから 1 ノード(図 3.3-2 のノード番号 1)にして, 気泡/液滴密度  $10^4$ , 反応熱  $30 \text{ kcal/mol}$ , Hirt のモデルにして行った解析結果を図 3.3-11～図 3.3-17 に示す。気泡/液滴密度を  $10^4$  としたのは, ここでは触れていないが他の Run 及び本解析における蒸発器内部及び放出系配管における挙動の比較より,  $10^4$  という値が実験結果に最も近く, かつ実験結果を包絡することが明らかになったことによる。

図 3.3-11 は 2 次系配管のナトリウム温度を示しており, 図よりナトリウム温度はミドルレグ, コールドレグで上昇するものの, わずかで実験値に対し, それを包絡し安全側の結果が得られている。

ホットレグにおける流速を図 3.3-12 に示す。流速に関しては反応熱の影響は少なく, 前出の図 3.3-7(b)とほぼ変わらない結果が得られている。

蒸発器内部のナトリウム温度を示した図 3.3-13 においても, 実験値(図中破線)を解析値が上回り, 保守的な結果が得られている。また, 放出系配管においても, 図 3.3.14 に示す解析値が実験値(図中破線)を上回り, 蒸発器内部同様保守的な結果が得られている。しかしながら, 蒸発器内部, 放出系配管とともに, 解析値の方が実験値をかなり上回っているため, この原因となっている。蒸発器ナトリウムの残存量の実際量以上の低下を, どのように押えるかが今後の課題といえる。

### 3.3.5 最適パラメータの選定

前節 3.3.3 で得られた結果から, SWAC-13E により SWAT-3, Run-6 の実験解析を行う際の最適パラメータとして, 以下の値が得られた。

- (1) 気泡/液滴密度 …  $10^4 \sim 10^8$ <sup>(\*)2)</sup>
- (2) 相対速度のモデル…Hirt のモデル
- (3) 反応熱 …  $30 \text{ kcal/mol}$
- (4) 注水ノード数 … 1 (Node No. 1)

\*2 この値は, 2 次系配管に着目した値であり, 節 3.3.3 でも述べたように, 蒸発器内部及び放出系配管での挙動を保守的に評価するためには  $10^4$  程度が妥当と考えられる。

表3.3-1 SWAT-3 Run 6 解析ケース一覧表

		反応熱			
		0 kcal/mol		30 kcal/mol	
		1ノード	複数ノード	1ノード	複数ノード
相対注水速度のモデル 気泡/液滴密度					
$10^2$	Hirt	R 6 H 20 S	R 6 H 20 P *	R 6 H 21 P *	R 6 H 23 P *
	Zuber	R 6 Z 20 S			
$10^4$	Hirt	R 6 H 40 S	R 6 H 40 P *	R 6 H 41 P *	R 6 H 43 S
	Zuber	R 6 Z 40 S			
$10^6$	Hirt	R 6 H 60 S	R 6 H 60 P	R 6 H 61 P	R 6 H 63 P *
	Zuber	R 6 Z 60 S			
$10^8$	Hirt	R 6 H 80 S			
	Zuber	R 6 Z 80 S			

注) 表中 \* 印を記したケースは計算が初期にストップし、結果は得られていないその後その原因は取り除かれ現在では計算可能となっている。

### 3.4 Run-7 の実験解析

SWAT-3, Run-7 の注水点はダウンカマ下部であり、前3ケースとはこの点で大きく異なる。このような注水点であっても温度評価上の保守的なパラメータを前3ケースと整合性をもたせて決定するために、Run-7の実験解析を実施した。

#### 3.4.1 解析パラメータ

上記の点を考慮して次のパラメータ項目を選定した。

- |                       |   |
|-----------------------|---|
| (1) 気泡／液滴密度           | ( $10^2, 10^4, 10^5, 10^6$ 個/m <sup>3</sup> ) |
| (2) 相対速度のモデル          | (Hirt, Zuber のモデル)                            |
| (3) 反応熱のナトリウム入熱       | (0, 10, 30, kcal/mol)                         |
| (4) 注水ノード数            | (1, 7, 8ノード)                                  |
| (5) カバーガス-放出系配管リンクモデル | (Run-5の解析と同じ)                                 |

#### 3.4.2 解析モデル

SWAT-3, Run-7 の実験解析のネットワークモデルは図3.4-1に示すとおりである。

Run-7 はダウンカマ注水であるため Run-4 ~ 6までの解析モデルとは異っている。コイルのように物理的に分割されていないので、反応チャンネル（ダウンカマ）において横方向への流れを考慮している点及び反応チャンネルの下側にプレナム的ノードを設けている点に特徴がある。

#### 3.4.3 解析条件

Run-7 の実験解析条件を表3.4-1に示す。タタノード注水時の注水率配分割合は次の通りである。

8ノード注水  
(〔 〕内はクノード注水時)

ノード	1	2	3	4	5	6	7	8
注水割合	0.25	0.2	0.15	0.1	0.05	0.05	0.1 〔0.0〕	0.1 〔0.2〕

これは、カバーガスを含むノード（上部プレナム）にも注水されるとするモデルである（この場合コードの制約上カバーガスを含むノードを通過する水素ガス温度は低く見積られる）。

#### 3.4.4 解析結果と実験結果の比較検討

##### 3.4.4-1 水素以外への反応熱を無視した解析

気況／液滴密度および相対速度モデルのサーベイの結果得られた主要な結果を以下に示す。

- (1) 気泡／液滴密度の影響 (図3.4.4-1～図3.4.4-3参照)

気泡／液滴密度が小さくなるほど気泡／液滴界面の表面積が小さくなり、水素ガス温度は高くなる結果が反応部近傍、放出系配管および下部プレナムにおいて同様に得られた。これらの結果を図3.4.4-1から図3.4.4-3に示す。但し、反応部近傍（ダウンカマ）の水素ガス温度について、初期は気泡／液滴密度  $10^2$  (m<sup>-3</sup>) のケースが実験データに対する包絡

性が良いが、約2秒以後は気泡／液滴密度 $10^4(\text{m}^{-3})$ のケースを下廻る。これは、 $10^2(\text{m}^{-3})$ の場合SG内の圧力が高くなるため、水素ガスの流速が速くなり放出系へ早く抜けやすくなつた影響と思われる。気泡／液滴密度を $10^2(\text{m}^{-3})$ とすると、放出系配管内の水素ガス温度がかなり過大評価となる可能性が有り、全般的に見ると気泡／液滴密度は $10^4(\text{m}^{-3})$ 程度が適當と思われる。

なお、構造材の温度についてはどのケースにおいてもほとんど上昇しておらず、本実験の範囲では気泡／液滴密度の構造材温度へ及ぼす影響は小さいと言える。

## (2) 相対速度モデルの影響

相対速度モデルが各部の水素ガス温度に及ぼす影響を図3.4.4-4に示す。

同図によると、HirtのモデルおよびZuberのモデルとともに、気泡／液滴密度 $10^2(\text{m}^{-3})$ では特に放出系配管内の水素ガス温度を大きく過大評価する。気泡／液滴密度 $10^4(\text{m}^{-3})$ の場合は、反応部近傍（ダウンカマ）および放出系ともにHirtのモデルの方が保守側の結果となる。

Zuberのモデルでは、気泡／液滴密度 $10^4(\text{m}^{-3})$ の両ケースともにSG内の水素ガス温度に振動が見られる。（Zuberのモデルはもともと熱的平衡な事象としており、本ナトリウム・水反応への適用には多少無理がある）。

また、Zuberのモデルでは気泡／液滴密度 $10^4(\text{m}^{-3})$ の場合にさらに長時間計算では放出系配管の下流側において過小評価となる可能性がある。

## 3.4.4-2 水素以外への反応熱を考慮した解析

反応熱および気泡／液滴密度のサーベイの結果を主として以下にまとめた。また参考として、カバーガスと放出系を結ぶリンクの流路面積のサーベイ結果について示す。

### (1) 反応熱の影響（図3.4.4-5～図3.4.4-7参照）

ここでは、1ノード注水、気泡／液滴密度 $10^4(\text{m}^{-3})$ でナトリウム中への反応熱、 $30\text{kcal}/\text{mol}$ <sup>\*</sup>を考慮した場合と、無視して $0\text{kcal}/\text{mol}$ とした場合について比較検討する。（\*3.4.4-1との比較）図3.4.4-5(a)によるとダウンカマ部（ノード3）において、水素ガス温度は反応熱 $30\text{kcal}/\text{mol}$ を考慮した場合が約 $20\sim40^\circ\text{C}$ ピーク値が高くなる。

放出系配管部（ノード24）においては、反応熱を考慮した場合が水素ガス温度約 $100^\circ\text{C}$ （at 6秒）、構造材温度で約 $10^\circ\text{C}$ （at 6秒）高くなっている。

### (2) 気泡／液滴密度の影響（図3.4.4-5～図3.4.4-7参照）

ダウンカマ部（ノード3）の温度については、気泡／液滴密度 $10^4(\text{m}^{-3})$ の場合が実験値に対する包絡性は比較的よい。ナトリウムの温度は、気泡／液滴密度 $10^4$ ,  $10^2(\text{m}^{-3})$ の場合ともに約1秒で沸点に達する。これは反応部近傍のノードが急激にボイド化され、ナトリウムが解析上ほとんどなくなるため熱容量的には小さく、構造材温度へ及ぼす影響は小さい。

図3.4.4.7によると放出系配管部（ノード24）については、気泡／液滴密度 $10^2(\text{m}^{-3})$ の場合、約6秒以後急激にナトリウム温度が上昇し、これに伴って水素ガス温度も再び上昇する傾向にあり、実験値に対してもかなり過大となっている。これは気泡／液滴密度が $10^2(\text{m}^{-3})$ の場合SGから収能容器へ放出されるナトリウム量が多いため、SG内に残存するナトリウムが少なくなり高温となって放出系配管へ流入したこと等が原因と考えられる。

気泡／液滴密度 $10^4(\text{m}^{-3})$ の場合、約6～10秒で温度が頭打ちとなり、ナトリウム温度及び水素温度はそれぞれ約400°C、約500°C(at 10秒)で実験値に対して両者とも保守側の結果となっている。

### (3) 流路面積の影響(図3.4.4-8参照)

カバーガスと放出系配管を結ぶリンク（サブリンク1）の流路面積を放出系配管の断面積からカバーガス部の断面積に変更した場合の解析を実施した。後者はイナーシャが小さくなるため、ガスが放出系へ逃げやすくSG内の圧力が低くなっている。このため収納容器へ放出されるナトリウム量が少くなり、放出系配管内の温度が低くなっている。ダウンカマ部の温度には、本ケースの場合大きな影響はない。

### 3.4.5 最適パラメータの選定

SWAT-3, Run 7の実験解析より得られた最適パラメータは以下のとおりである。

- 気泡／液滴密度 :  $10^4 \text{ m}^{-3}$
- モル転換比 : 0.5 モル
- 反応部水素ガス温度 : 1140 °C
- 反応熱 : 30 kcal/mol
- 相対速度モデル : Hirtのモデル
- 注水ノード : 1 ノード

なお、以上は流体温度を実験値に対して保守側に対して保守側に評価するという観点等から選定した値である。

表 3.4-1 SWAT-3, Run 7 実験解析ケース

解析ケース	気泡／液滴密度 [ $m^{-3}$ ]	相対速度モデル	反応熱 [kcal/mol]	注水モデル	備考
Run 7 DF00	$10^6$	Hirt	0	1ノード注水	
" DF01	$10^2$				
" DF02	$10^4$				
" DF03	$10^5$				
" DF04	$10^4$	Zuber			
" DF05	$10^2$	Zuber			
Run 7 QNW1	$10^6$	Hirt	30	8ノード注水	
" QNW2	$10^4$				
" QNW3	$10^2$				
" QNW4	$10^4$		10		
" QNW5	$10^4$		0		
Run 7 QN2	$10^4$		30	1ノード注水	
" QN3	$10^2$			"	
RN7 QNW2A	$10^4$			7ノード注水	
Run 7 AL1	$10^4$			1ノード注水	カバーガス→放出 系リンク面積変更

\*水素以外の反応生成物等に与えられる反応熱

## 4.0 実験検証のまとめ

### 4.1 概論

圧力挙動についてはSWACS以来同様のパラメータ・サーベイがなされて来ているので、比較的良い一致が見られた。しかしながら、放出ナトリウム量に関しては依然過大評価する傾向が見られ、これがEVや放出配管内でのかなり高い流体温度となって現われている。

EVコイル部上部破損を模擬したRun 4のケースでは圧力挙動については全般に保守性が見られた。温度評価については、パラメータ、特に気泡／液滴密度の選択により保守性を保つ事ができる。

EVコイル部下部破損でなお且つ最大規模の水リーク試験であったRun 5の場合、やや問題が生じた。それは、EV内と放出系配管内の評価に対して最適パラメータが異なり、また上述した原因で過度に保守的な結果が放出系配管内流体温度に対して得られている事である。圧力挙動に関して概ね適度な保守性の範囲にあると言える。

EVコイル部下部破損であるRun 6では特に2次系に注目した解析を行なった。Run 6試験結果では2次系内の熱交換器間を接続する配管内での温度上昇はわずかであったが、計算上は最初に述べたEV内のナトリウム温度の上昇の影響を受けて、ミドルレグやコールドレグでは温度上昇が現われ、保守的な計算結果となっている。

EVダウンカマ一部でのリークを模擬したRun 7のケースでも、他の場合と同様放出系配管内のナトリウム温度がかなり過大となっているが、解析の保守性は全ての場合保たれている。

いずれの場合もEV内や放出系配管内のナトリウム温度は過度に高いが、ボイド率も高いため構造材に対する影響は意外に小さく、構造材の温度上昇も妥当な範囲に収まっている点は注目しなければならない。

### 4.2 主要解析パラメータの選択

#### (1) 反応熱量QGEN

水素以外の反応生成物から直接ナトリウムに伝えられる反応熱を考慮した場合、当然の事ながらナトリウムの温度上昇は見られるが、水素ガス温度の変化はわずかである。特にリーク率の大きいRun 5のケースでは反応熱を考慮しない場合、実験結果に比べナトリウム温度を過小評価する恐れもある。これに対し、反応熱 30 kcal/mol を考慮するとEV及び放出系のナトリウム温度は沸点にまで達する場合もある。但しリーク率の小さい他のRunのケースでは両者の開きはそれほどではない。

反応熱を考慮すると構造評価上厳し過ぎる面もあるがそれについて後述するとして、ともかく過小評価は避けると言う意味から、理論上の反応熱量 30 kcal/mol は考慮しない訳にはいかない。よって、

$$QGEN = 30 \text{ kcal/mol}$$

## (2) 注水ノード数

注水ノードを複数個にする事によって、ある程度広範囲に反応域を想定する事は可能となったが、別の面での影響が現れた。即ち、多ノード注水のケースでは放出ナトリウム量が更に増え、EV内や放出系配管内流体温度にかなり過大な評価を招く。これに対し、単ノード注水の場合は潜熱の形で熱量が保持される事もあり、同温度の過大評価の程度はやや弱まる。現 SWAT-3 解析においては、反応熱を考慮した事による過度なナトリウム温度上昇が問題となっており、このため、少しでも温度上昇を抑える意味で単ノード注水を選択する。

NNODEW = 1

## (3) 相対速度モデル

Hirt のモデルに比べて Zuber のモデルでは水素からナトリウムへの熱移行が大きく、従って水素ガスの温度降下が早くから生じる。このため EV 内では気泡／液滴密度  $N = 10^4$  を用いても過小評価となる事がある。これに対し Hirt のモデルでは  $N = 10^4$  で実験値を包絡しており Zuber のモデルより適している。

## (4) 気泡／液滴モデル

$N$  は水素ガスからナトリウムへの熱移行に特に強い影響を及ぼしている。放出系配管内では  $N = 10^6$  の場合、両者は熱的平衡状態にあり、ほぼ同じ温度を示す。これに対し、 $N = 10^2$  の場合は水素ガスがかなり (Run で 1300 °C) のまま放出系まで運ばれる。放出出流体温度に関しては反応熱を考慮した場合、 $N = 10^2 \sim 10^6$  のいずれの場合もかなり保守性が強く特に  $10^2$  では厳しくなる。EV 内の温度については、 $N = 10^6$  を選ぶと過小評価となる。また Run 5 の上部プレナムでは  $10^4$  でも過小評価となっている。従って一般の解析には  $N = 10^4$  を用い、反応域に含まれるような局所的な評価には  $10^2$  を用いると言うような工夫も考えられる。

## (5) EVカバーガス→放出系配管リンク・モデル

Run 5 及び 7 で行なった EV カバーガス → 放出系配管サブリンクの変更については、EV 内及び放出系配管内の流体温度の過大評価を緩和するに効果のある事が判った。方法としてはやや人為的過ぎるきらいはあるが、現コードの 2 相流モデルがうまく現象を把えていると言い難い状況では過度に保守的な評価を行なわないためにも、このようなある程度の便宜的な方法もやむを得ないものと思われる。

表 4.1 最適パラメータの選択

- |                  |   |                           |
|------------------|---|---------------------------|
| ◦ ナトリウム入熱        | : | 30 [kcal/mol]             |
| ◦ 注水ノード数         | : | 1                         |
| ◦ ドリフト・フラックス・モデル | : | Hirt 3 のモデル               |
| ◦ 気泡／液滴密度        | : | $10^4$ [m <sup>-3</sup> ] |

表 4.2 最適パラメータでの温度評価

	E V 内	放出系	2 次系配管
Run 4	◎	○	
Run 5 (×上部プレナム)	◎	△	
Run 6	○	△	◎
Run 7	△	△	

△ かなり保守側  
 ○ やや保守側  
 ◎ 良く一致  
 × 非安全側

#### 4.3 今後の課題

本実験検証にて現 SWAC-13E の問題点がいくつか明らかになった。更に SWAC-13E の完成度を上げるために今後の改良が必要と思われる項目を以下に列挙した。

##### i) 2相流モデルの改良

2相流モデルの不適切さから来る問題として、放出されるナトリウム量が実際以上に多過ぎ SG側で圧力の抜けが悪く、逆に RPT側では圧力を過小評価する恐れがある。

放出ナトリウム量が過大評価であるため、温度評価上も極めて厳しい解析結果を招いている。より適切な2相流モデル（TRAC, RELAP等）を適用する必要がある。

##### ii) 2次系配管流モデル

本書では特に取り上げなかったが、2次系配管内流動モデルにもやや問題があり、SH等での圧力挙動に不一致が目立つ。

##### iii) 反応域モデル

反応部のモデルの問題として、実現象としての反応域はかなり広く分布し、コイル部下部注水のケースでは下部プレナムやコイル部上部まで反応界面が及んでいるにもかかわらず、計算コードのモデルは注水ノードで完全に反応を終え、隣接ノードに流れ込む水素ガスはナトリウムとの熱交換により温度が低下していくと言うようになっているので、特にリーク率が大きい場合、注水ノード以外のリーク点近傍は水素ガス温度の過小評価が生じる。これは一つには、気泡／液滴密度等のパラメータが事故SG内と放出系に対して同一値で適用される事にやや無理があると思われているので、特に反応域近辺実現象に即したパラメータ値を内部的に計算して用いるような方式も検討する必要がある。

## 5.0 おわりに

今回の SWAC-13E の SWAT-3 データを使った実験検証により、大リーグ・ナトリウム-水反応時の温度挙動評価に対する本コードの有用性と、もんじゅ SG の評価に使用可能な安全側のパラメータを決定することができた。

現コードには、実験データとのベスト・フィットの観点からはまだ不充分な所もあるが、設工認の構造評価作業スケジュールに間に合わせる関係上、コードの大きな改造を避けた。しかしながら本コードの妥当性の立証と、過度な保守性を排するためには、今後コードの改造とその実験検証が必要である。

最後に末筆ながら本検証作業グループの発足と作業計画の立案に当っては、FBR 本部安全工学ブロックの渡辺章主幹、羽賀一男副主任研究員に御指導をいただき、また原型炉建設部機械課の小川信行研究員、大洗工学センター原発安全工学室の三宅収研究員には種々の有益な助言と協力をいただいた。ここに各氏への感謝を表します。

## 参 考 文 献

- (1) 田辺, 広井, 佐藤, 堀「大リーグ・ナトリウム-水反応時の準定常圧力学動計算コード SWAC-13-大リーグ・ナトリウム-水反応解析(第2報)-」  
PNC SN941 77-170, 1977年4月
- (2) O. Miyake, M. Sato, "Interium Report on SWAC-13E Development for Analysis of Long-Term Transients of Large-Scale Sodium-Water Reaction (Large Leak Sodium-Water Reaction Analysis Report No 13)"  
PNC SN941 83-133, Aug., 1983.
- (3) 広井, 佐藤, 田辺, 錦見, 吉岡, 堀「蒸気発生器安全性総合試験装置(SWAT-3) Run-4試験結果 大リーグ・ナトリウム-水反応試験(第9報)-」  
PNC SN941 79-118, 1979年6月
- (4) 広井, 佐藤, 田辺, 錦見, 吉岡, 堀「蒸気発生器安全性総合試験装置(SWAT-3) Run-5試験結果 -大リーグ・ナトリウム-水反応試験(第10報)-」  
SN941 79-04, 1978年10月
- (5) 田辺, 佐藤, 広井, 錦見, 吉岡, 堀「蒸気発生器安全 総合試験装置(SWAT-3) Run-6試験結果 -大リーグ・ナトリウム-水反応試験(第11報)-」  
SN941 78-154, 1978年10月
- (6) 広井, 佐藤, 大後, 堀「蒸気発生器安全性総合試験装置(SWAT-3) Run-7試験結果 -大リーグ・ナトリウム-水反応試験(第12報)-」  
SN941 79-155, 1979年8月
- (7) 小原, 中島, 三宅「大リーグ・ナトリウム-水反応解析コードの検証計算と適用計算」  
(プラント安全工学室内部資料) 1982年9月

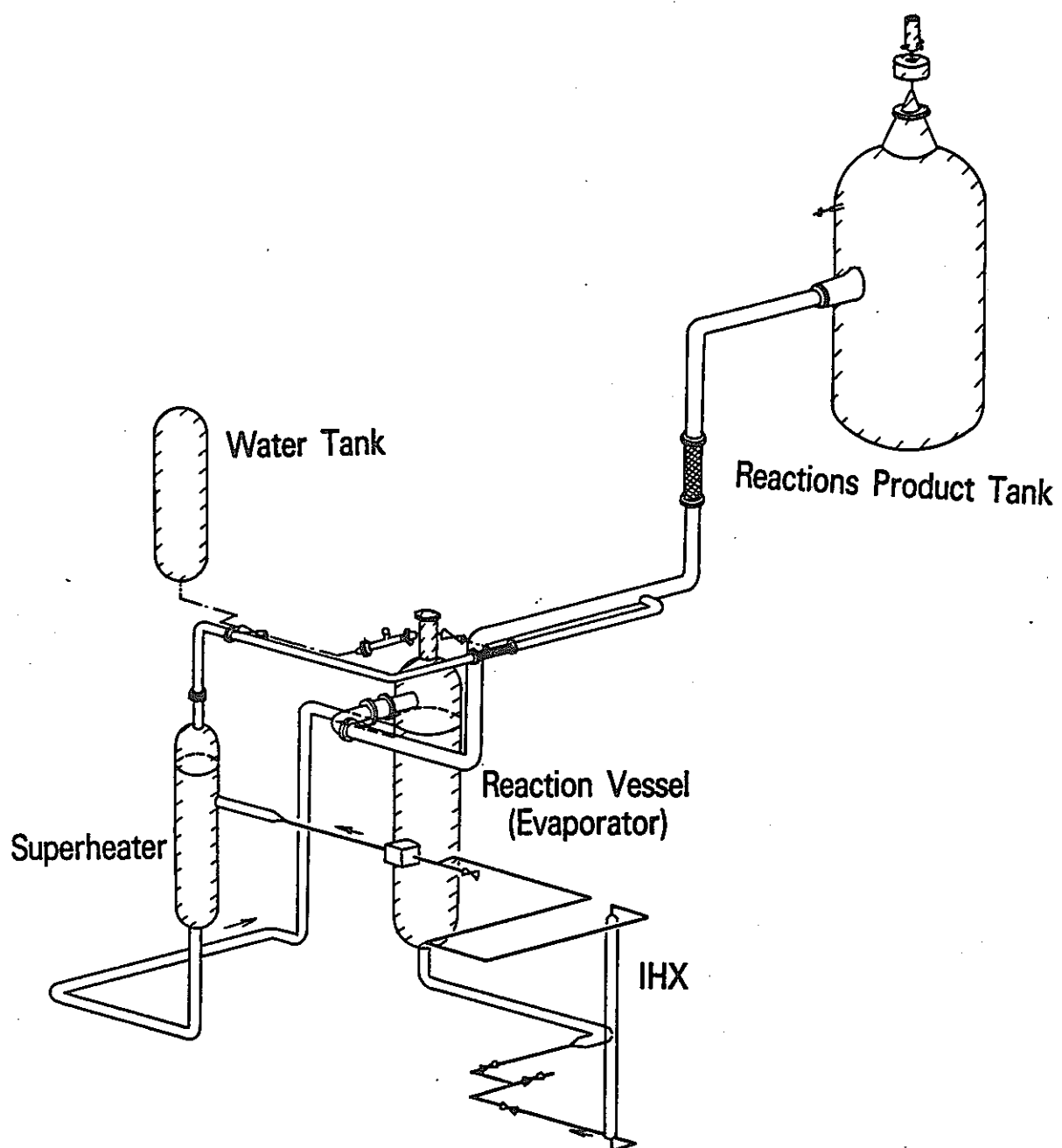


Fig 2.1-1 SWAT-3 試験装置

Layout of SWAT-3 Test Facility

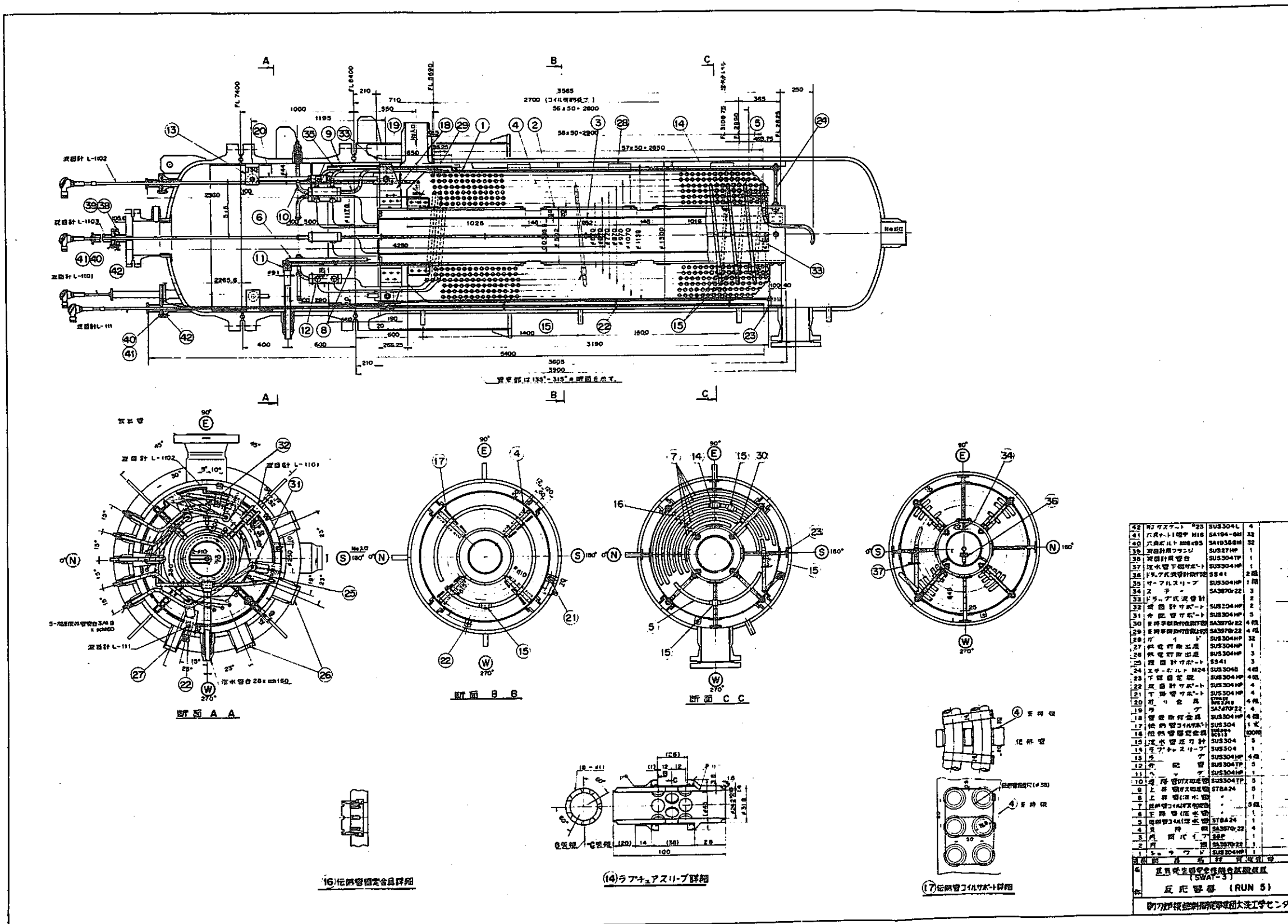


Fig. 2.1-2 Run-5 試験体組立図

Evaporator (Run 5)

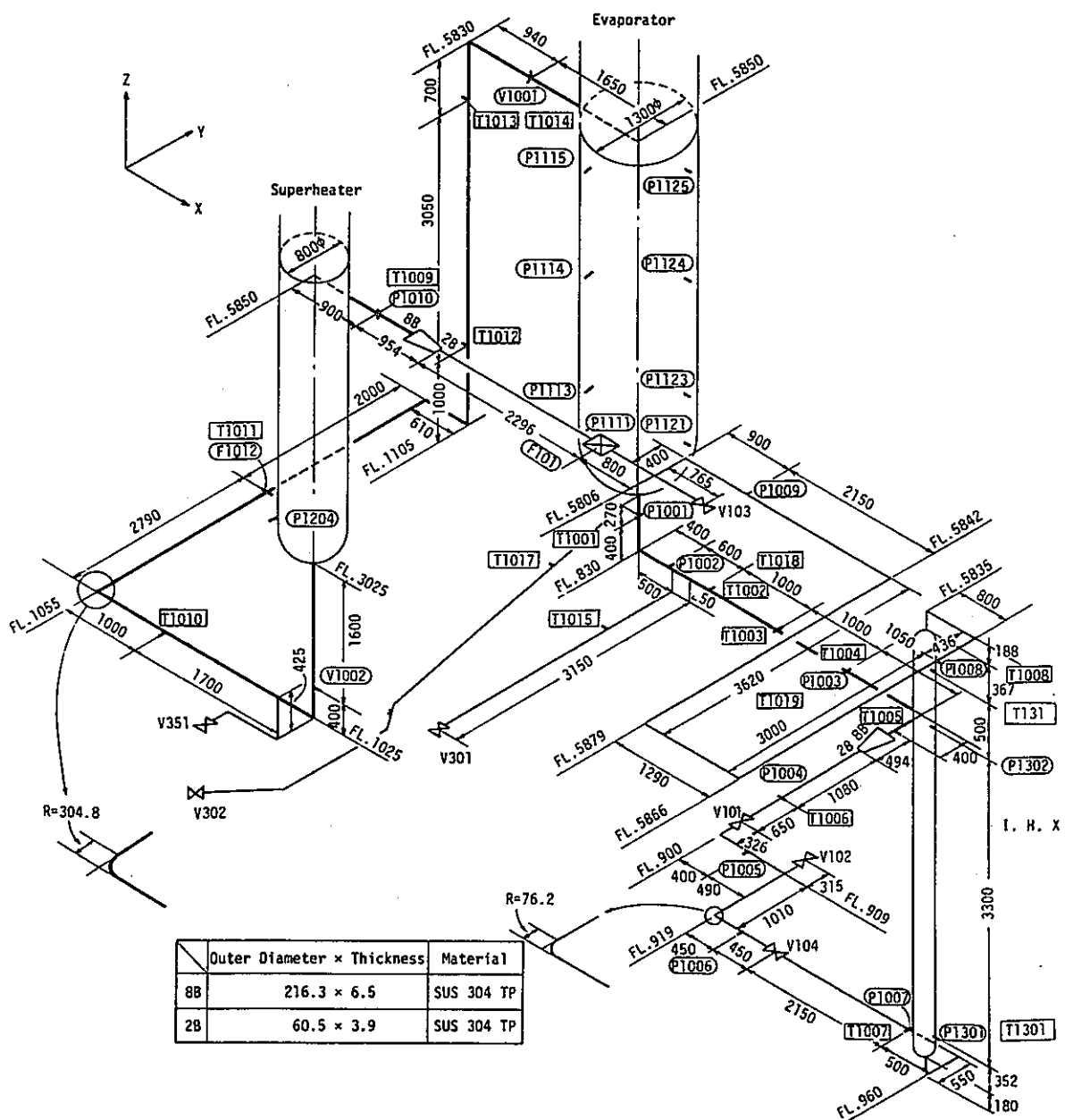


Fig. 2.1-3 Secondary Loop Circuit in SWAT-3

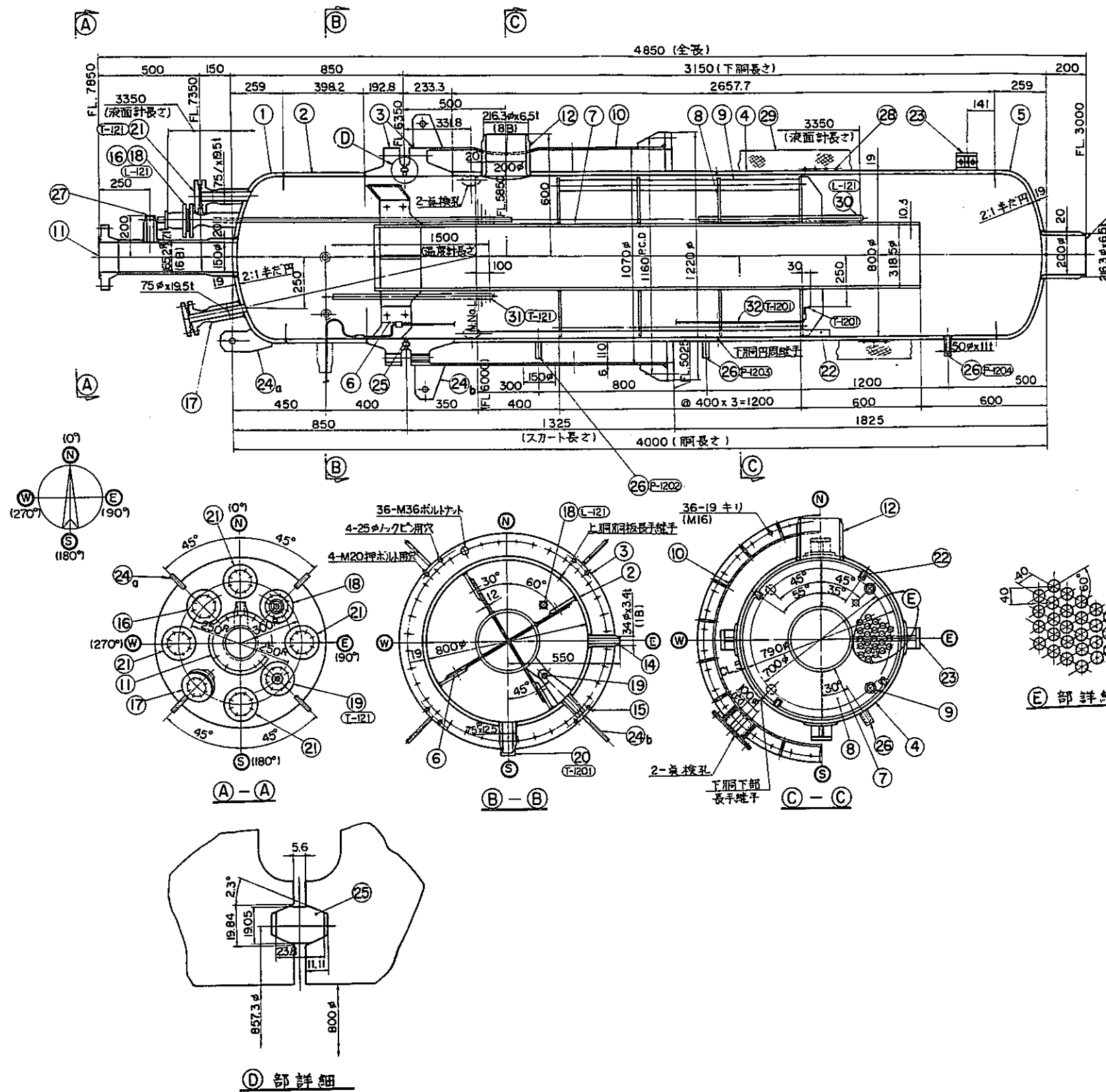
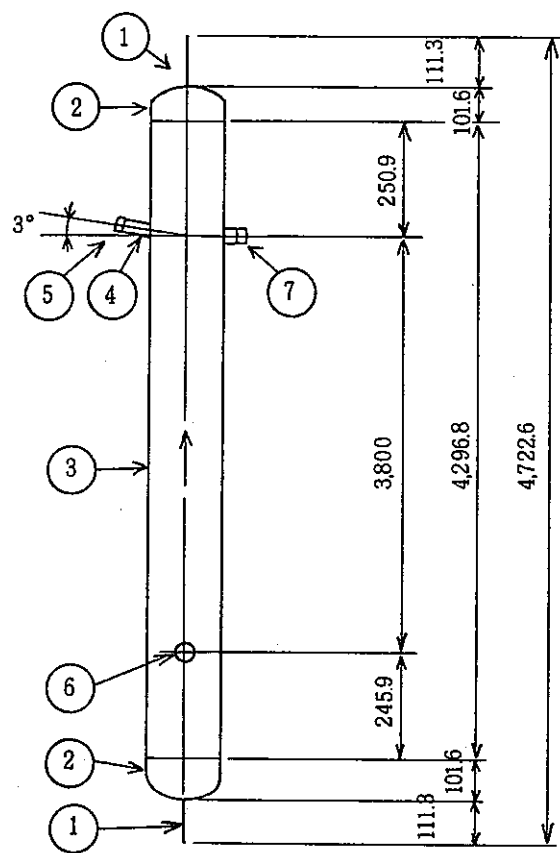


Fig. 2.1-4 模擬加熱器組立図

## Superheater

N-SH-13	板ばりパイプ管台	JIS SUS304B	1	
- - 12	エッジ圧延用座		3	(P-120)~(P-200)
- - 11	試験用予備座		4	
- - 10	壁面引抜き座		1	(T-120)
- - 09	温度計用座		1	(T-121)
- - 08	連続式液面計用座		1	(L-121)(分岐接続)
- - 07			1	(L-202)管支台
- - 06	連続式液面計用座		1	(L-120)
- - 05	カバーケース圧力計用座		1	(P-120) 18
- - 04	カバーケース入口管台	JIS SUS304B	1	1 B
- - 03	ナリウムエロ管台	JIS SUS304B 板厚 3.5mm	1	88
- - 02	ナリウム入口管台	JIS SUS304B 板厚 3.5mm	1	88
N-SH-01	放 出 管 台		1	68
管台番号	名 称	材 質	枚 数	備 考
管 台 一 寫 表				
32	ラス型壁面付	JIS SUS316	1 枚	(T-120)
31	ウェル型壁面付	JIS SUS316	1 枚	(T-121)
30	連続式液面計	JIS SUS304B	1 枚	(L-121)
29	保 温 材	ワッフル・フレックス ワッフル	0.38	
28	予燃焼シースヒーター	JIS SUS304	1 枚	
27	パイプ取出座	JIS SUS304B	1	板出し管台付 (28)
26	エンジン圧力計用座	JIS SUS304B	3	28相当 (E-120)~(E-122)
25	ガラス管取付 ガラス管取付スカート	JIS SUS304L JIS SUS304L	1	1 本体フランジ用
24	搬送用および吊り金具	JIS SUS304	6~8	
23	本体搬送用金具		4 枚	
22	内部搬送用内金具	JIS SUS304	4	
21	試験用予備座	JIS SUS304B	4	上部搬出付 (28底面)
20	壁面片取出座		1	上取付 (P-20)
19	温度計用座		1	上部搬出付 (T-121)
18	連続式液面計用座		1	(L-121)
17			1	(予燃焼)
16	連続式液面計用座		1	上部搬出付 (予燃焼)
15	カバーケース圧力計用座		1	上取付 (エッジ) 壁面
14	カバーケース入口管台	JIS SUS304B	1	上取付 (IB)
13	ナリウムエロ管台	JIS SUS304B	1	下部搬出付 (BB)
12	ナリウム入口管台		1	下取付 (BB)
11	放 出 管 台	JIS SUS304 板厚 3.5mm	1	上部搬出付 (BB)
10	本体支持スカート	JIS SUS304L 板厚 3.5mm	1 枚	
9	クイリード	JIS SUS304TP	12	
8	多 孔 板	JIS SUS304	4	
7	内 間 間	JIS SUS304TP	1	
6	内部搬送支持板	JIS SUS304	4	
5	下 部 鏡 板		1	
4	下 部 脚	JIS SUS304	1	
3	本 体 フランジ	JIS SUS304 板厚 3.5mm	1 枚	
2	上 部 鏡 板	JIS SUS304	1	
1	上 部 鏡 板	JIS SUS304	1	
品番	部 品 名	材 質	枚 数	備 考
名 称	蒸気発生器安全栓総合試験装置 (SWAT-3)			
	模擬過熱器、組立図			
	動力炉核燃料開発事業団大洗工学センター			



部 品 表	7	T 1301 温度計用座	SUS 304 TP	1	0.3			
	6	T 131 温度計用座		1	0.3			
	5	P 1302 壓力計用座		1	0.2			
	4	P 1302 壓力計取付管		1	0.6			
	3	8B × S/40 × 42968	SUS 304 TP	1	144.4			
	2	8B × S/40 キャップ	SUS 304 相当	2	8.1	(JIS-B-2305)		
	1	2B × S/40 × 120	SUS 304 TP	2	1.4			
	MLC	品名・寸法	材質	個数	重量	引当番号		合計重量

Fig. 2.1-5 中間熱交換器

IHX

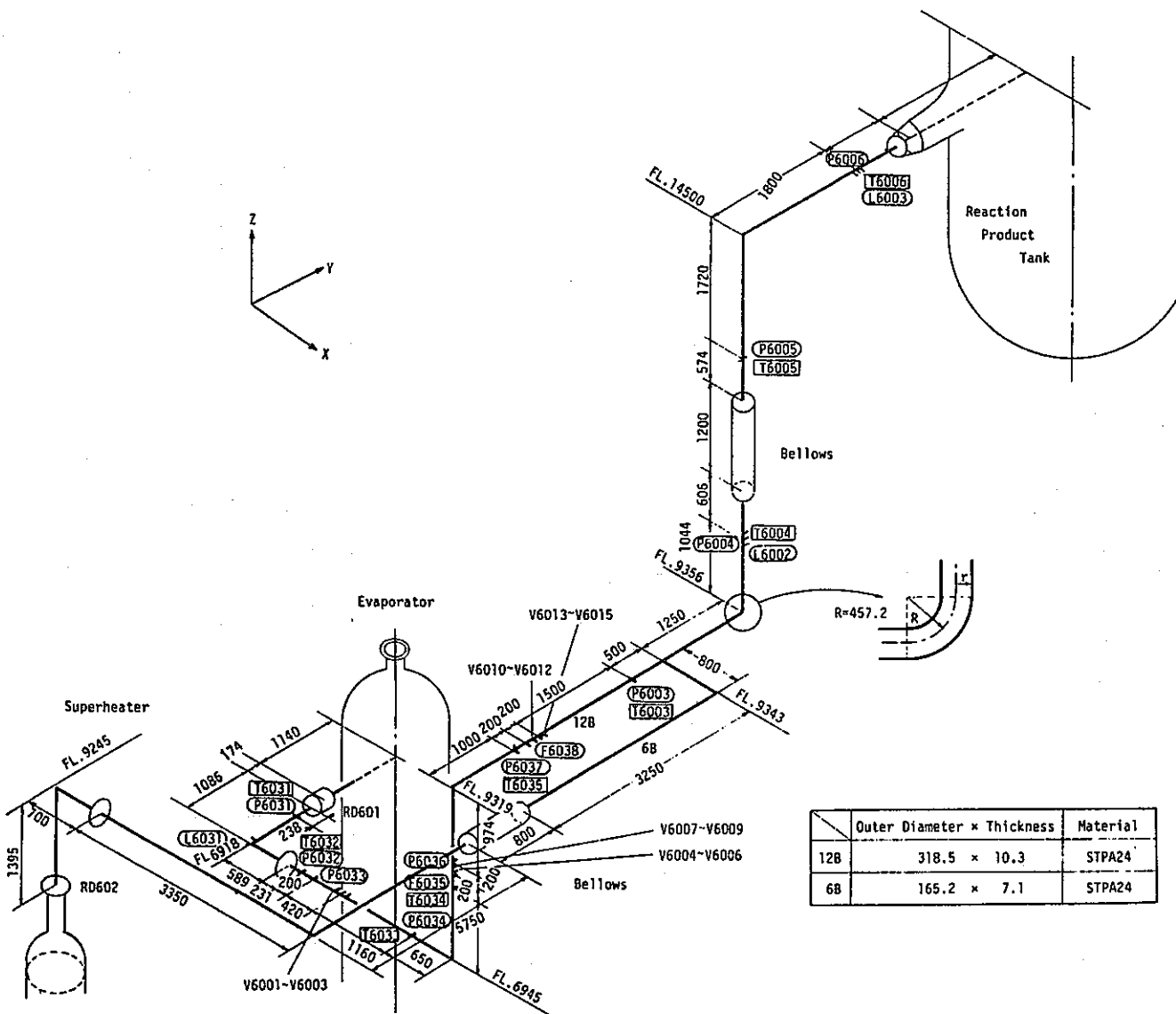


Fig. 2.1-6 Instrumentation Locations in Pressure Relief Line

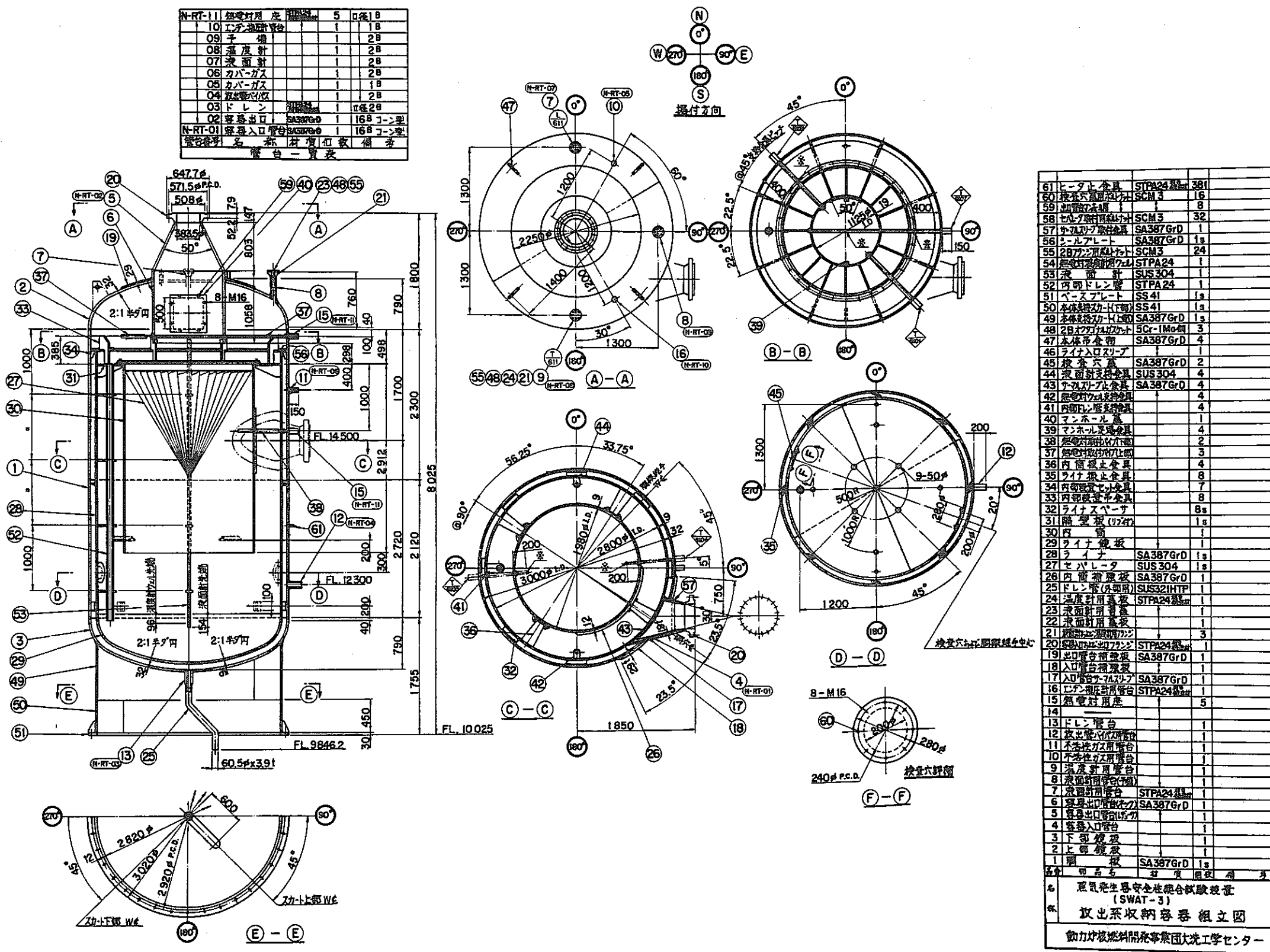


Fig. 2.1-7 放出系収納容器組立図

Reaction Product Tank

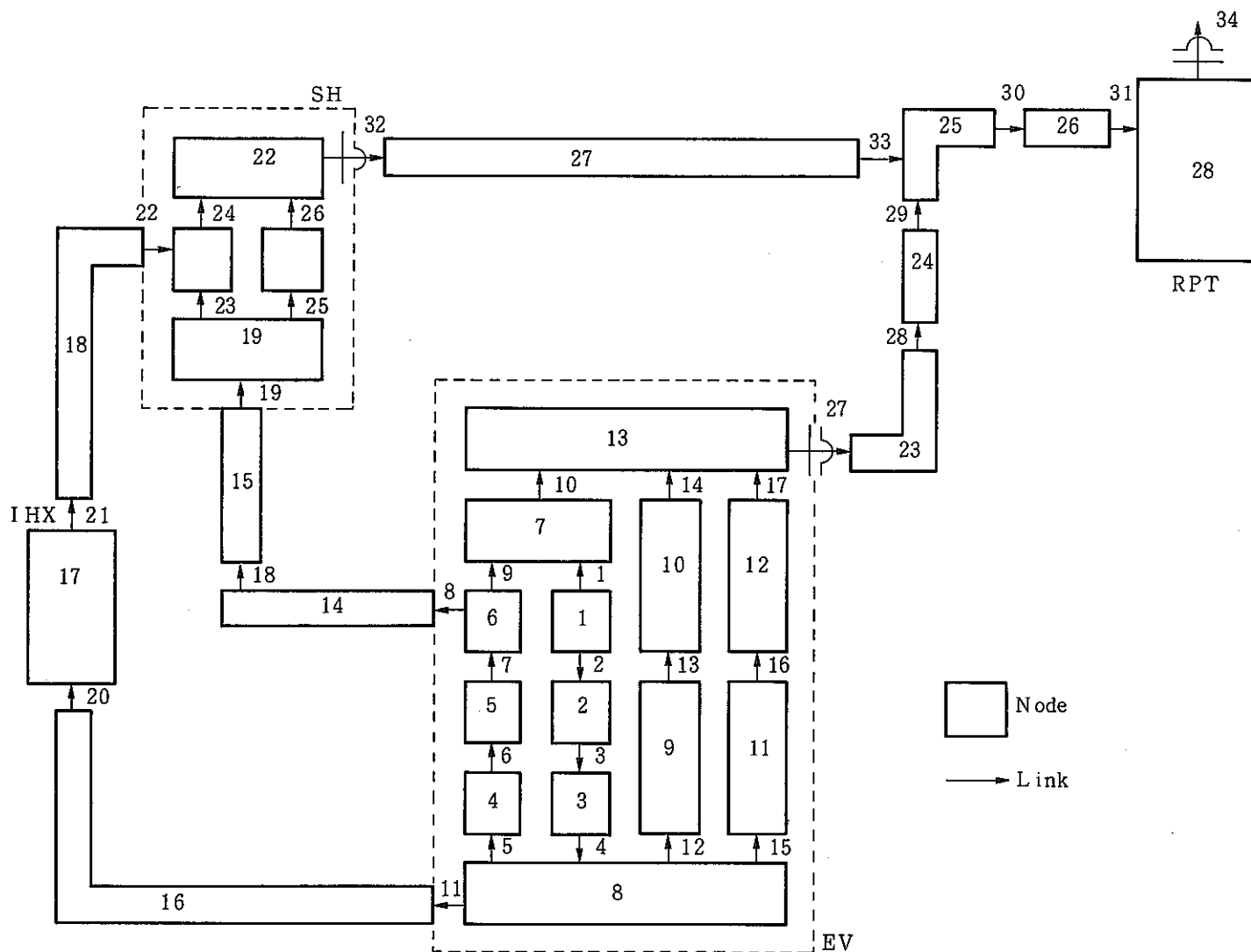


図3.1-1 SWAT-3, Run-4 実験解析モデル

Network Model for SWAT-3 Run-4 Analysis

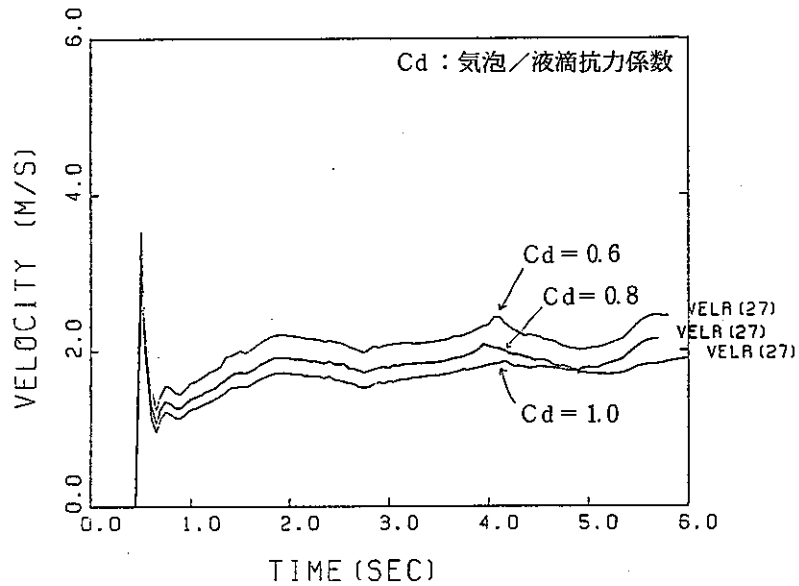


図 3.1-2 気液相対速度の気泡／液滴抗力係数の依存性（リンク 27）- Hirt のモデル  
 Sensitivity Study of Bubble/Droplet Drag Coefficient on Relative Velocity (Link 27) - Hirt's Model

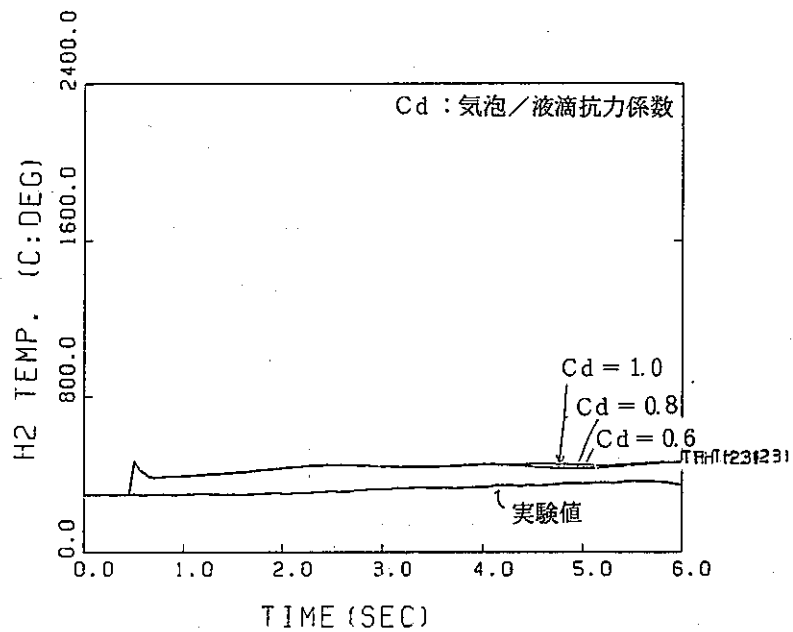


図 3.1-3 水素ガス温度の気泡／液滴抗力係数の依存性（ノード 23）- Hirt のモデル  
 Sensitivity Study of Bubble/Droplet Drag Coefficient on Hydrogen Temperature (Node 23) - Hirt's Model

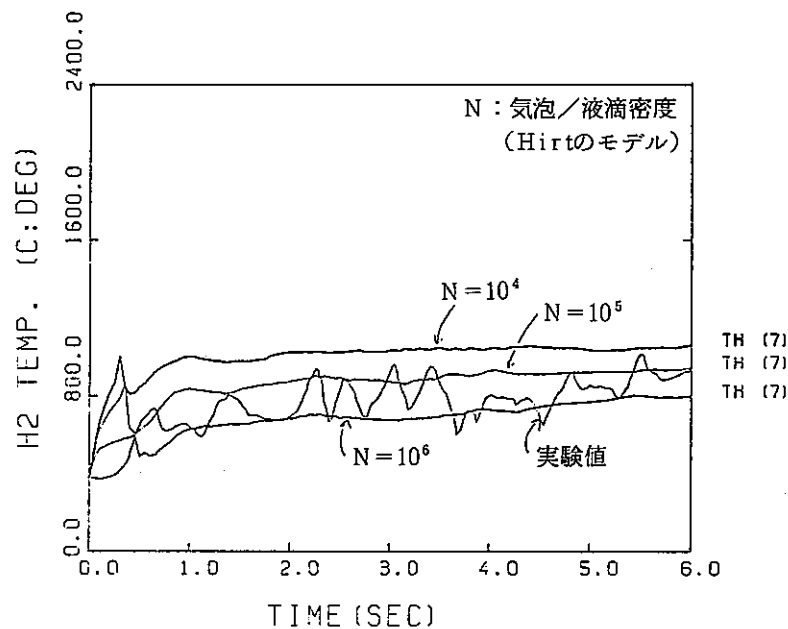


図 3.1-4 水素ガス温度の気泡／液滴密度の依存性（ノード 7）－Hirtのモデル  
Sensitivity Study of Bubble/Droplet Density on  
Hydrogen Temperature (Node 7) - Hirt's Model

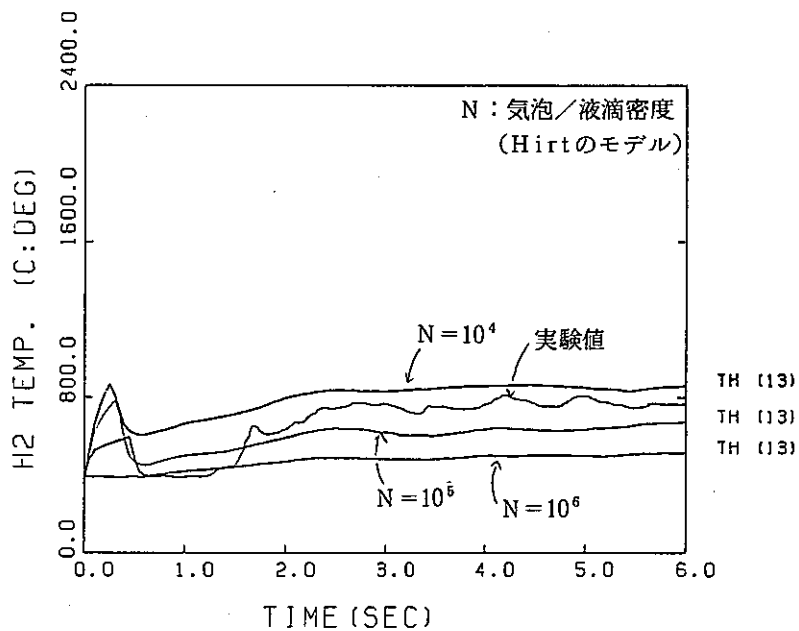


図 3.1-5 水素ガス温度の気泡／液滴密度の依存性（ノード 13）－Hirt のモデル  
Sensitivity Study of Bubble/Droplet Density on  
Hydrogen Temperature (Node 13) - Hirt's Model

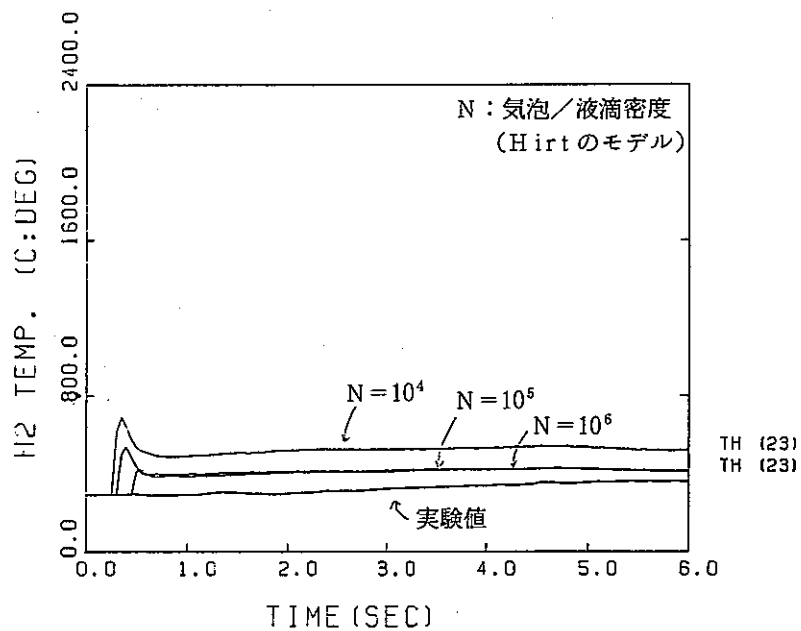


図 3.1-6 水素ガス温度の気泡／液滴密度の依存性（ノード 23）－Hirt のモデル  
Sensitivity Study of Bubble/Droplet Density on  
Hydrogen Temperature (Node 23) - Hirt's Model

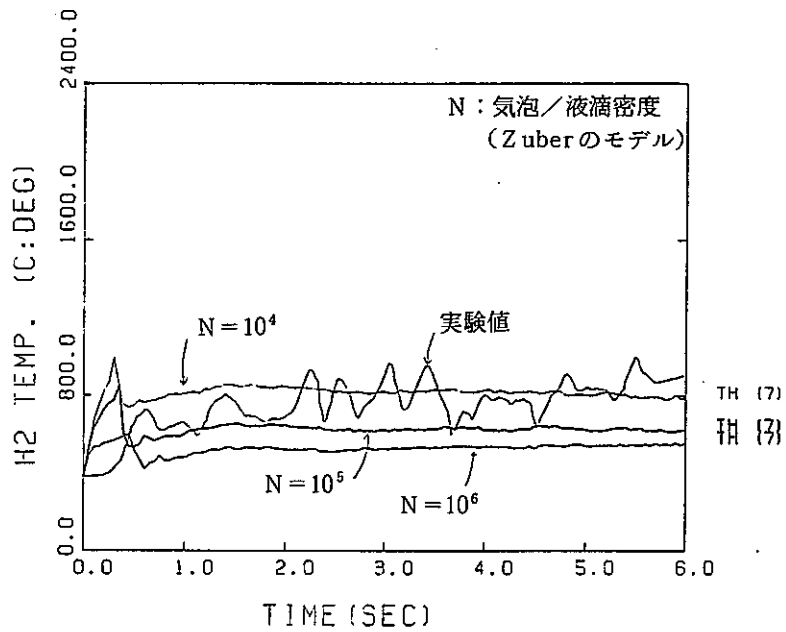


図 3.1-7 水素ガス温度の気泡／液滴密度の依存性（ノード 7）－Zuber のモデル  
Sensitivity Study of Bubble/Droplet Density on  
Hydrogen Temperature (Node 7) - Zuber's Model

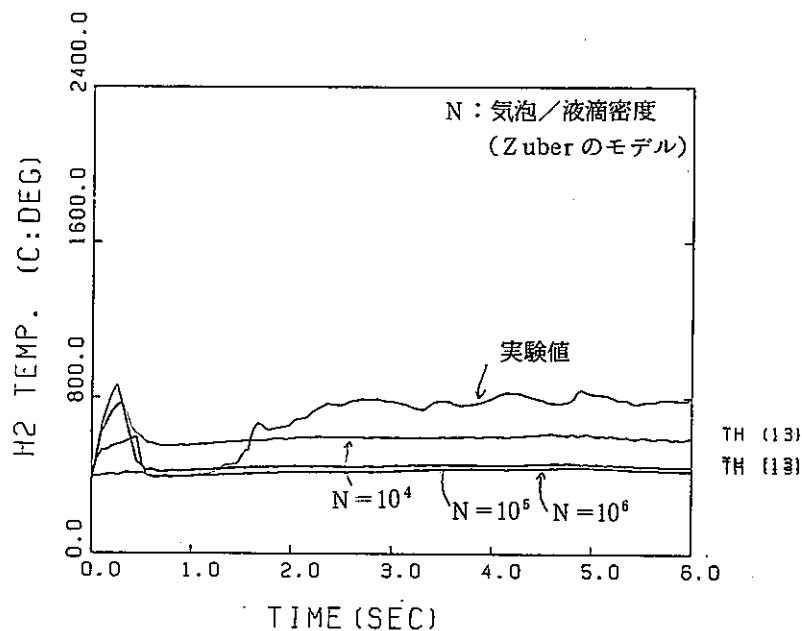


図 3.1-8 水素ガス温度の気泡／液滴密度の依存性（ノード 13）－Zuberのモデル  
Sensitivity Study of Bubble/Droplet Density on  
Hydrogen Temperature (Node 13) - Zuber's Model

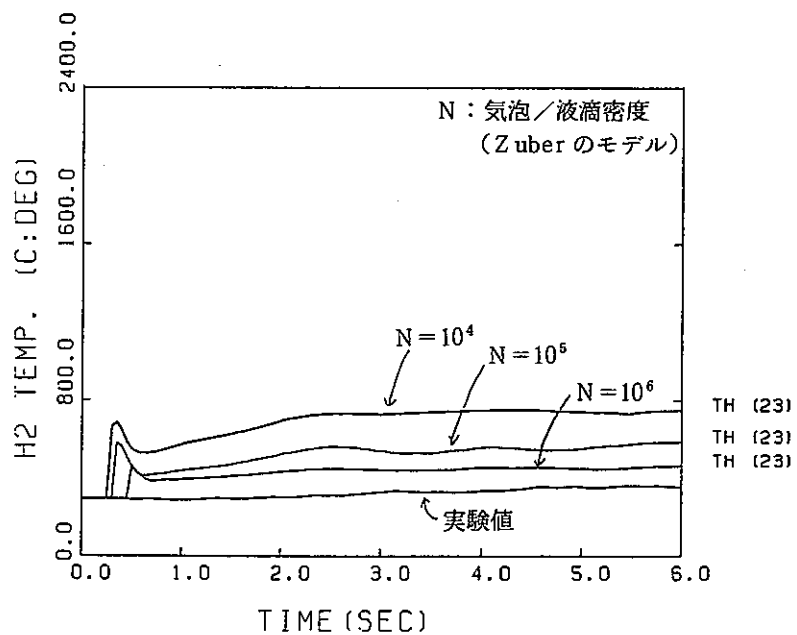


図 3.1-9 水素ガス温度の気泡／液滴密度の依存性（ノード 23）－Zuberのモデル  
Sensitivity Study of Bubble/Droplet Density on  
Hydrogen Temperature (Node 23) - Zuber's Model

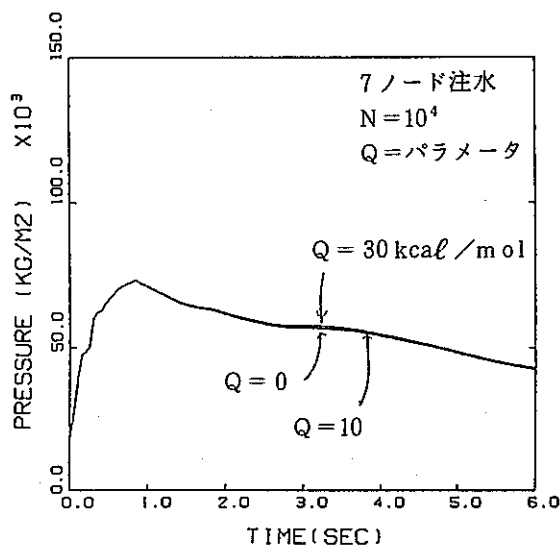


図 3.1-10 蒸発器カバーガス部圧力

Sensitivity Study of Reaction Heat on  
 Evaporator Cover Gas Pressure

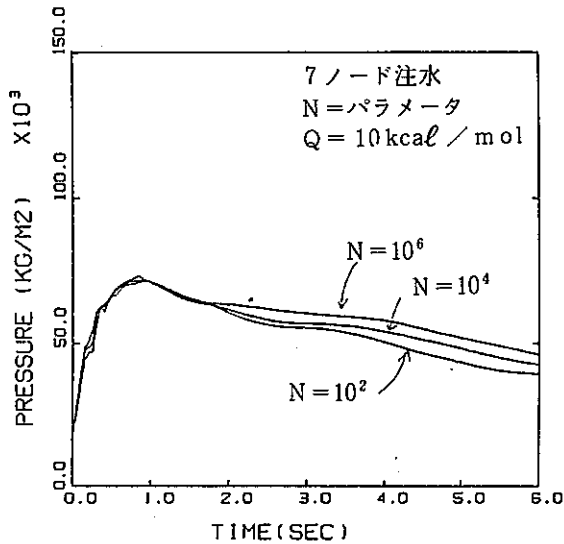


図 3.1-11 蒸発器カバーガス部圧力

Sensitivity Study of Bubble/Droplet Density  
 on Evaporator Cover Gas Pressure

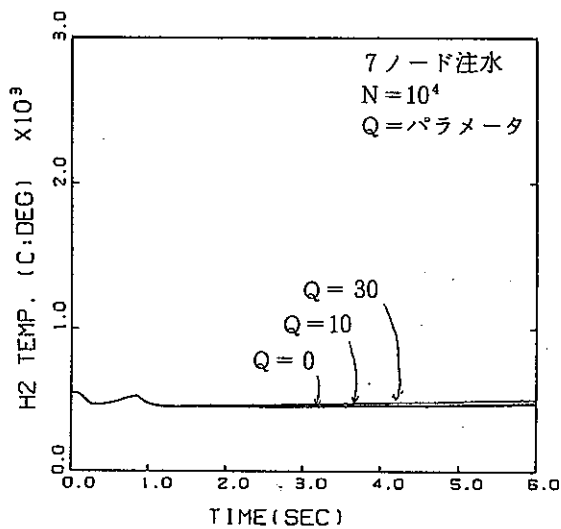


図 3.1-12 蒸発器カバーガス部水素ガス温度

Sensitivity Study of Reaction Heat on Hydrogen Temperature of EV Cover Gas

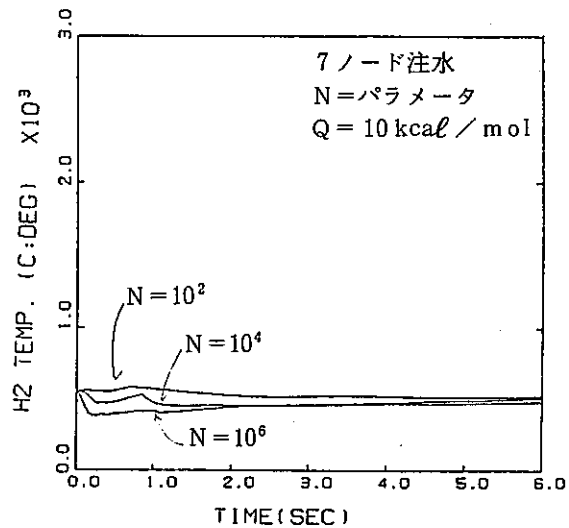


図 3.1-13 蒸発器カバーガス部水素ガス温度

Sensitivity Study of Bubble/Droplet Density on Hydrogen Temperature of EV Cover Gas

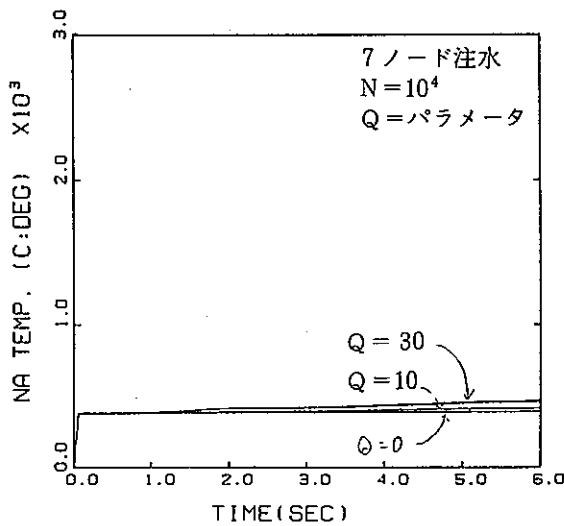


図 3.1-14 蒸発器カバーガス部ナトリウム温度

Sensitivity Study of Reaction Heat on Sodium Temperature of EV Cover Gas

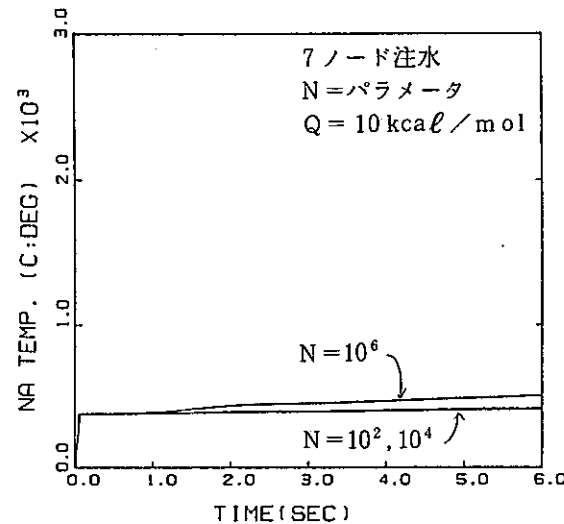


図 3.1-15 蒸発器カバーガス部ナトリウム温度

Sensitivity Study of Bubble/Droplet Density on Sodium Temperature of EV Cover Gas

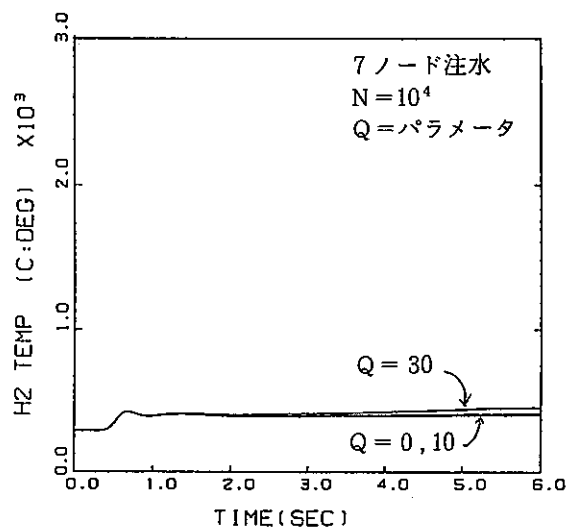


図 3.1-16 放出系配管水素ガス温度

Sensitivity Study of Reaction Heat on  
Hydrogen Temperature of Pressure Relief Line

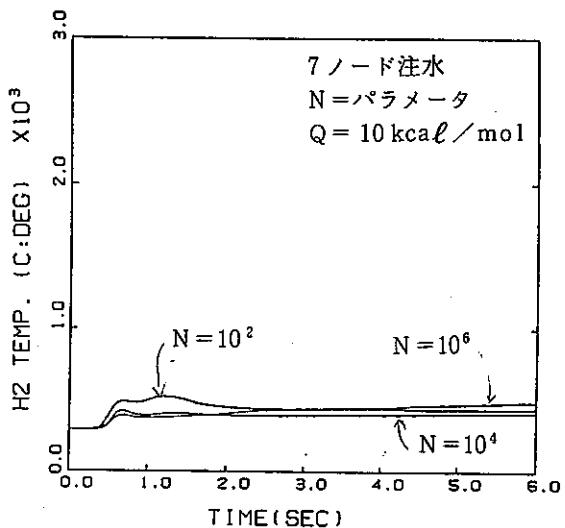


図 3.1-17 放出系配管水素ガス温度

Sensitivity Study of Bubble/Droplet Density  
on Hydrogen Temperature of Pressure Relief Line

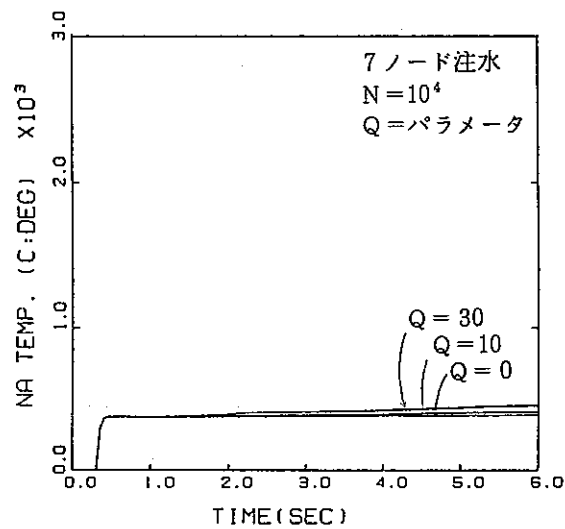


図 3.1-18 放出系配管ナトリウム温度

Sensitivity Study of Reaction Heat on Sodium Temperature of Pressure Relief Line

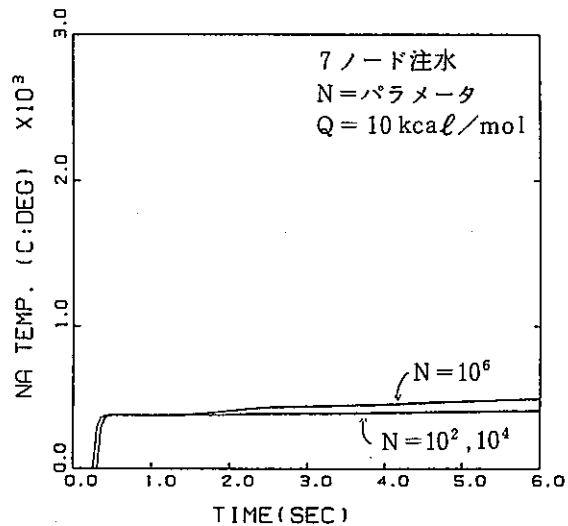


図 3.1-19 放出系配管ナトリウム温度

Sensitivity Study of Bubble/Droplet Density on Sodium Temperature of Evaporator Cover Gas

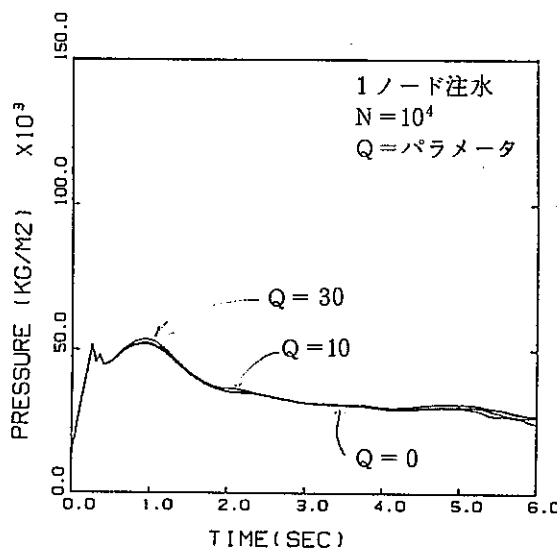


図 3.1-20 蒸発器カバーガス部圧力

Sensitivity Study of Reaction Heat on  
Evaporator Cover Gas Pressure

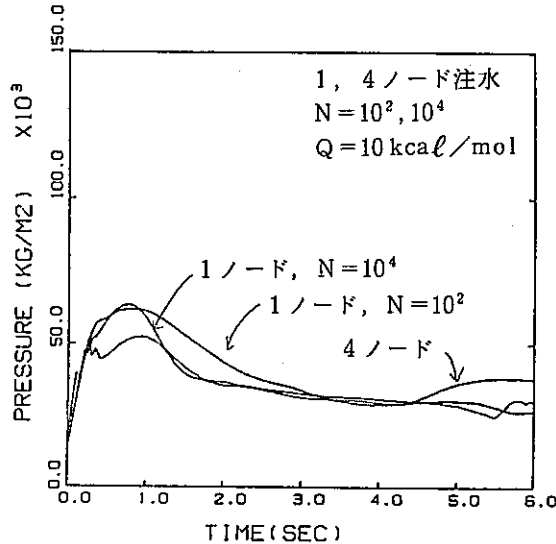


図 3.1-21 蒸発器カバーガス部圧力

Sensitivity Study of Bubble/Droplet Density  
on Evaporator Cover Gas Pressure

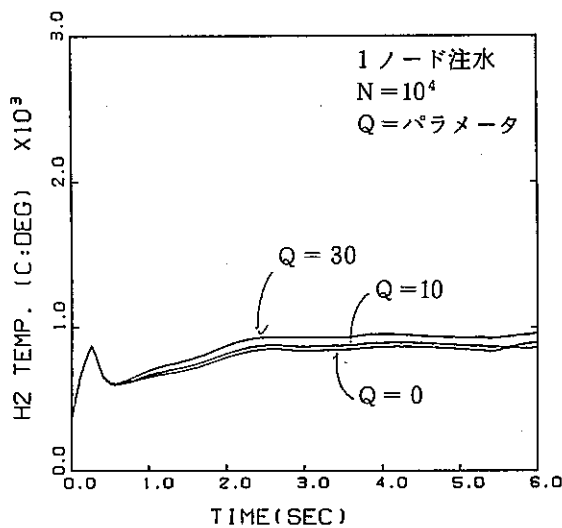


図 3.1-22 蒸発器カバーガス部水素ガス温度  
Sensitivity Study of Reaction Heat on Evaporator Cover Gas Pressure

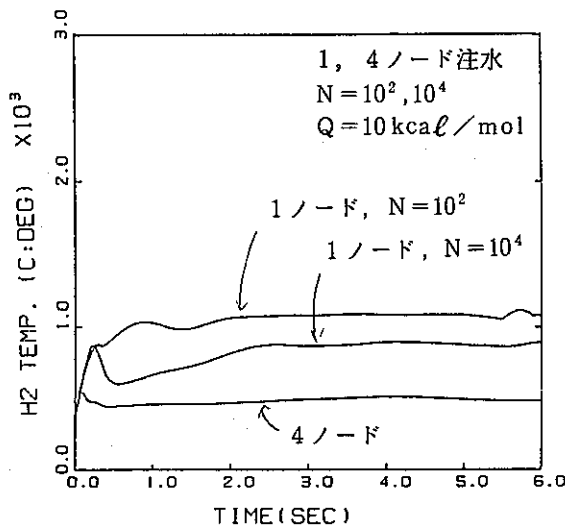


図 3.1-23 蒸発器カバーガス部水素ガス温度  
Sensitivity Study of Reaction Heat on Hydrogen Temperature of Evaporator Cover Gas

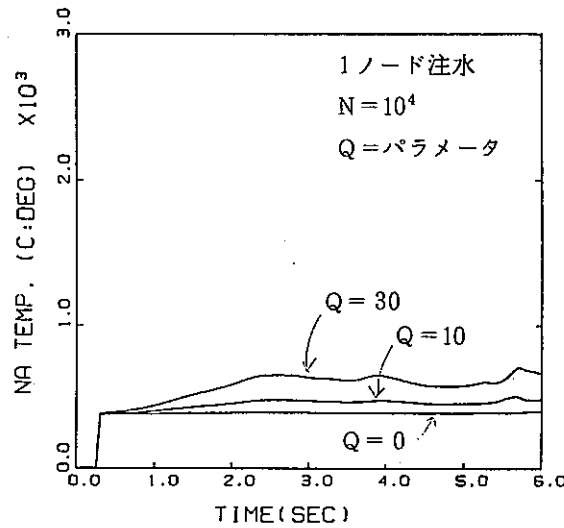


図 3.1-24 蒸発器カバーガス部ナトリウム温度

Sensitivity Study of Reaction Heat of Sodium  
Temperature of Evaporator Cover Gas

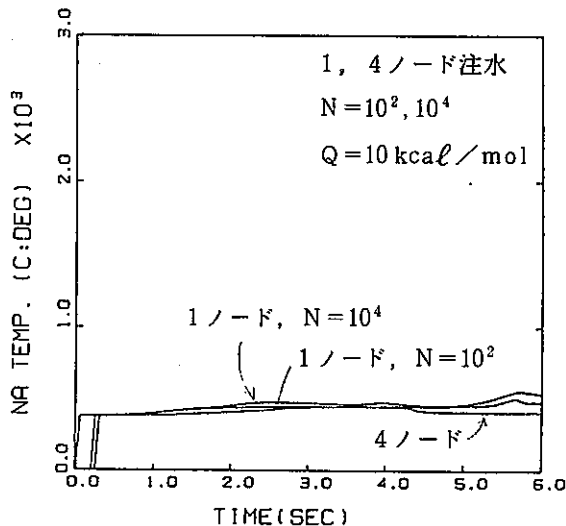


図 3.1-25 蒸発器カバーガス部ナトリウム温度

Sensitivity Study of Bubble/Droplet Density  
on Sodium Temperature of Evaporator Cover Gas

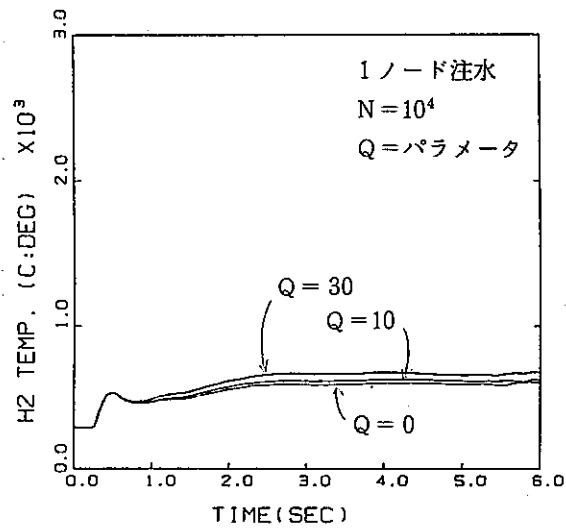


図 3.1-26 放出系配管水素ガス温度

Sensitivity Study of Reaction Heat on Hydrogen Temperature of Pressure Relief Line

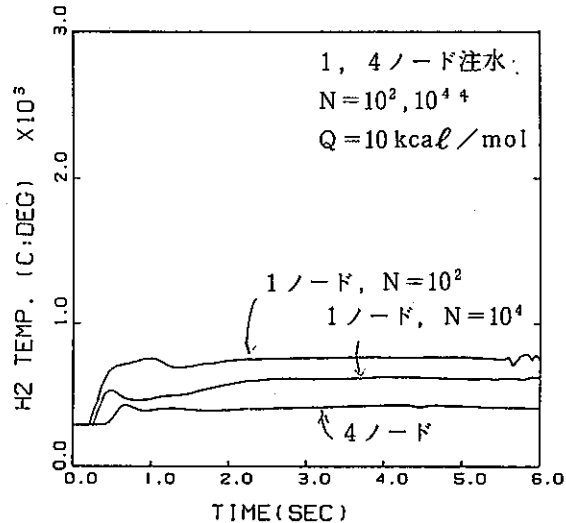


図 3.1-27 放出系配管水素ガス温度

Sensitivity Study of Bubble/Droplet Density on Hydrogen Temperature of Pressure Relief Line

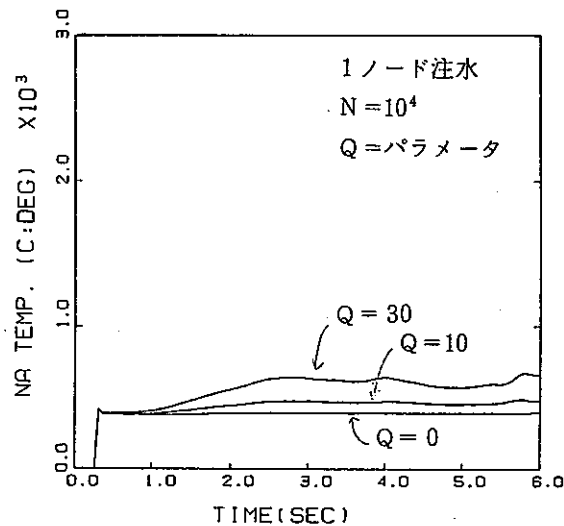


図 3.1-28 放出系配管ナトリウム温度

Sensitivity Study of Reaction Heat on Sodium Temperature of Pressure Relief Line

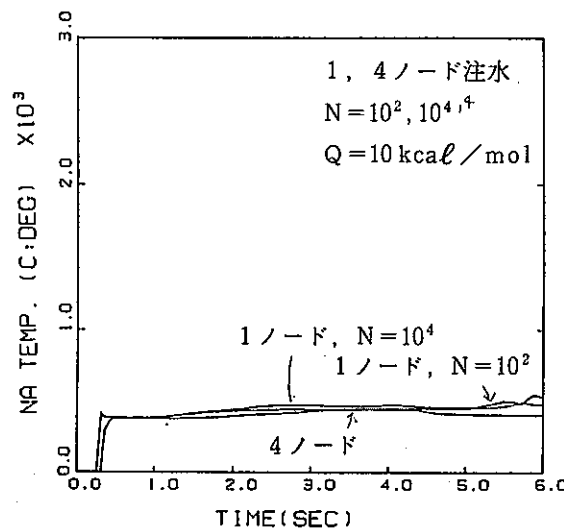


図 3.1-29 放出系配管ナトリウム温度

Sensitivity Study of Bubble/Droplet Density on Sodium Temperature of Pressure Relief Line

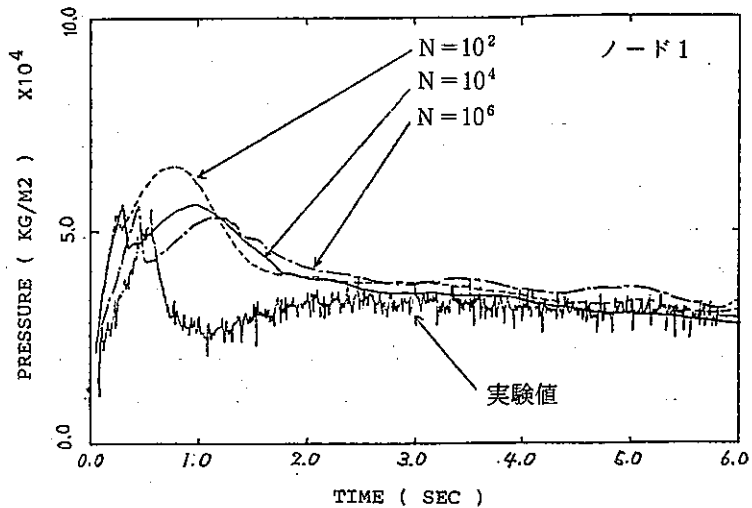


図 3.1-30 注水点の圧力

Comparison between Measurement in Run-4 Test and Calculations by SWAC-13E (Water Injection Point).

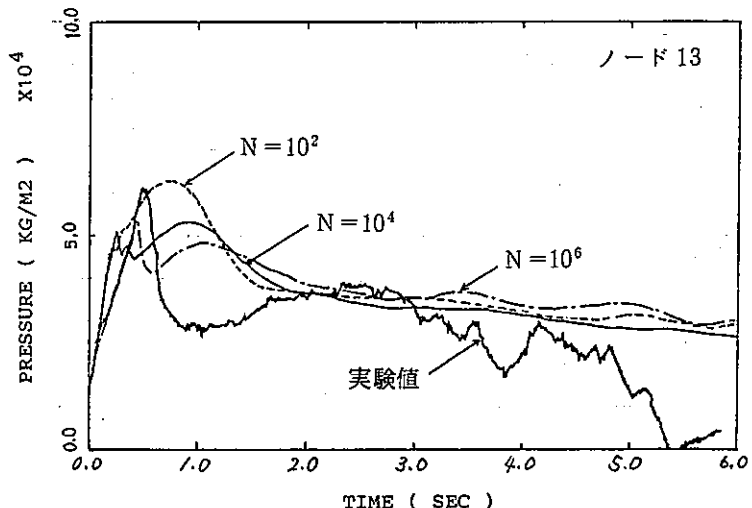


図 3.1-31 蒸発器カバーガス圧力

Comparison between Measurement in Run-4 Test and Calculations by SWAC-13E (Cover-Gas of Evaporator).

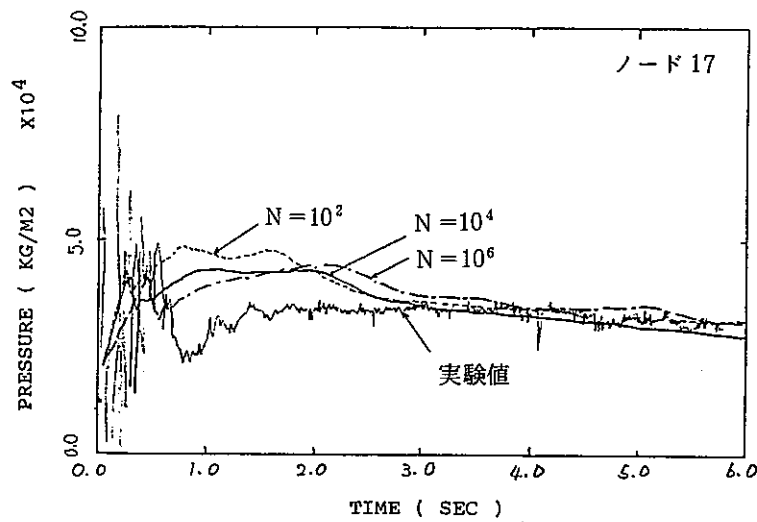


図 3.1-32 IHX圧力

Comparison between Measurement in Run-4 Test and Calculations by SWAC-13E (IHX).

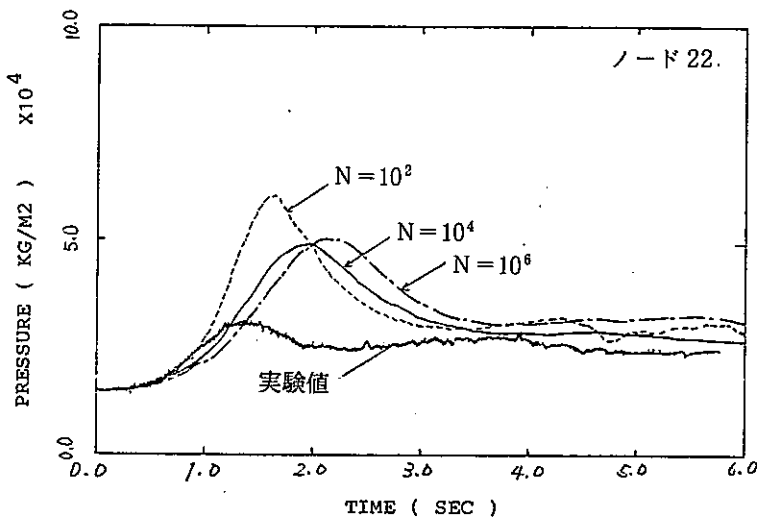


図 3.1-33 過熱器カバーガス圧力

Comparison between Measurement in Run-4 Test and Calculations by SWAC-13E (Superheater).

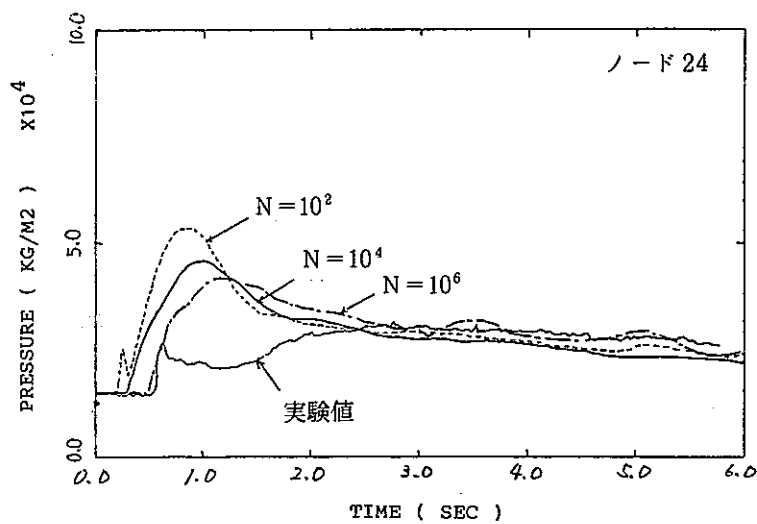


図 3.1-34 放出系配管圧力

Comparison between Measurement in Run-4 Test and Calculations by SWAC-13E (Pressure Relief Piping).

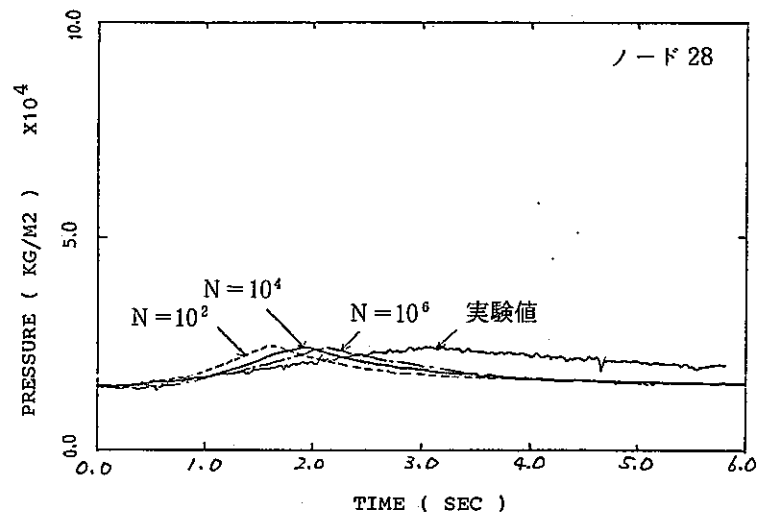


図 3.1-35 反応生成物収納容器圧力

Comparison between Measurement in Run-4 Test and Calculations by SWAC-13E (Reaction Product Tank).

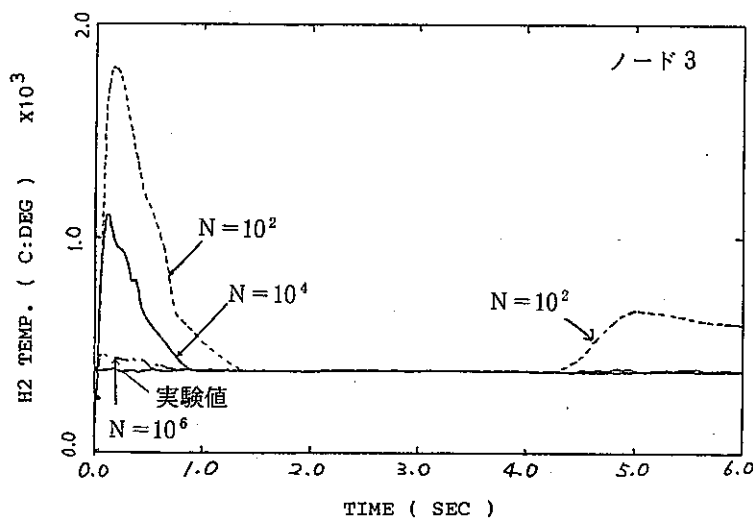


図 3.1-36 注水点下部水素ガス圧力

Comparison between Measurement in Run-4 Test and Calculations by SWAC-13E (Lower Part of Water Injection Point).

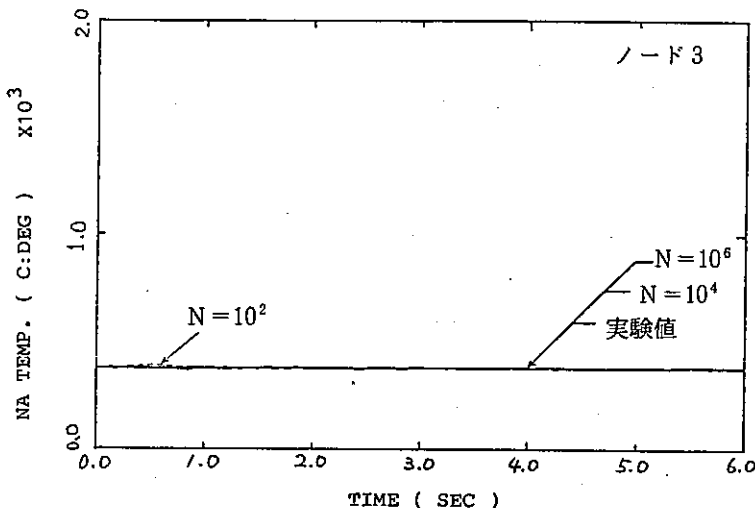


図 3.1-37 注水点下部ナトリウム温度

Comparison between Measurement in Run-4 Test and Calculations by SWAC-13E (Lower Part of Water Injection Point).

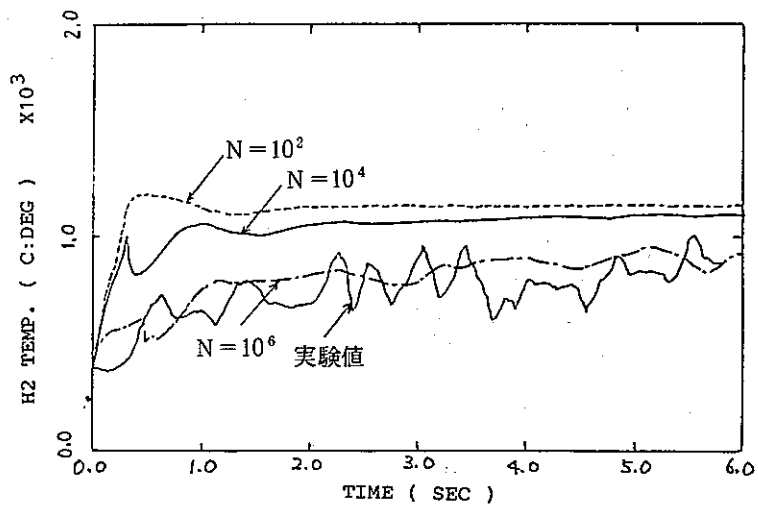


図 3.1-38 注水点上部水素ガス温度

Comparison between Measurement in Run-4 Test and Calculations by SWAC-13E (Upper Part of Water Injection Point).

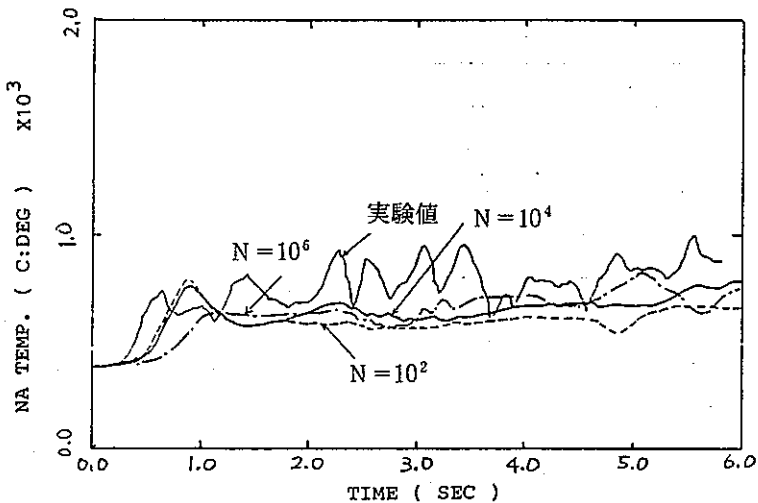


図 3.1-39 注水点上部ナトリウム温度

Comparison between Measurement in Run-4 Test and Calculations by SWAC-13E (Upper part of Water Injection Point).

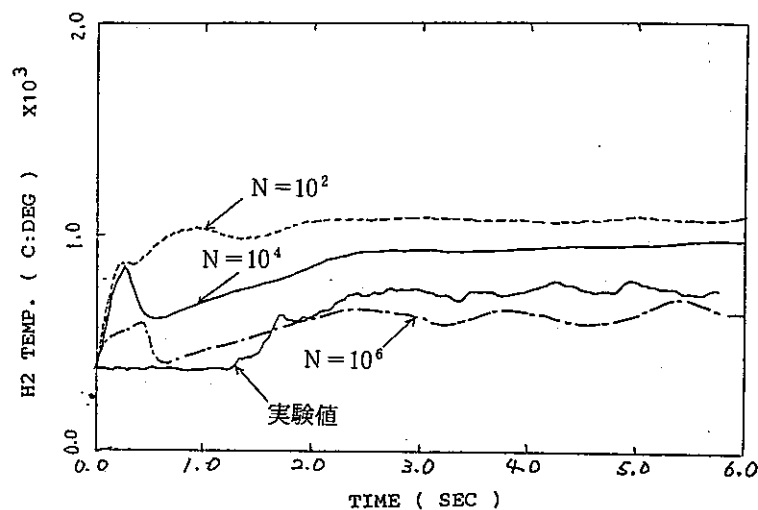


図 3.1-40 蒸発器カバーガス部水素ガス温度

Comparison between Measurement in Run-4 Test and Calculations by SWAC-13E (Cover-Gas of Evaporator).

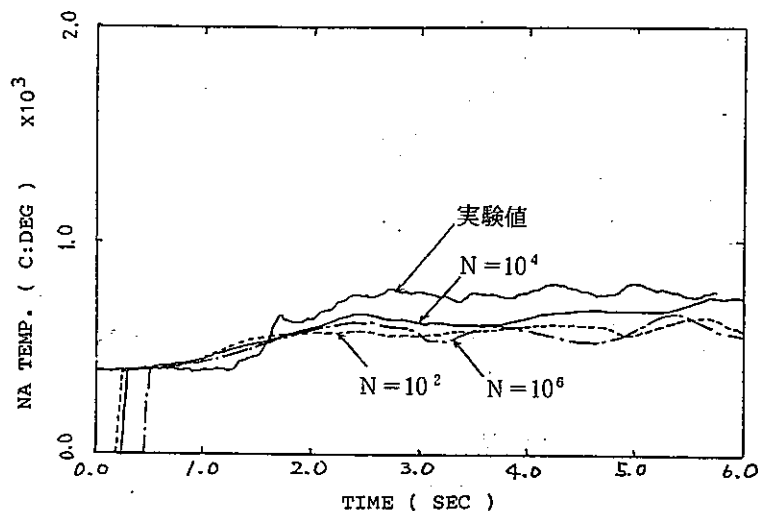


図 3.1-41 蒸発器カバーガス部ナトリウム温度

Comparison between Measurement in Run-4 Test and Calculations by SWAC-13E (Cover-Gas of Evaporator).

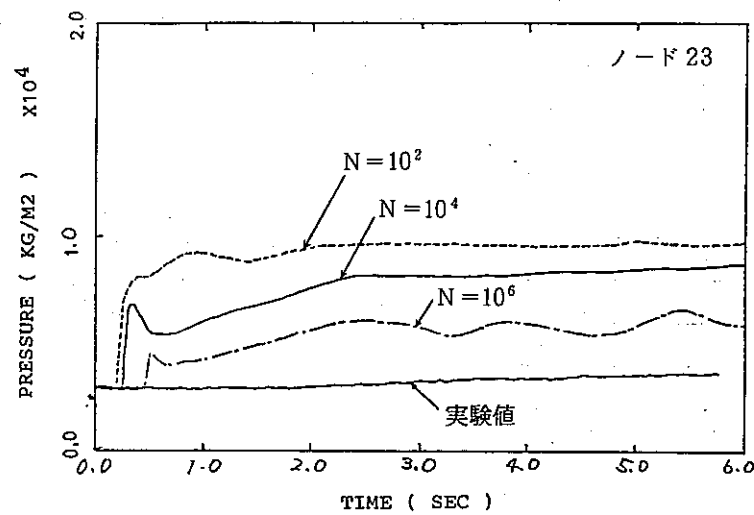


図 3.1-42 放出系配管水素ガス温度

Comparison between Measurement in Run-4 Test and Calculations by SWAC-13E (Pressure Relief Piping).

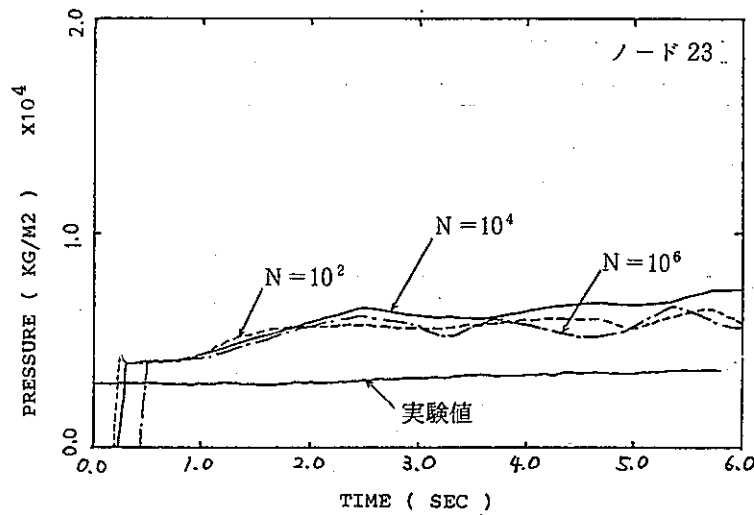


図 3.1-43 放出系配管ナトリウム温度

Comparison between Measurement in Run-4 Test and Calculations by SWAC-13E (Pressure Relief Piping).

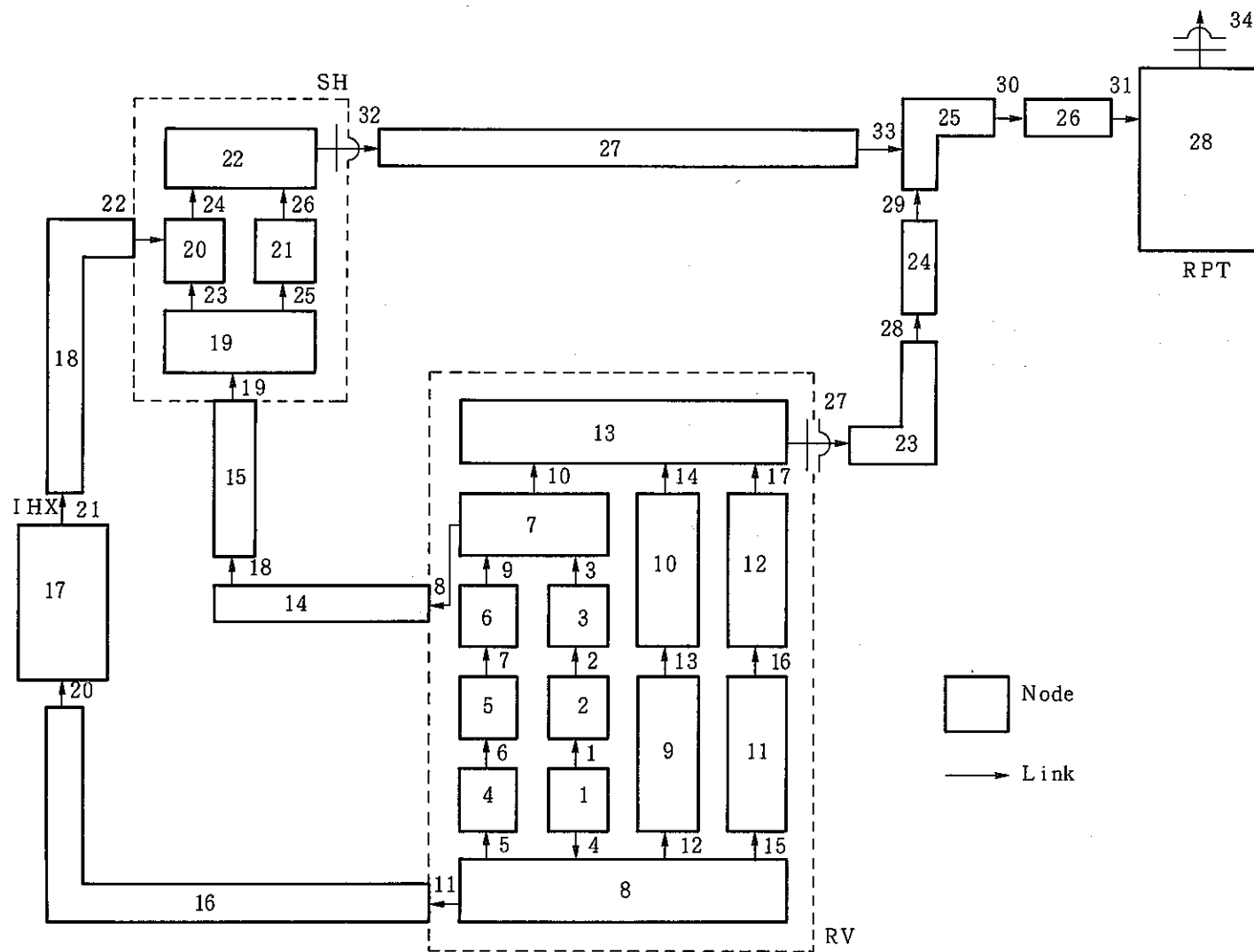


図 3.2-1 Run-5 解析モデル図

Network Model for SWAT-3 Run-5 Analysis

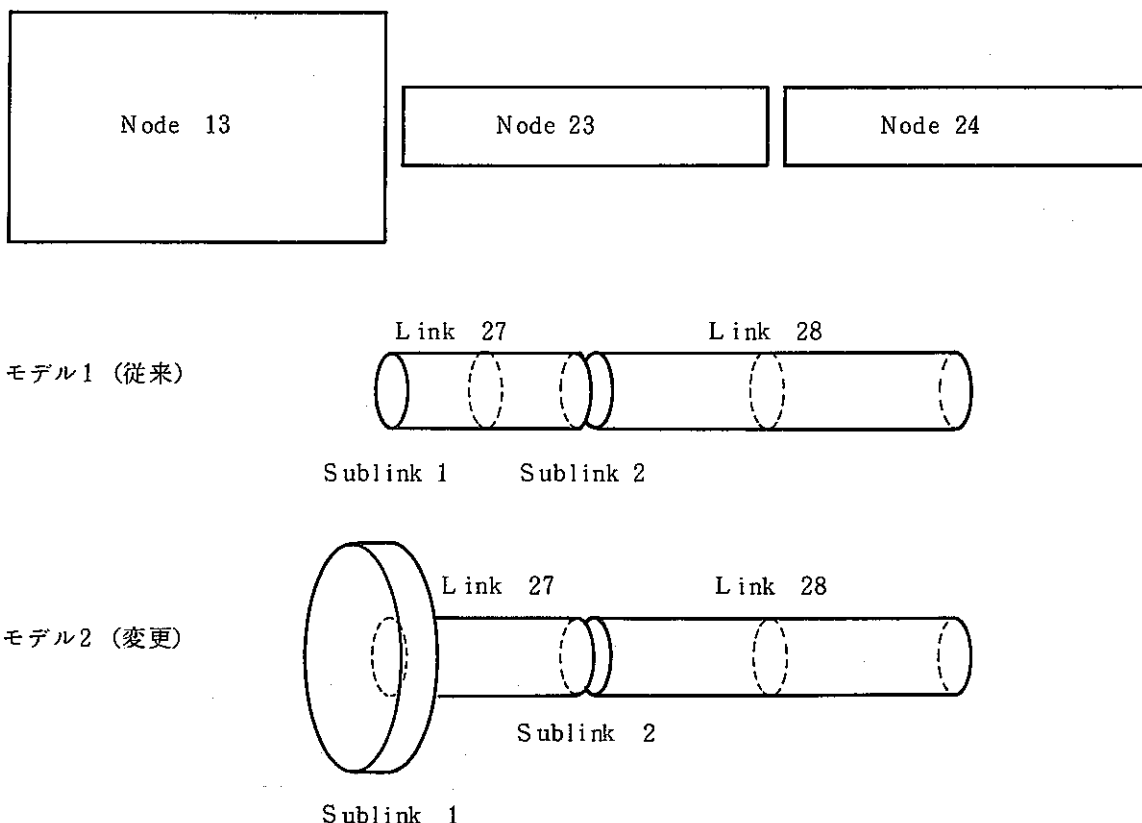


図3.2-2 EVカバーガス放出系配管リンクモデル

Link Model between EV Cover Gas and Relief Line

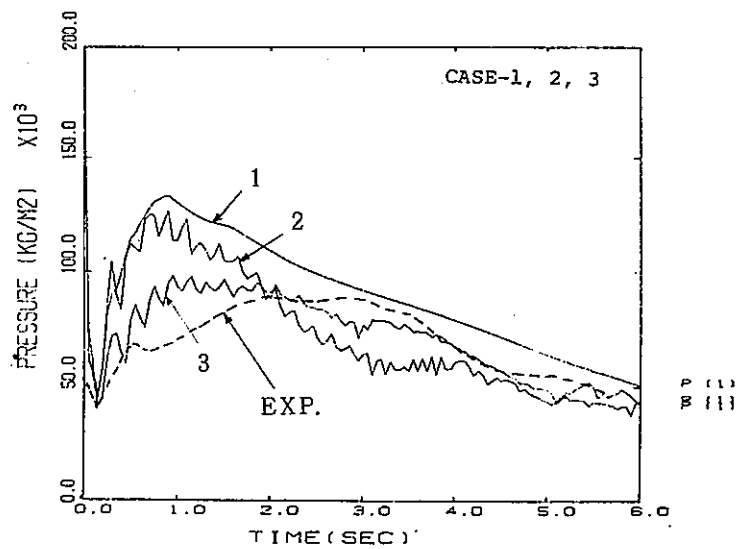


図 3.2-3 反応部圧力

Comparison between Measurement and Calculations by SWAC-13E Run-5 Test (Reaction Zone Pressure)

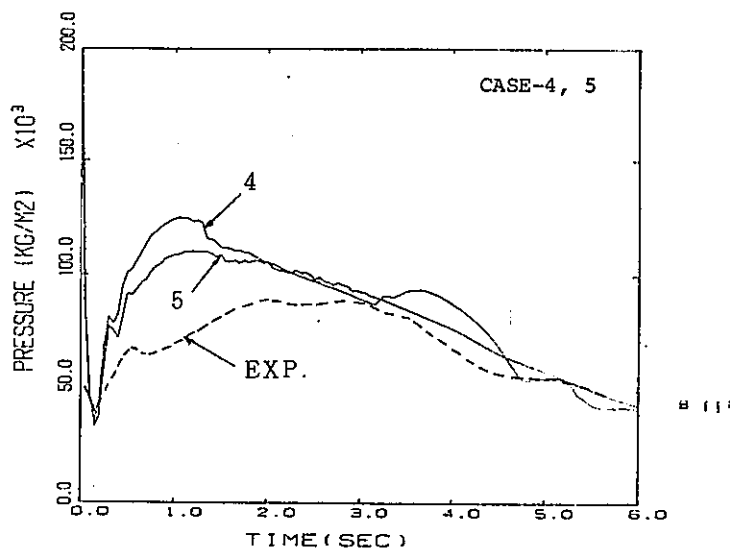


図 3.2-4 反応部圧力

Comparison between Measurement and Calculations by SWAC 13E Run-5 Test (Reaction Zone Pressure)

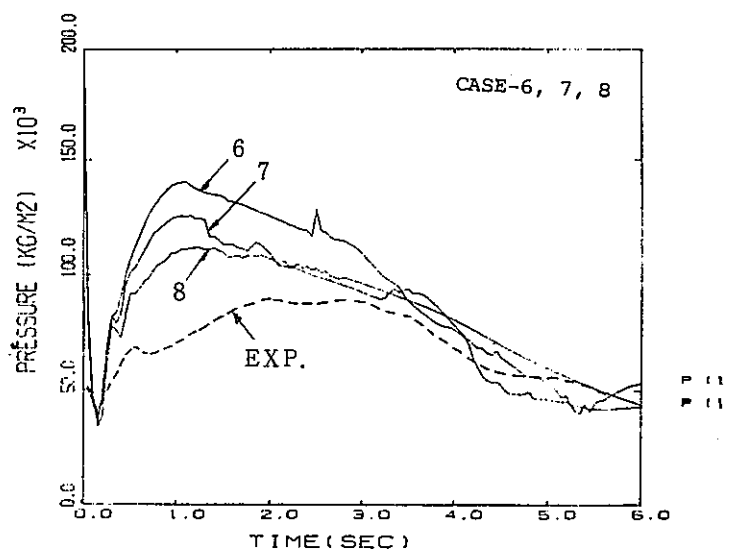


図 3.2-5 反応部圧力

Comparison between Measurement and Calculations by  
SWAC 13E Run-5 Test (Reaction Zone Pressure)

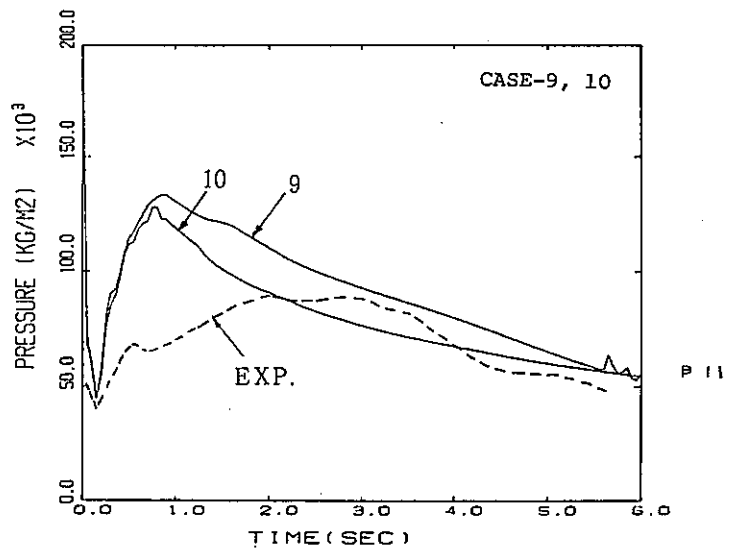


図 3.2-6 反応部圧力

Comparison between Measurement and Calculations by  
SWAC 13E Run-5 Test (Reaction Zone Pressure)

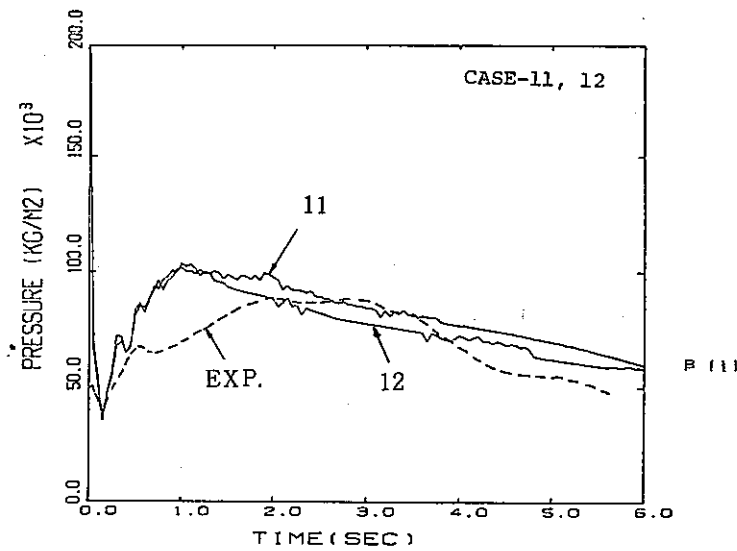


図 3.2-7 反応部圧力

Comparison between Measurement and Calculations by  
SWAC 13E Run-5 Test (Reaction Zone Pressure)

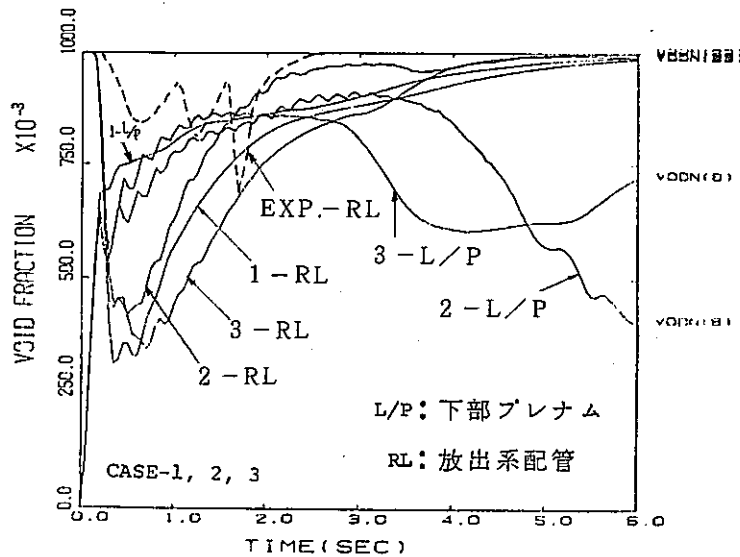


図 3.2-8 蒸発器下部プレナム, 放出系配管ボイド率

Comparison between Measurement and Calculations by  
SWAC 13E Run-5 Test (EV Lower Plenum, Relief Line  
Void Fraction)

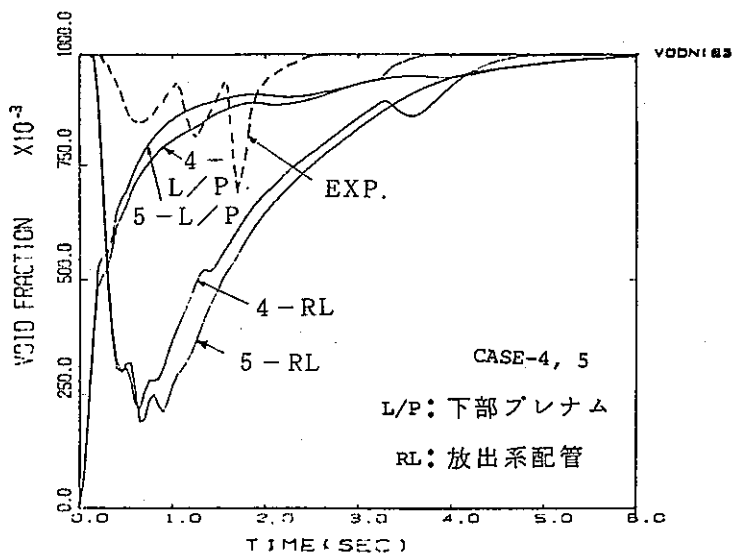


図 3.2-9 蒸発器下部プレナム、放出系配管ボイド率

Comparison between Measurement and Calculations by SWAC 13E Run-5 Test (EV Lower Plenum, Relief Line Void Fraction)

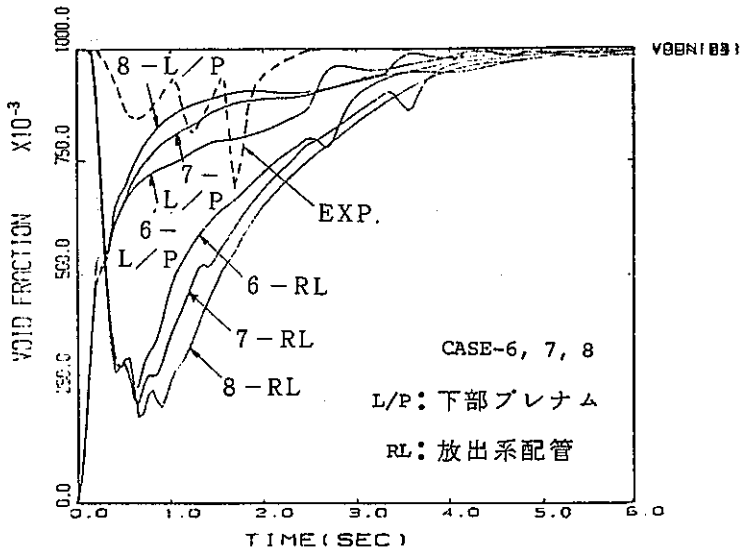


図 3.2-10 蒸発器下部プレナム、放出系配管ボイド率

Comparison between Measurement and Calculations by SWAC 13E Run-5 Test (EV Lower Plenum, Relief Line Void Fraction)

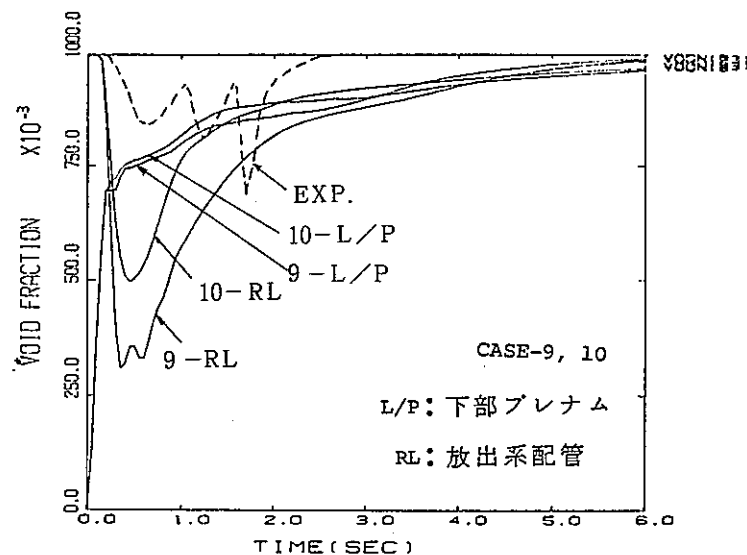


図 3.2-11 蒸発器下部プレナム、放出系配管ボイド率

Comparison between Measurement and Calculations by SWAC 13E Run-5 Test (EV Lower Plenum, Relief Line Void Fraction)

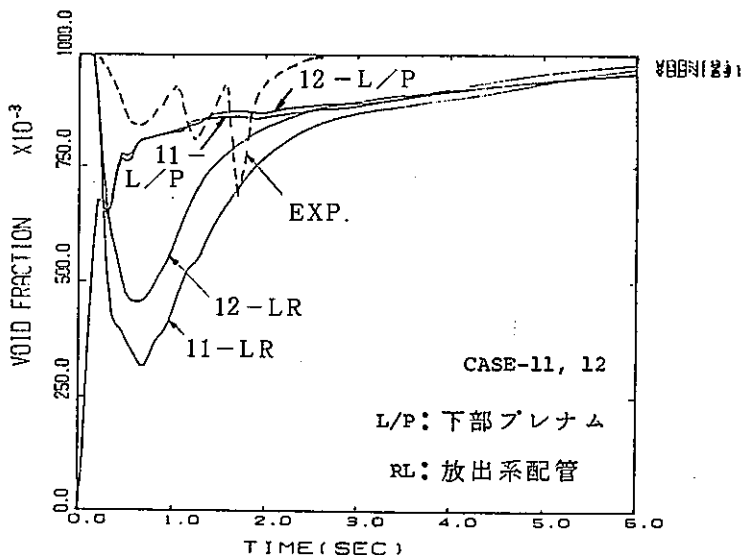


図 3.2-12 蒸発器下部プレナム、放出系配管ボイド率

Comparison between Measurement and Calculations by SWAC 13E Run-5 Test (EV Lower Plenum, Relief Line Void Fraction)

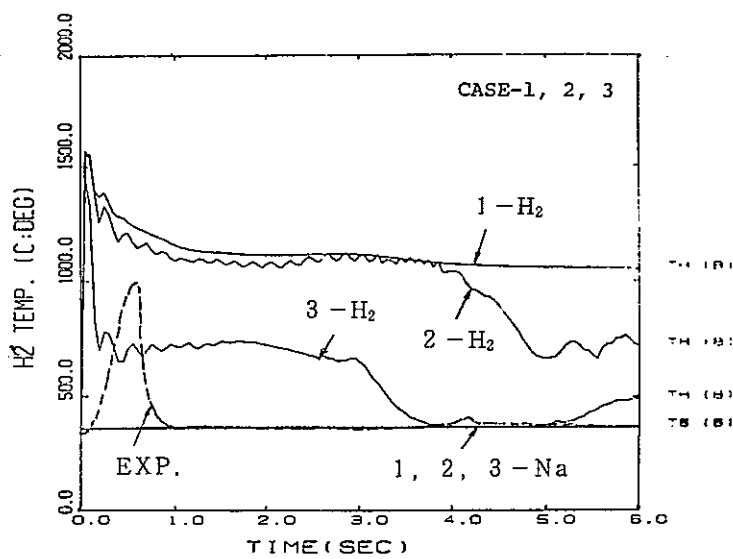


図 3.2-13 蒸発器下部プレナム水素, ナトリウム温度

Comparison between Measurement and Calculations by  
SWAC 13E Run-5 Test (EV Lower Plenum Temperature)

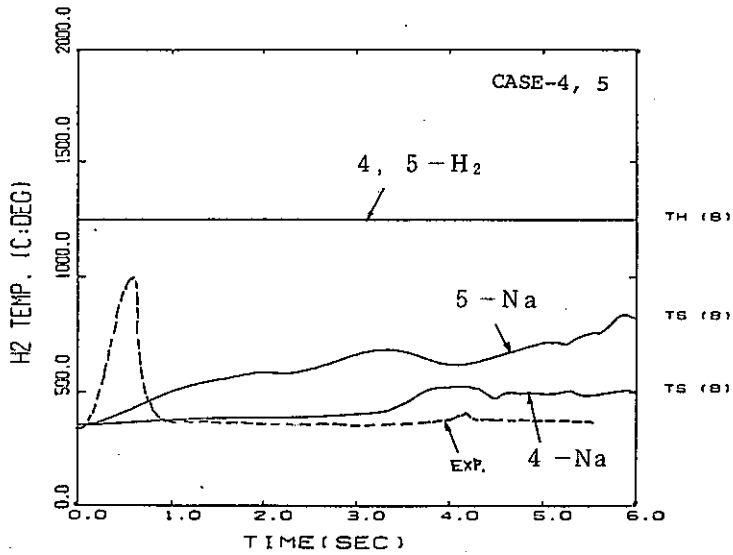


図 3.2-14 蒸発器下部プレナム水素, ナトリウム温度

Comparison between Measurement and Calculations by  
SWAC 13E Run-5 Test (EV Lower Plenum Temperature)

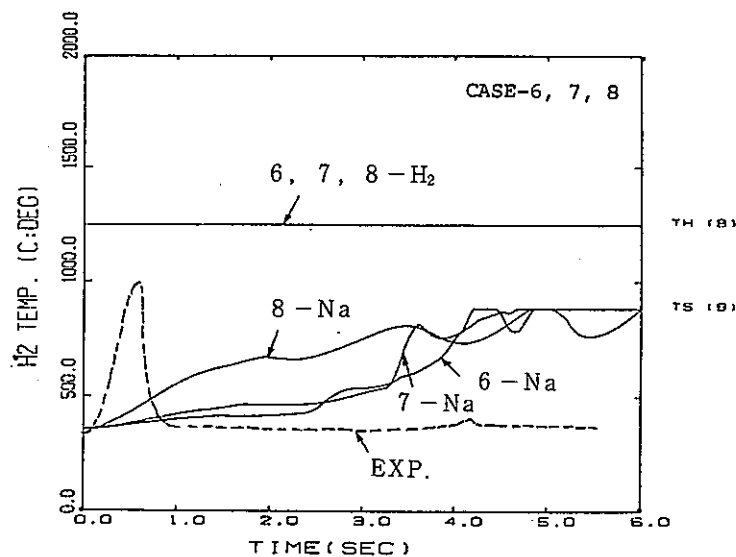


図 3.2-15 蒸発器下部プレナム水素, ナトリウム温度

Comparison between Measurement and Calculations by SWAC 13E Run-5 Test (EV Lower Plenum Temperature)

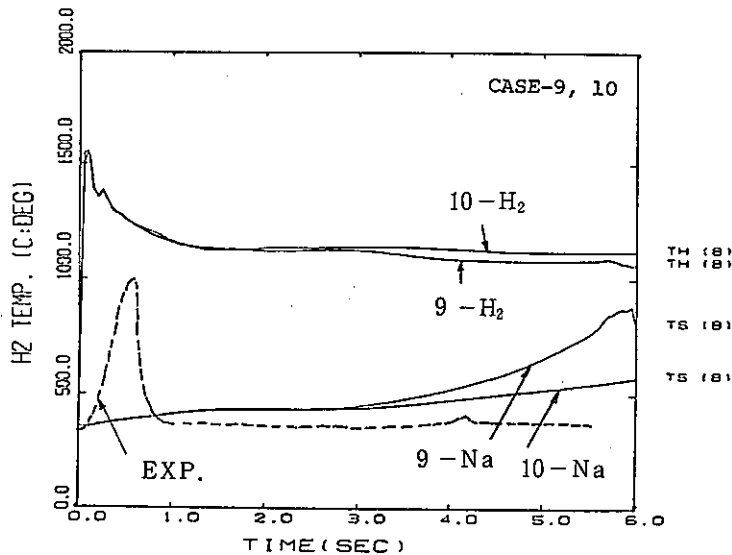


図 3.2-16 蒸発器下部プレナム水素, ナトリウム温度

Comparison between Measurement and Calculations by SWAC 13E Run-5 Test (EV Lower Plenum Temperature)

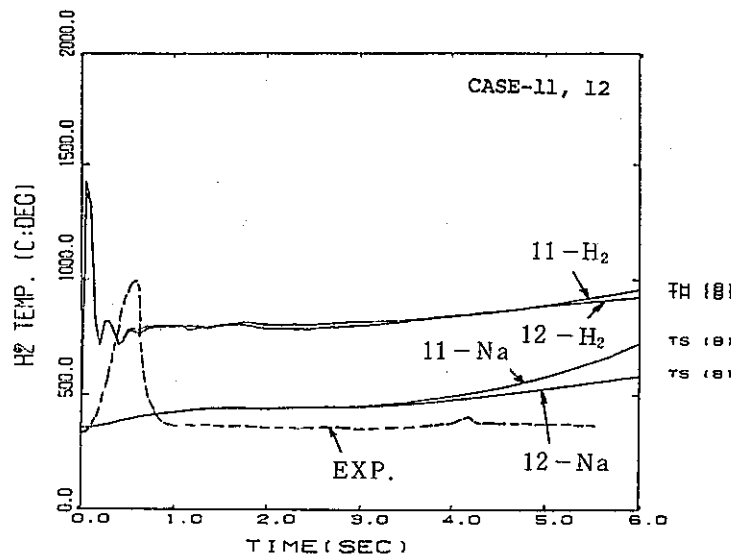


図 3.2-17 蒸発器下部プレナム水素、ナトリウム温度

Comparison between Measurement and Calculations by SWAC 13E Run-5 Test (EV Lower Plenum Temperature)

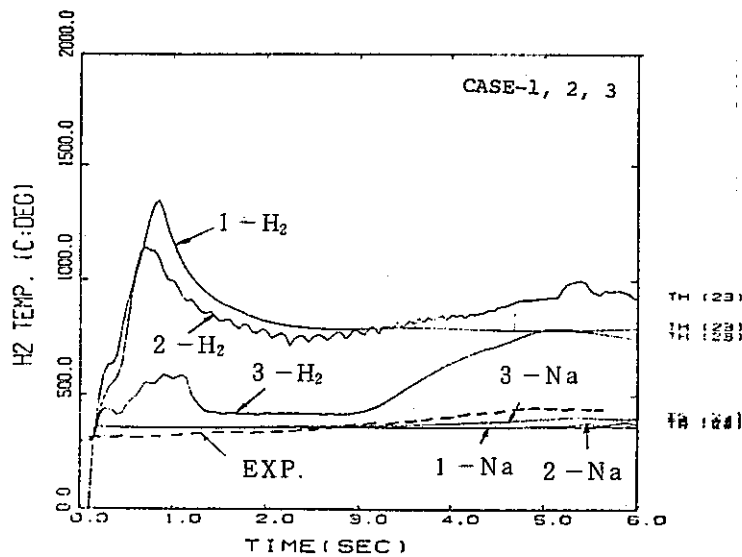


図 3.2-18 蒸発器放出系配管水素、ナトリウム温度

Comparison between Measurement and Calculations by SWAC 13E Run-5 Test (Relief Line Temperature)

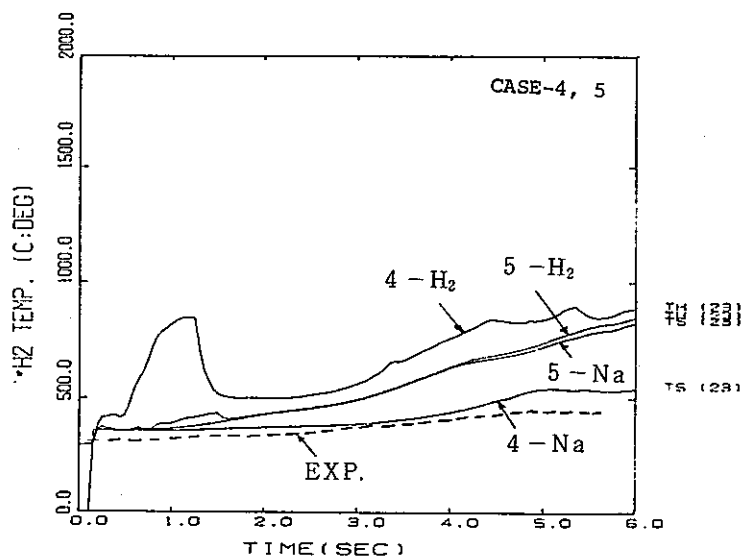


図 3.2-19 蒸発器放出系配管水素, ナトリウム温度

Comparison between Measurement and Calculations by  
SWAC 13E Run-5 Test (Relief Line Temperature)

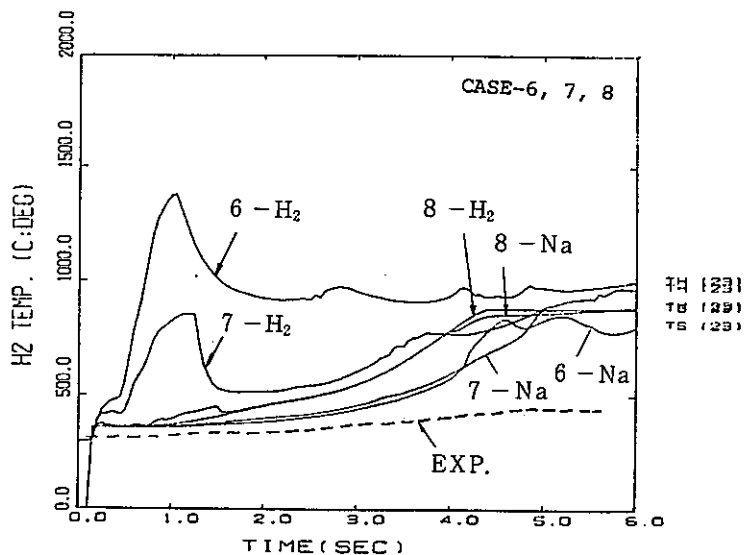


図 3.2-20 蒸発器放出系配管水素, ナトリウム温度

Comparison between Measurement and Calculations by  
SWAC 13E Run-5 Test (Relief Line Temperature)

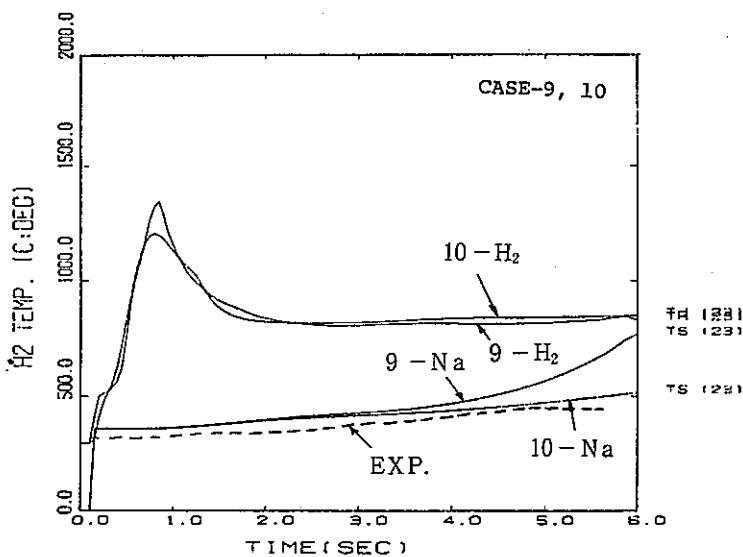


図 3.2-21 蒸発器放出系配管水素、ナトリウム温度

Comparison between Measurement and Calculations by  
SWAC 13E Run-5 Test (Relief Line Temperature)

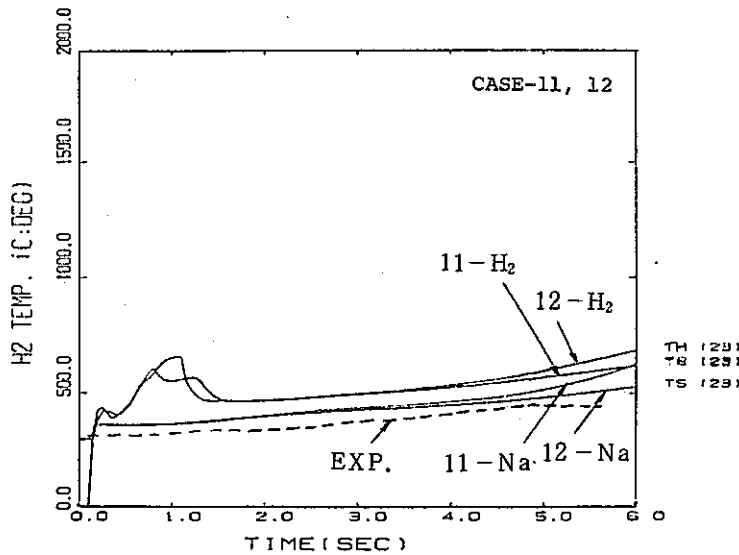


図 3.2-22 蒸発器放出系配管水素、ナトリウム温度

Comparison between Measurement and Calculations by  
SWAC 13E run-5 Test (Relief Line Temperature)

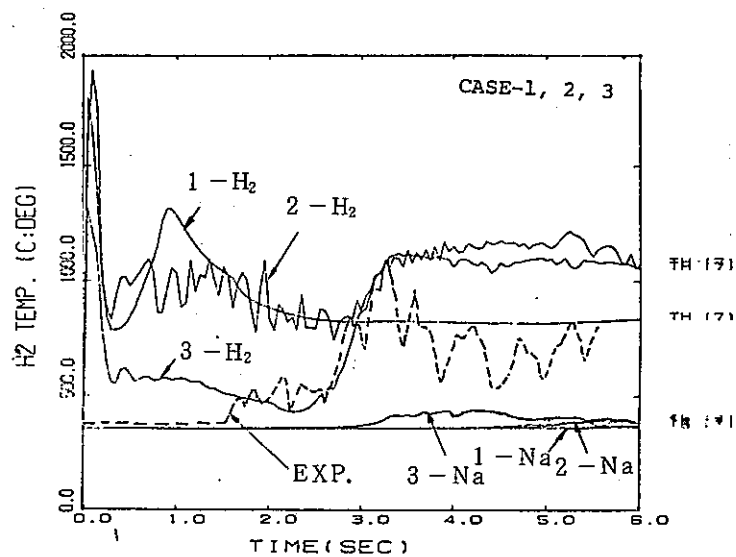


図 3.2-23 蒸発器上部プレナム水素, ナトリウム温度

Comparison between Measurement and Calculations by SWAC 13E Run-5 Test (EV Upper Plenum Temperature)

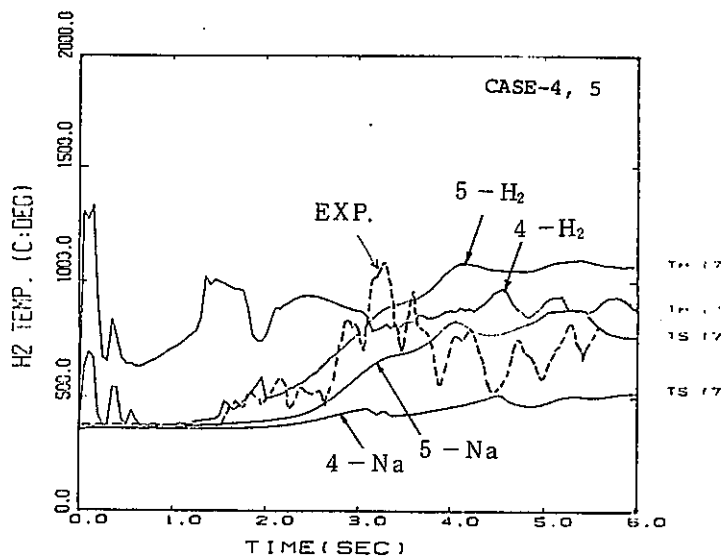


図 3.2-24 蒸発器上部プレナム水素, ナトリウム温度

Comparison between Measurement and Calculations by SWAC 13E Run-5 Test (EV Upper Plenum Temperature)

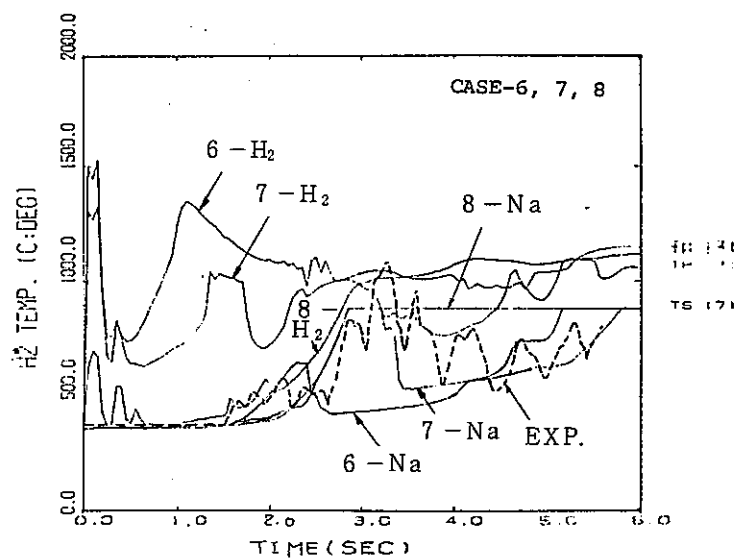


図 3.2-25 蒸発器上部プレナム水素, ナトリウム温度

Comparison between Measurement and Calculations by SWAC 13E Run-5 Test (EV Upper Plenum Temperature)

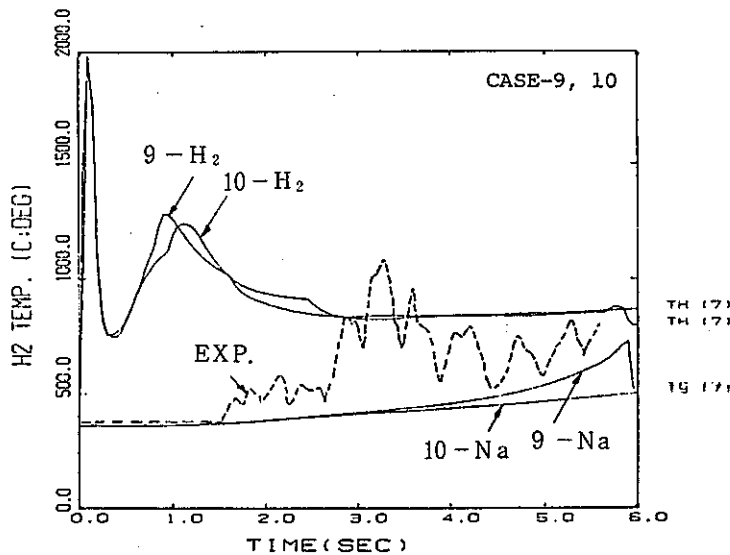


図 3.2-26 蒸発器上部プレナム水素, ナトリウム温度

Comparison between Measurement and Calculations by SWAC 13E Run-5 Test (EV Upper Plenum Temperature)

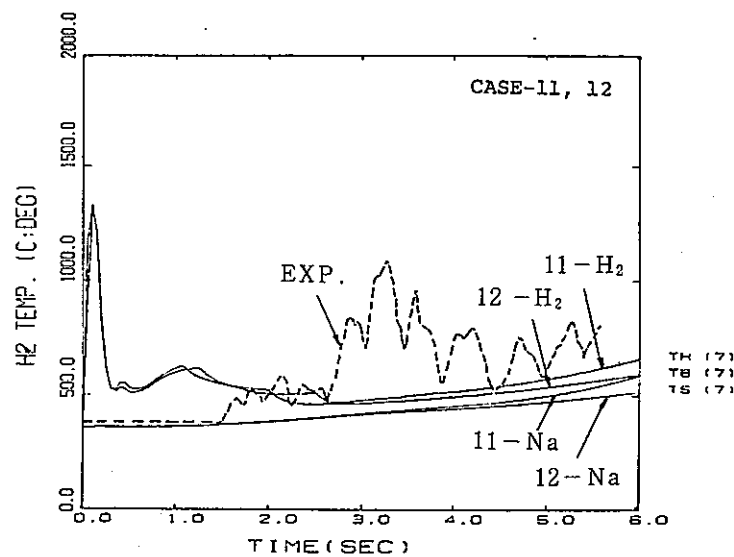


図 3.2-27 蒸発器上部プレナム水素, ナトリウム温度

Comparison between Measurement and Calculations by SWAC 13E Run-5 Test (EV Upper Plenum Temperature)

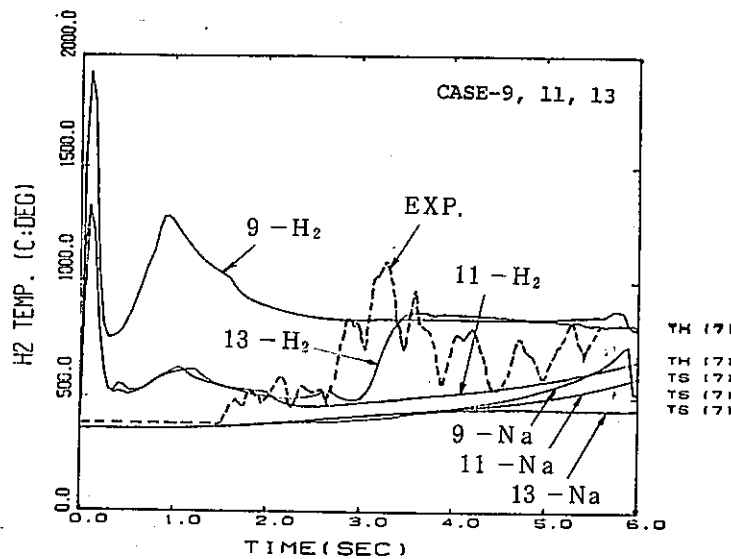


図 3.2-28 蒸発器上部プレナム 水素, ナトリウム温度

Comparison between Measurement and Calculations by SWAC 13E Run-5 Test (EV Upper Plenum Temperature)

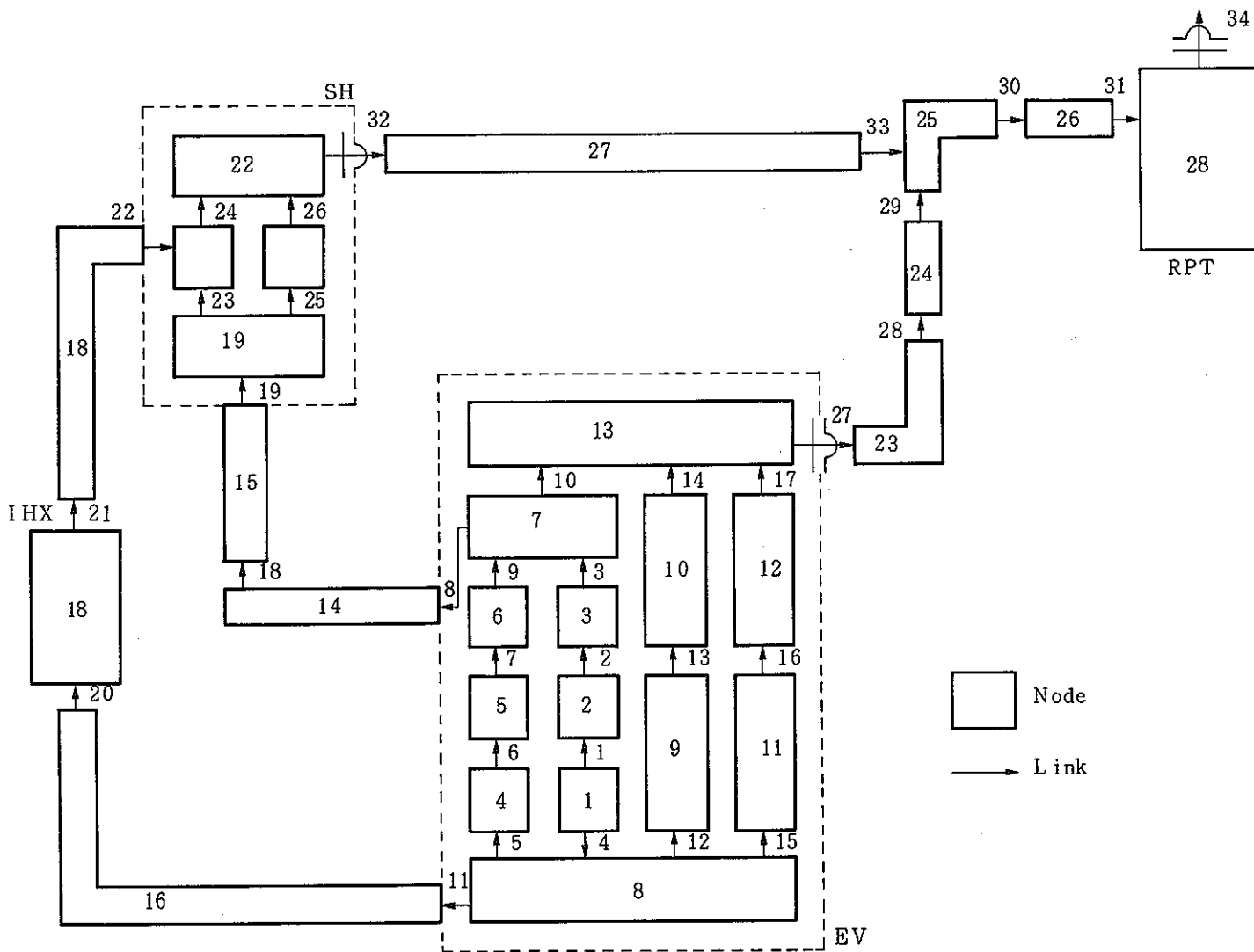


図 3.3-2 SWAT-3, Run-6 解析モデル

Network Model for SWAT-3, Run-6 Analysis

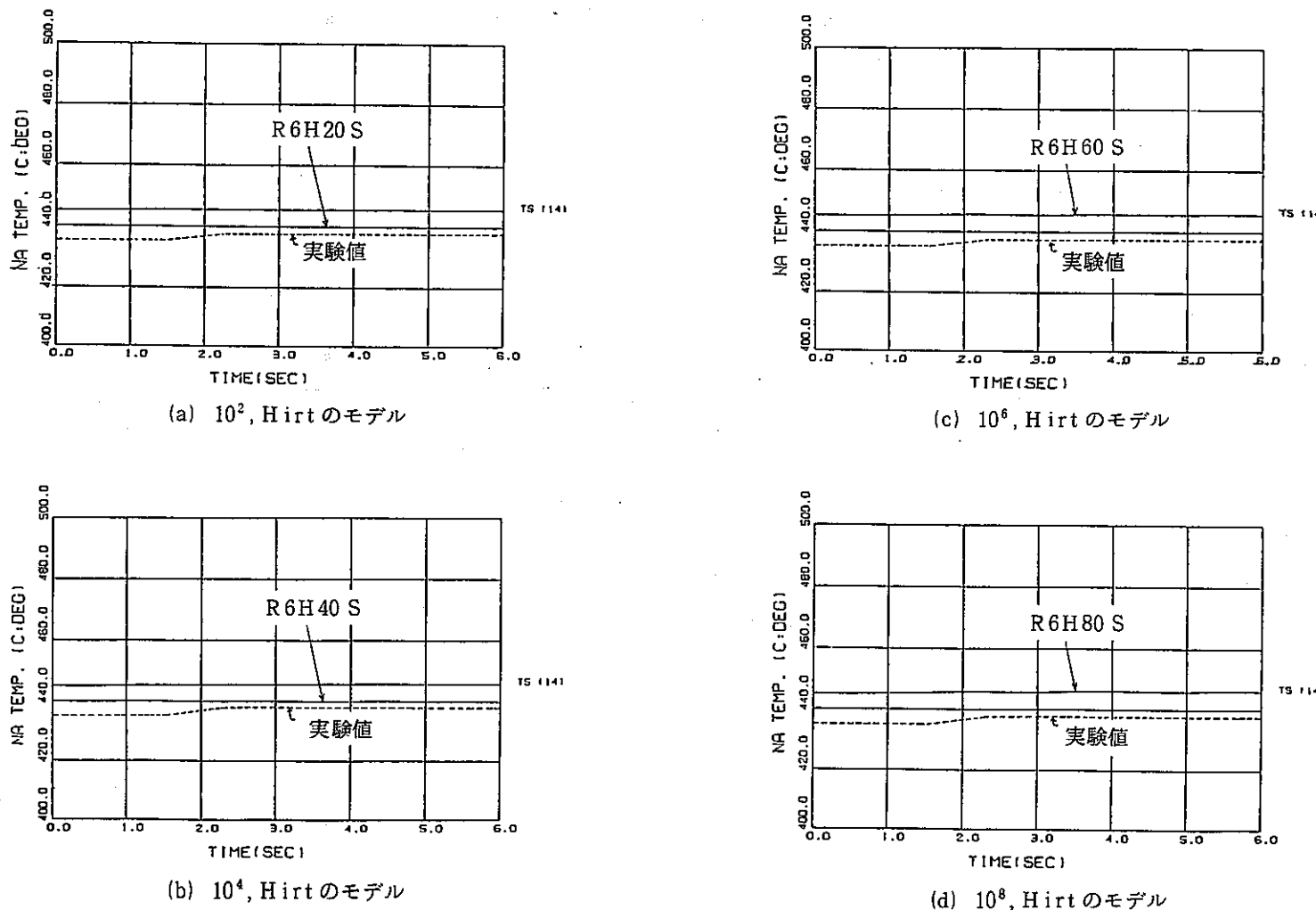


図 3.3-4(1) ミドルレグ・ナトリウム温度

Comparison between Measurements in Run-6 Test and Calculations by  
SWAC-13E (Sodium Temperature in Middle Leg).

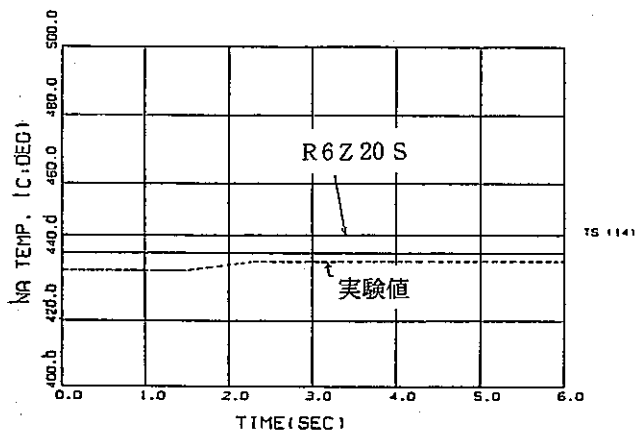
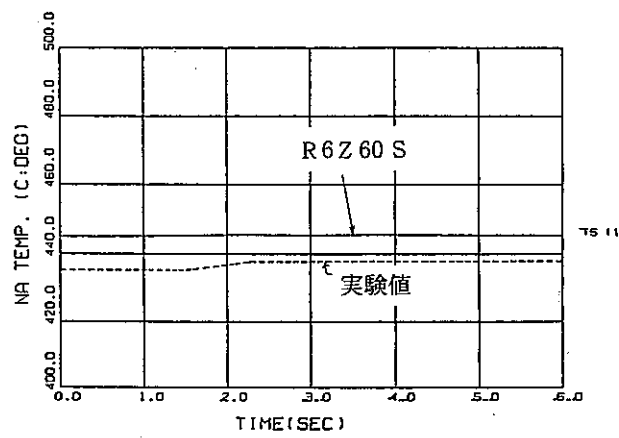
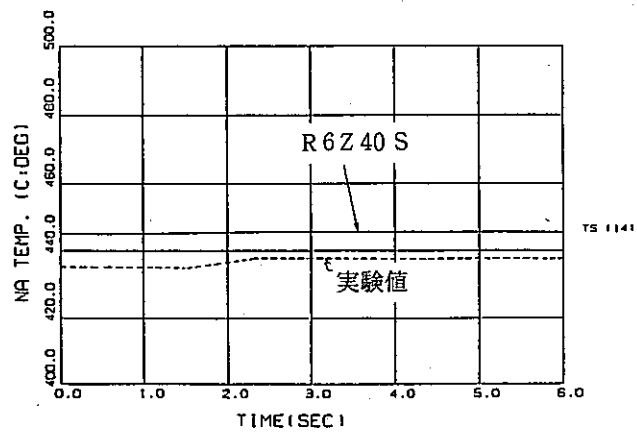
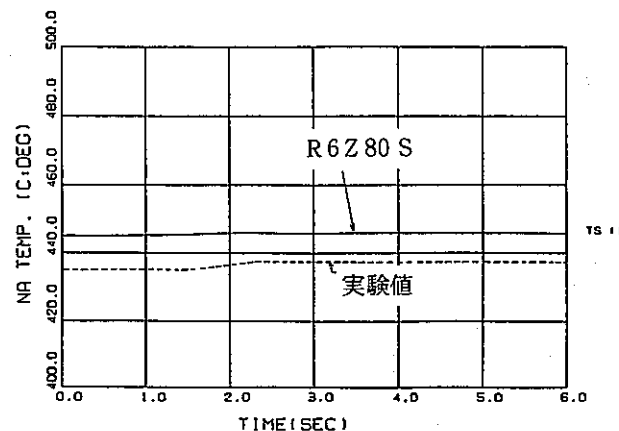
(e)  $10^2$ , Zuber のモデル(g)  $10^6$ , Zuber のモデル(f)  $10^4$ , Zuber のモデル(h)  $10^8$ , Zuber のモデル

図 3.3-4(2) ミドルレグーナトリウム温度

Comparison between Measurements in Run-6 Test and Calculations by SWAC-13E (Sodium Temperature in Middle Leg).

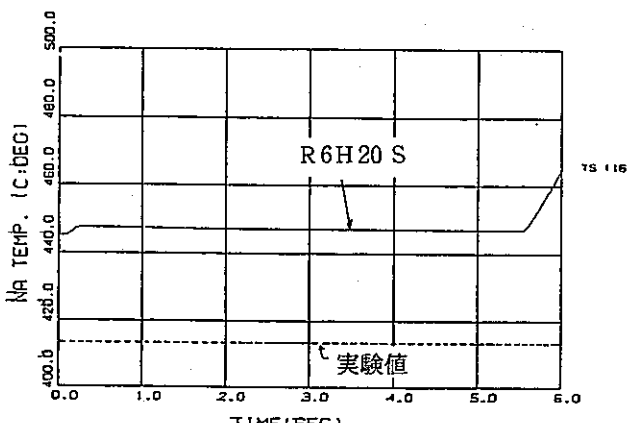
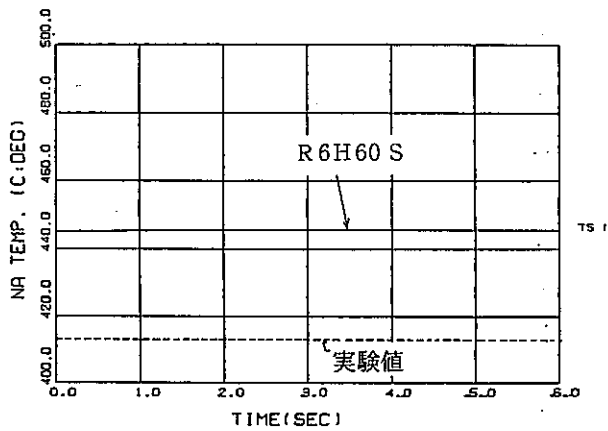
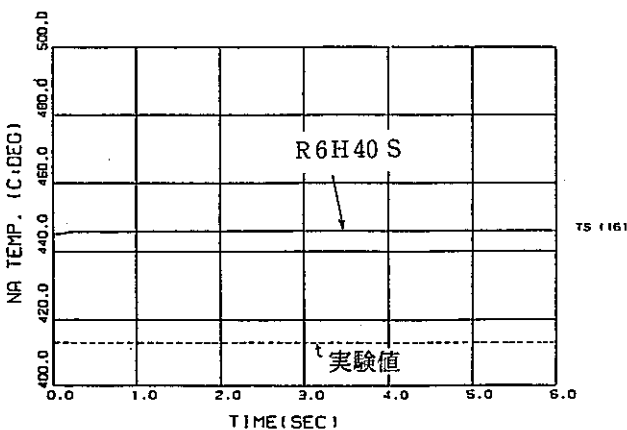
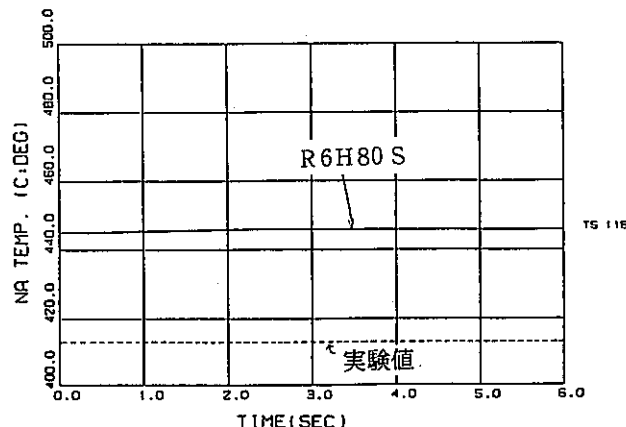
(a)  $10^2$ , Hirt のモデル(c)  $10^6$ , Hirt のモデル(b)  $10^4$ , Hirt のモデル(d)  $10^8$ , Hirt のモデル

図3.3-5(1) コールドレグナトリウム温度

Comparison between Measurements in Run-6 Test and Calculations by SWAC-13E (Sodium Temperature in Cold Leg).

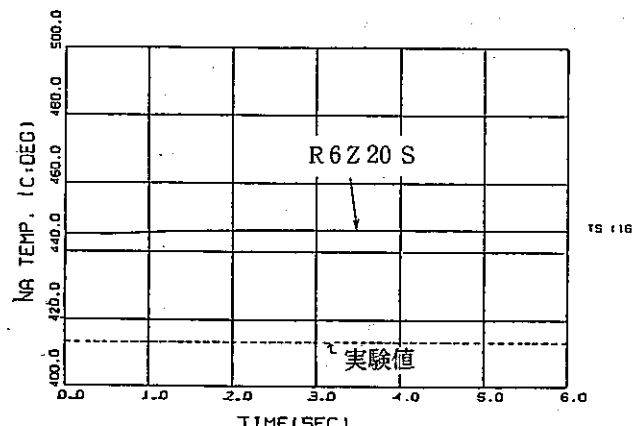
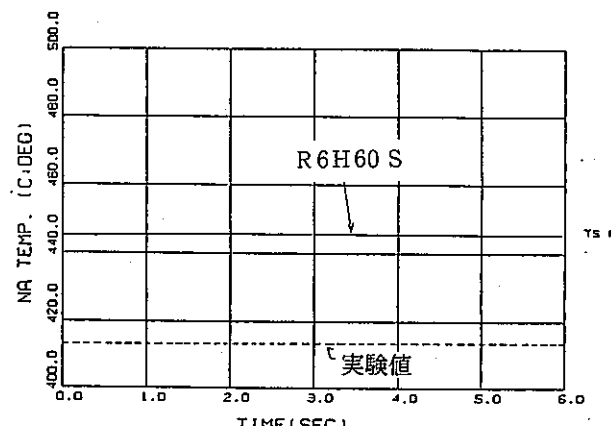
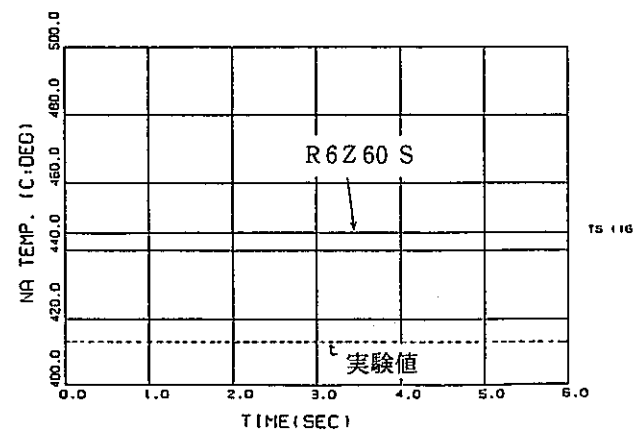
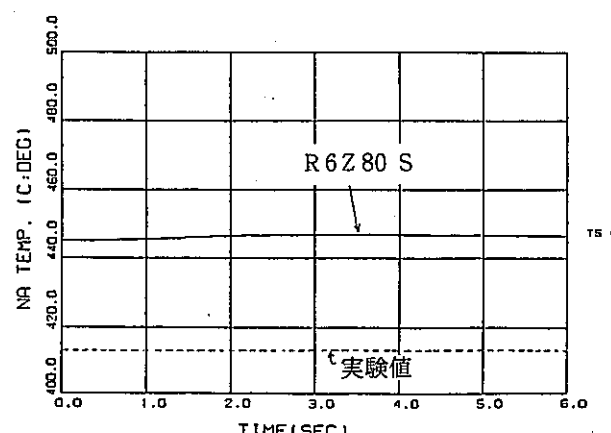
(e)  $10^2$ , Zuber のモデル(g)  $10^6$ , Zuber のモデル(f)  $10^4$ , Zuber のモデル(h)  $10^8$ , Zuber のモデル

図 3.3-5(2) コールドレグナトリウム温度

Comparison between Measurements in Run-6 Test and Calculations by SWAC-13E (Sodium Temperature in Cold Leg).

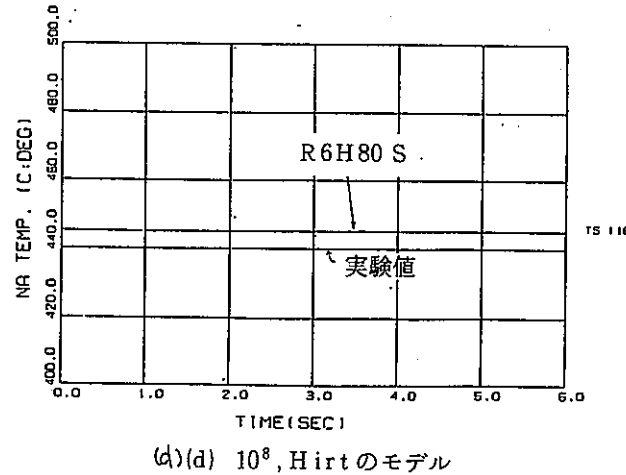
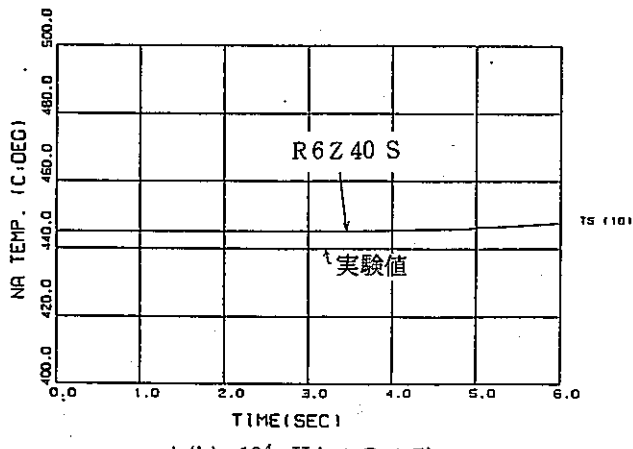
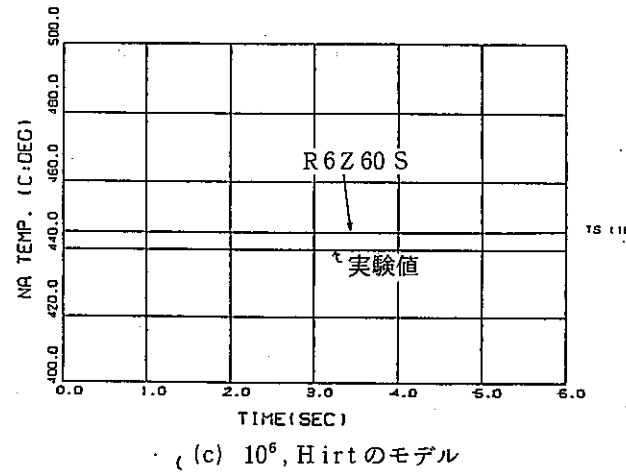
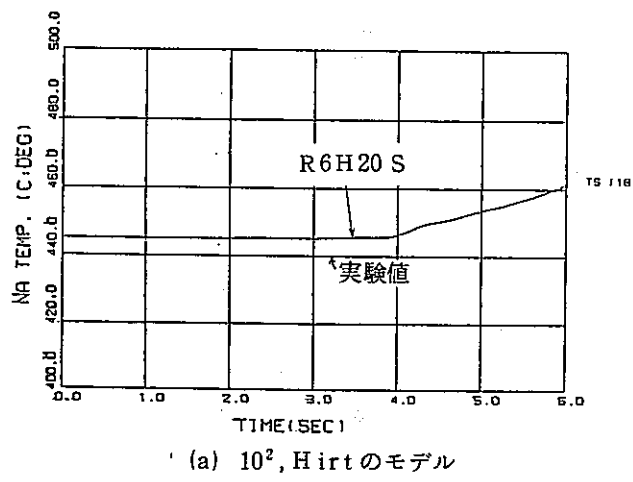
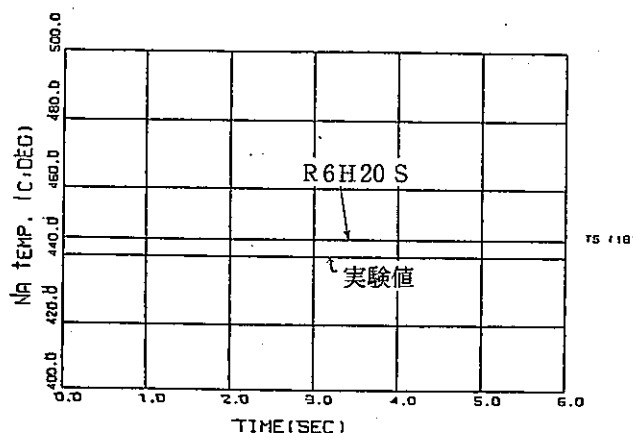
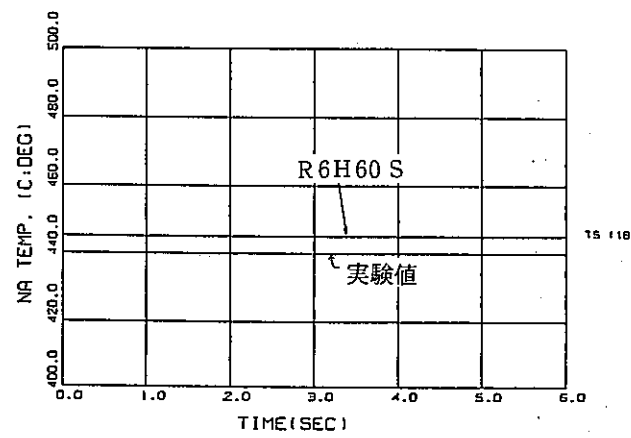


図 3.3-6(1) ホットレグナトリウム温度

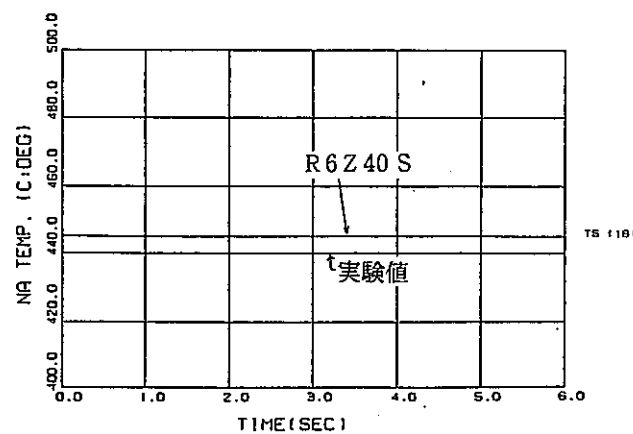
Comparison between Measurements in Run-6 Test and Calculations by SWAC-13E (Sodium Temperature in Hot Leg).



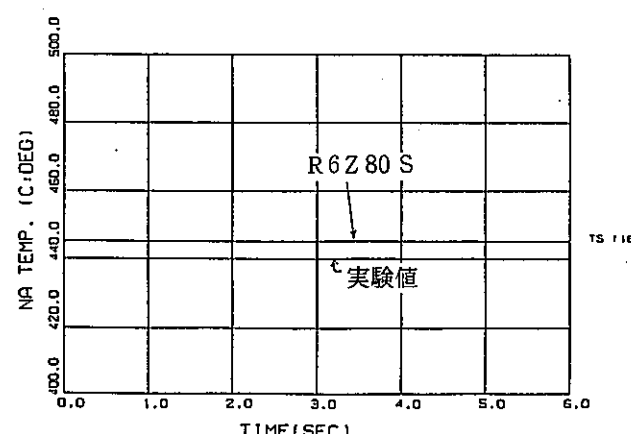
(e)  $10^2$ , Zuber のモデル



(g)  $10^6$ , Zuber のモデル



(f)  $10^4$ , Zuber のモデル



(h)  $10^8$ , Zuber のモデル

図 3.3 - 6(2) ホットレグナトリウム温度

Comparison between Measurements in Run-6 Test and Calculations by SWAC-13E (Sodium Temperature in Hot Leg).

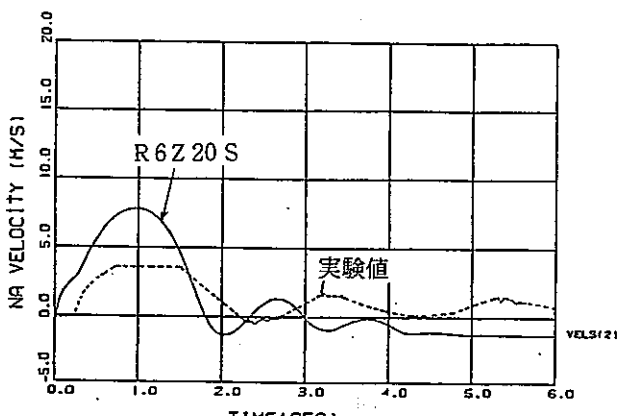
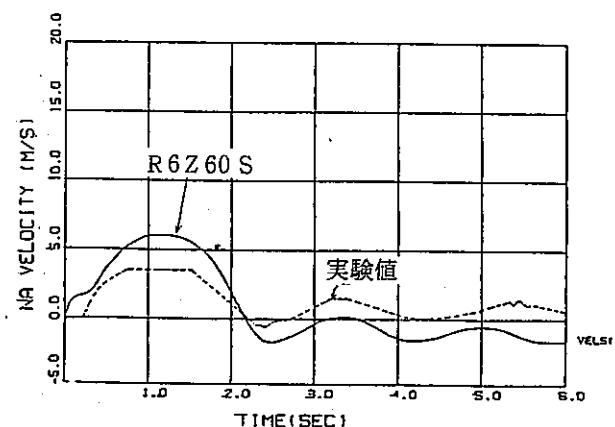
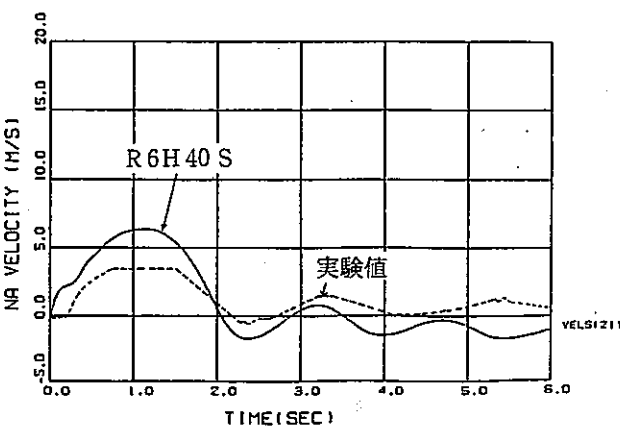
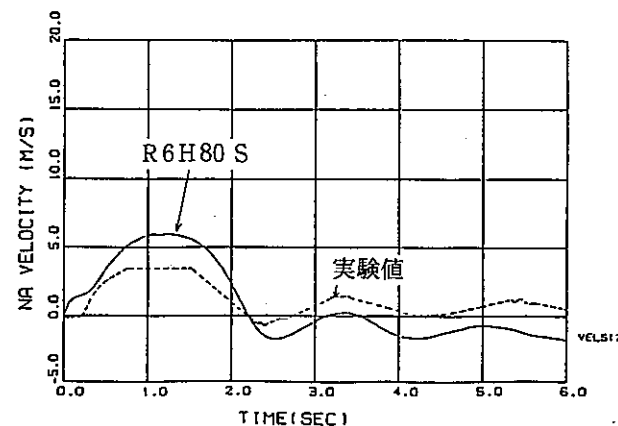
(a)  $10^2$ , Hirt のモデル(c)  $10^6$ , Hirt のモデル(b)  $10^4$ , Hirt のモデル(d)  $10^8$ , Hirt のモデル

図 3.3-7(1) ホットレグ・ナトリウム流速

Comparison between Measurements in Run-6 Test and Calculations by SWAC-13E (Velocity in Hot Leg).

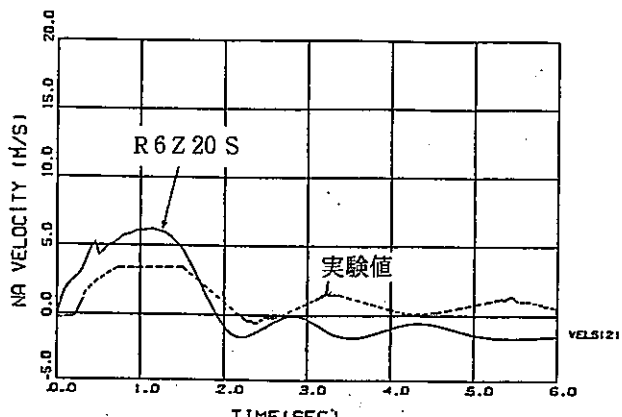
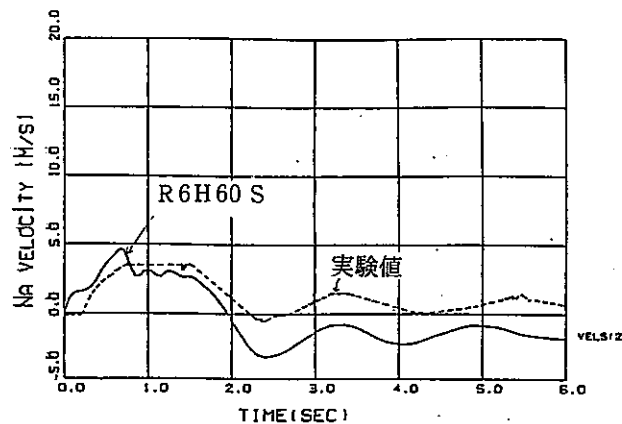
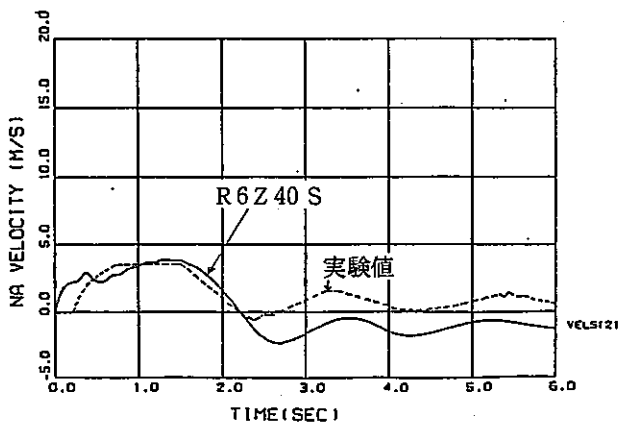
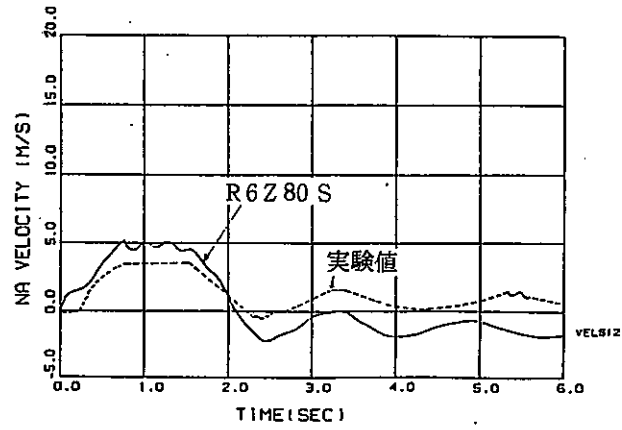
(e)  $10^2$ , Zuber のモデル(g)  $10^6$ , Zuber のモデル(f)  $10^4$ , Zuber のモデル(h)  $10^8$ , Zuber のモデル

図 3.3-7(2) ホットレグ・ナトリウム流速

Comparison between Measurements in Run-6 Test and Calculations by  
SWAC-13E (Velocity in Hot Leg).

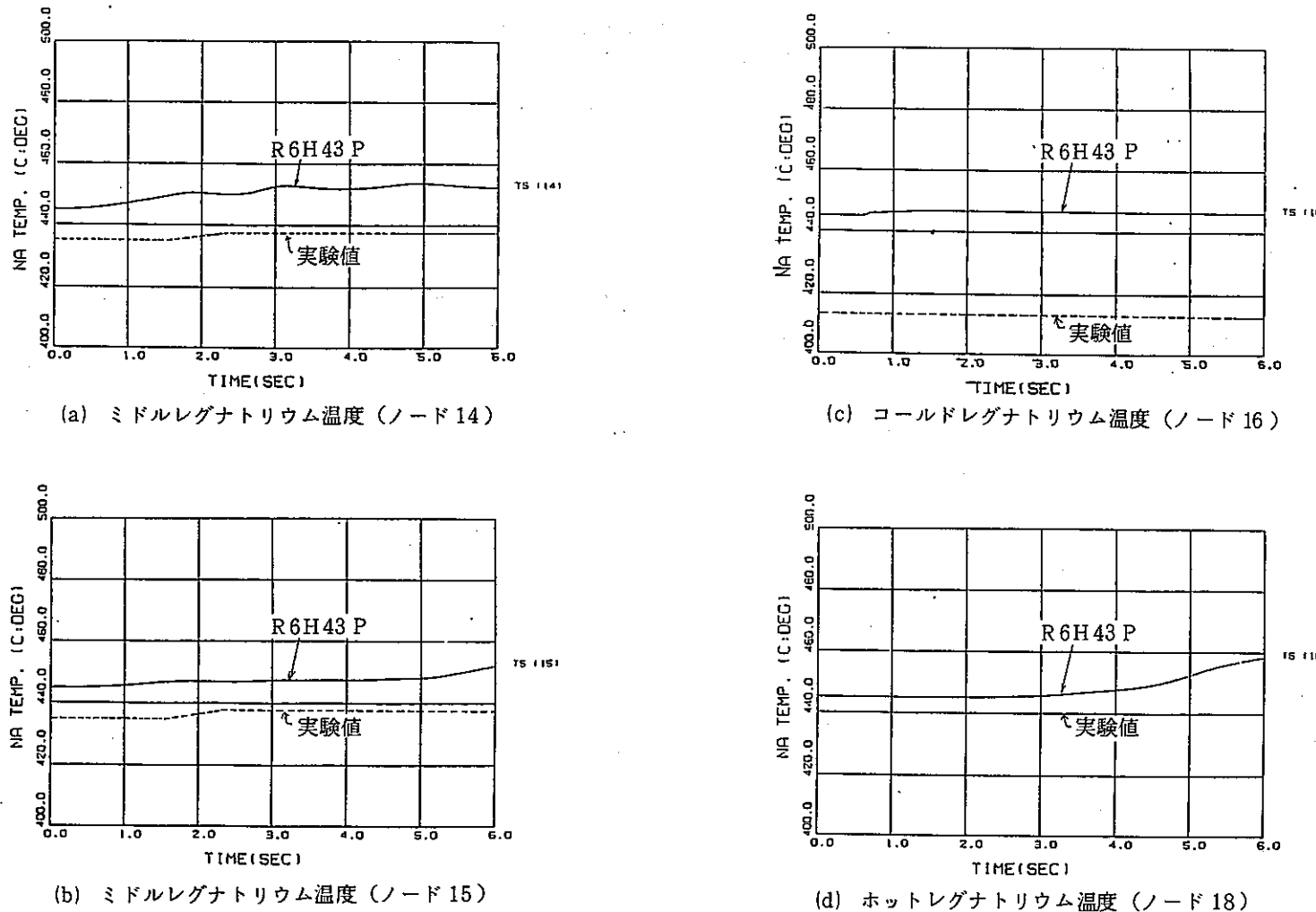
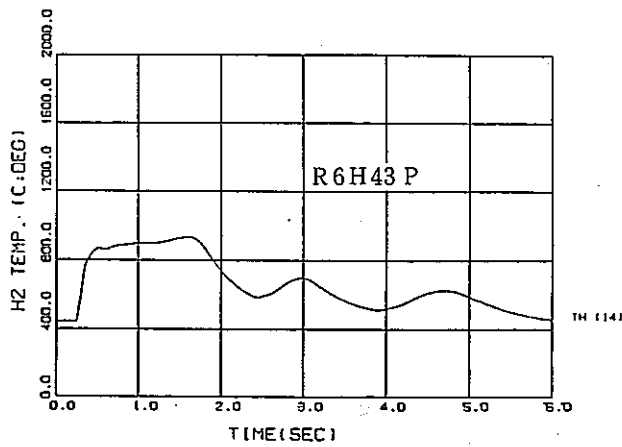
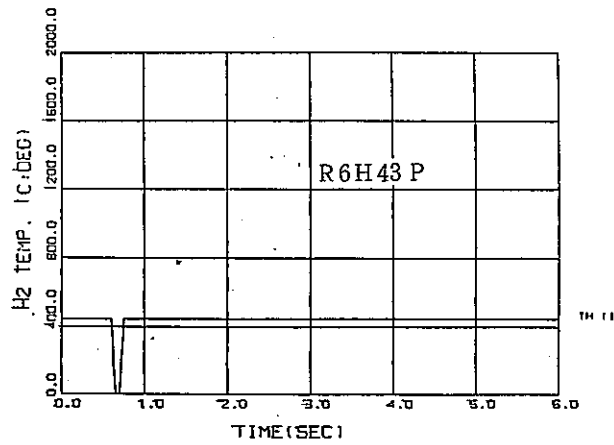


図 3.3 ~ 8(1) ナトリウム温度 (ケース R6H43 P)

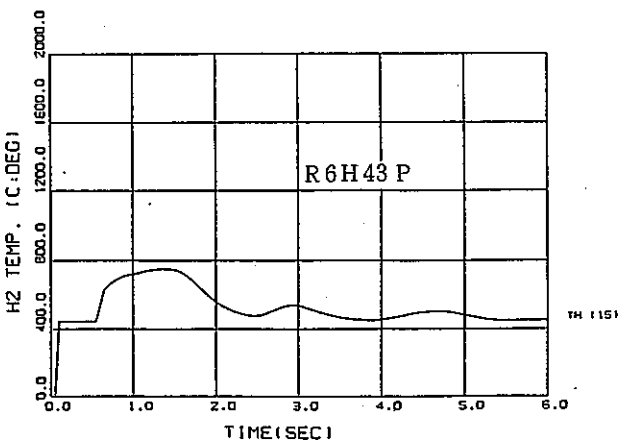
Comparison between Measurements in Run-6 Test and Calculations by SWAC-13E (Sodium Temperature).



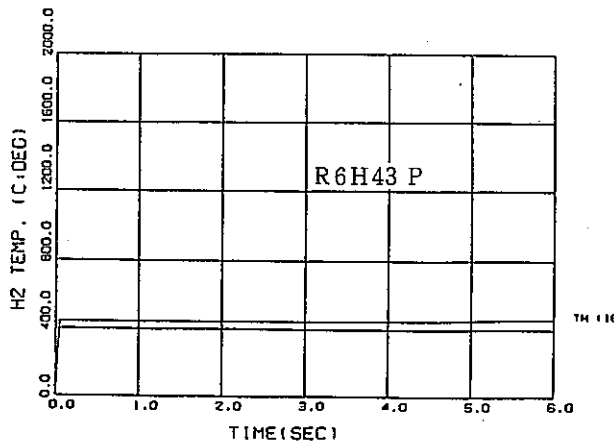
(e) ミドルレグ水素温度 (ノード 14)



(g) コールドレグ水素温度



(f) ミドルレグ水素温度 (ノード 15)



(h) ホットレグ水素温度

図 3.3-8(2) 水素温度 (ケース R6H43 P)

Comparison between Measurements in Run-6 Test and Calculations by SWAC-13E (Hydrogen Temperature).

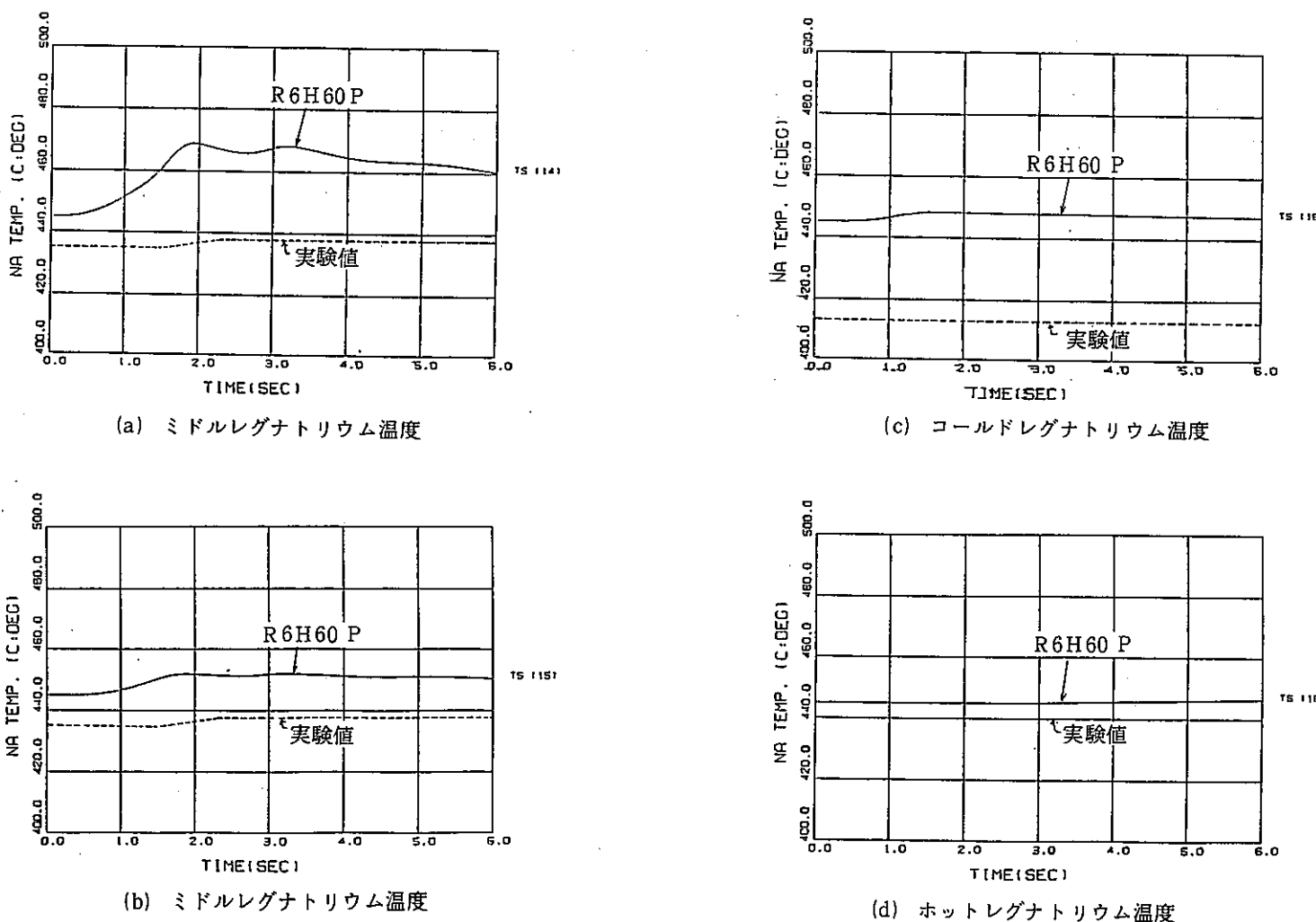
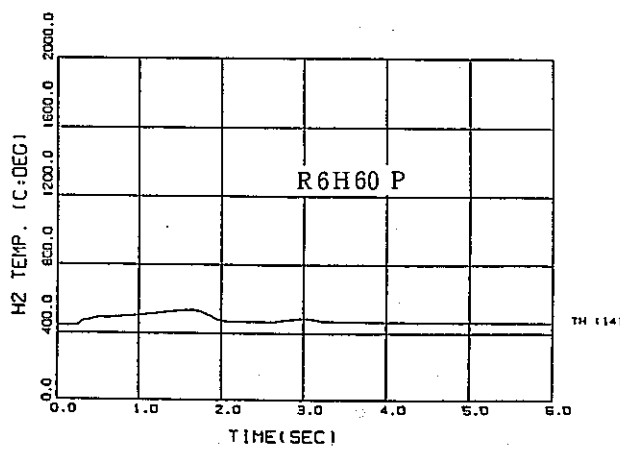
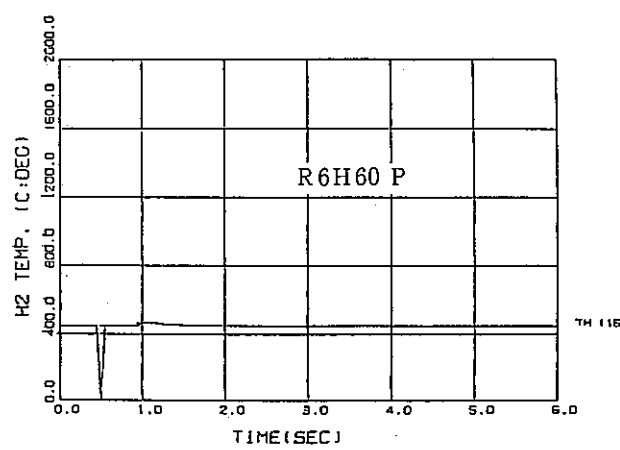


図3.3-9(1) ナトリウム温度 (ケース R6H60P)

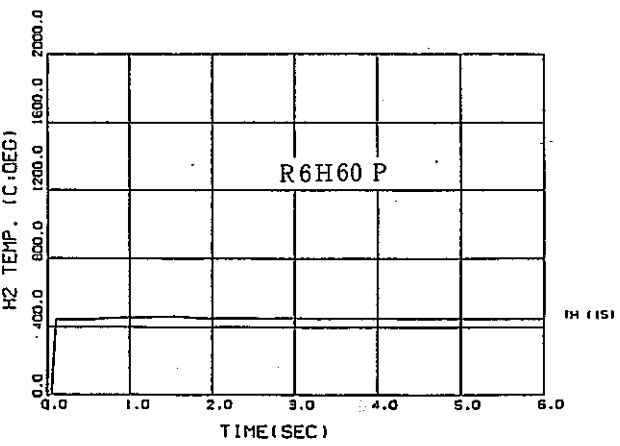
Comparison between Measurements in Run-6 Test and Calculations by  
SWAC-13E (Sodium Temperature).



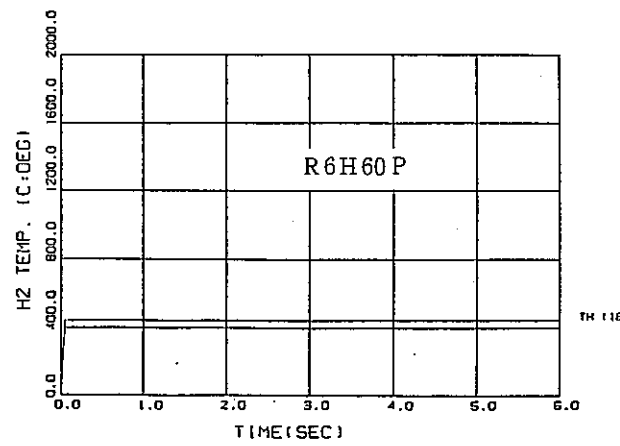
(e) ミドルレグ水素温度 (ノード 14)



(f) コールドレグ水素温度



(g) ホットレグ水素温度



(h) ホットレグ水素温度

図 3.3.9(2) 水素温度 (ケース R6H60 P)

Comparison between Measurements in Run-6 Test and Calculations by SWAC-13E (Hydrogen Temperature).

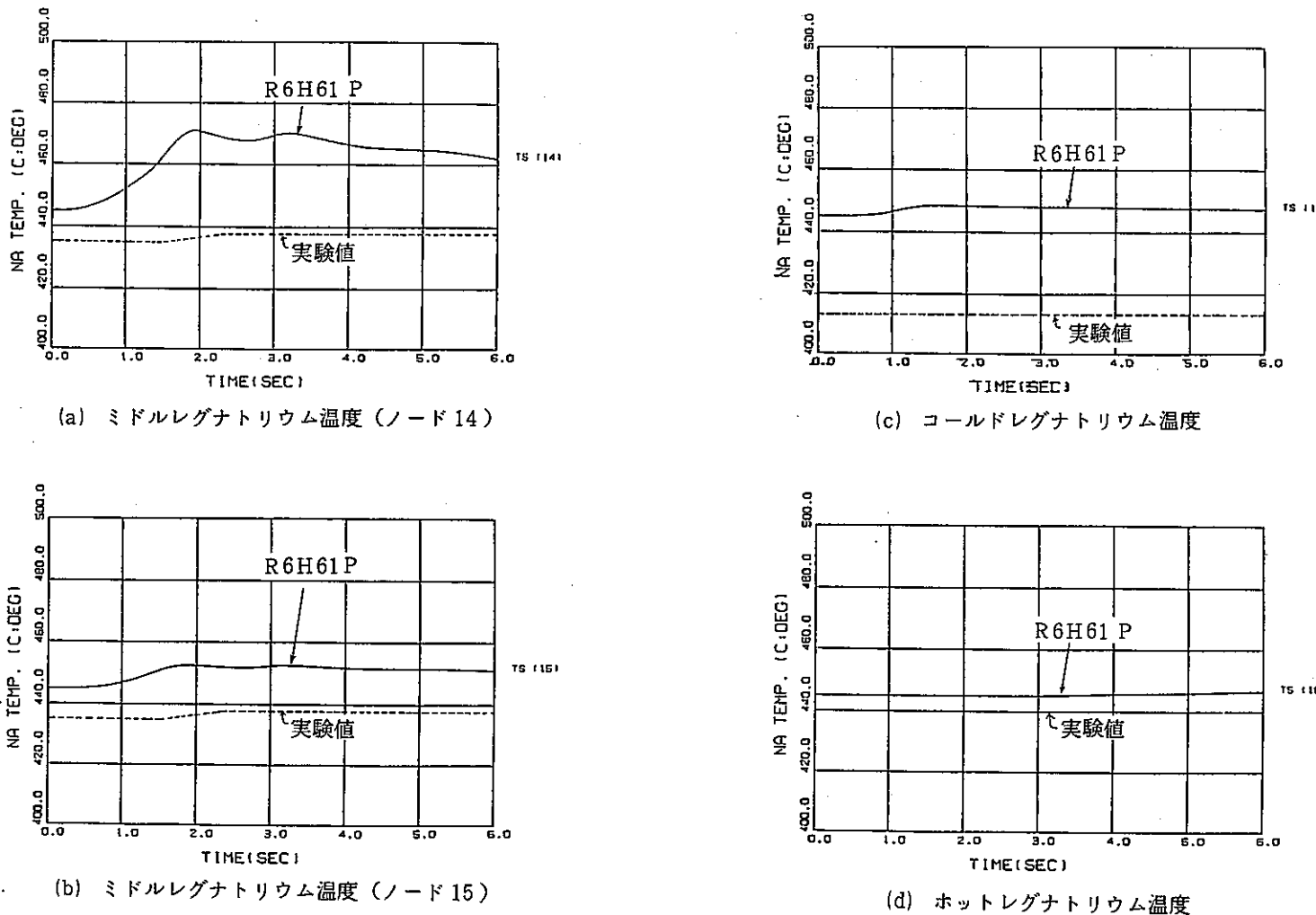
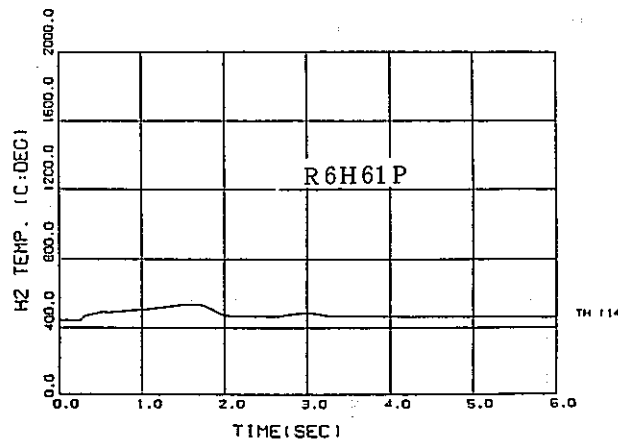
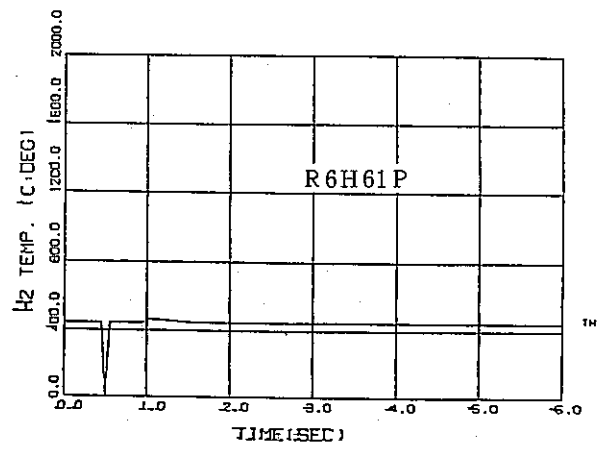


図 3.3 - 10(1) ナトリウム温度 (ケース R6H61 P)

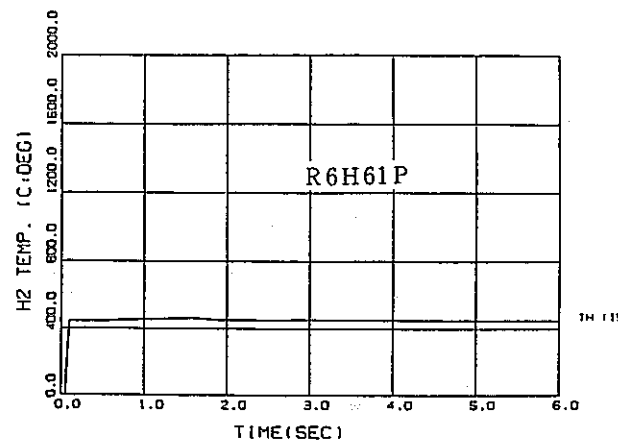
Comparison between Measurements in Run-6 Test and Calculations by  
SWAC-13E (Sodium Temperature).



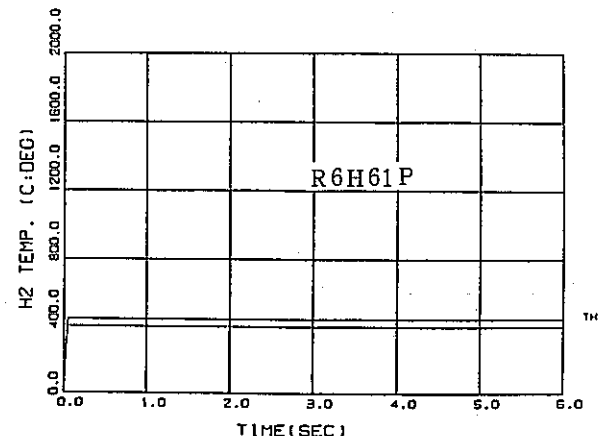
(e) ミドルレグ水素温度 (ノード 14)



(g) コールドレグ水素温度



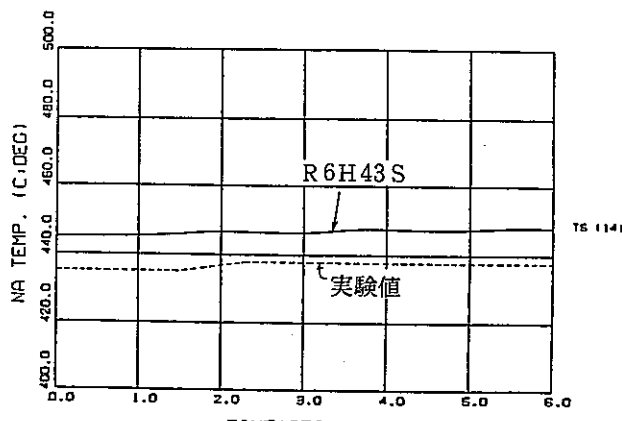
(f) ミドルレグ水素温度 (ノード 15)



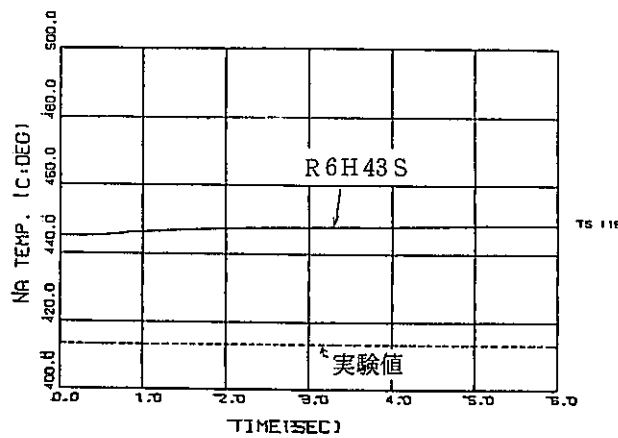
(h) ホットレグ水素温度

図 3.3 - 10(2) 水素温度 (ケース R6H61P).

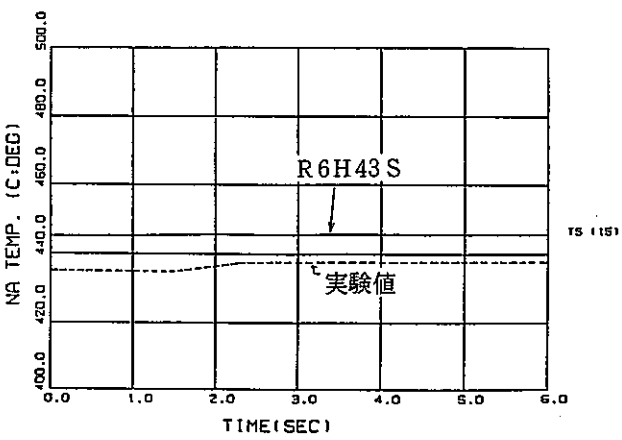
Comparison between Measurements in Run-6 Test and Calculation by SWAC-13E (Hydrogen Temperature).



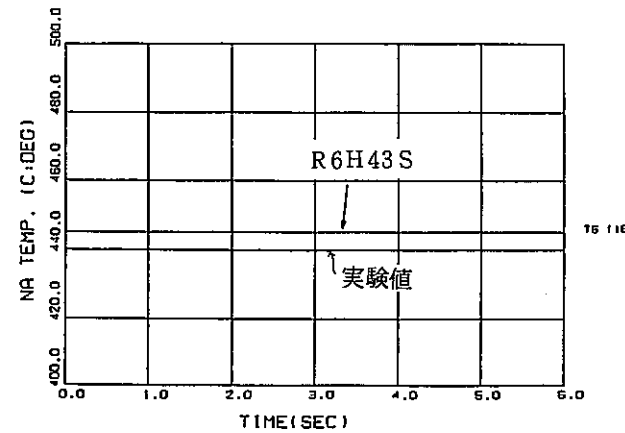
(a) ミドルレグ (ノード 14)



(c) コールドレグ



(b) ミドルレグ (ノード 15)



(d) ホットレグ

図 3.3-11 ナトリウム温度 (ケース R6H43S).

Comparison between Measurements in Run-6 Test and Calculations by SWAC-13E (Sodium Temperature).

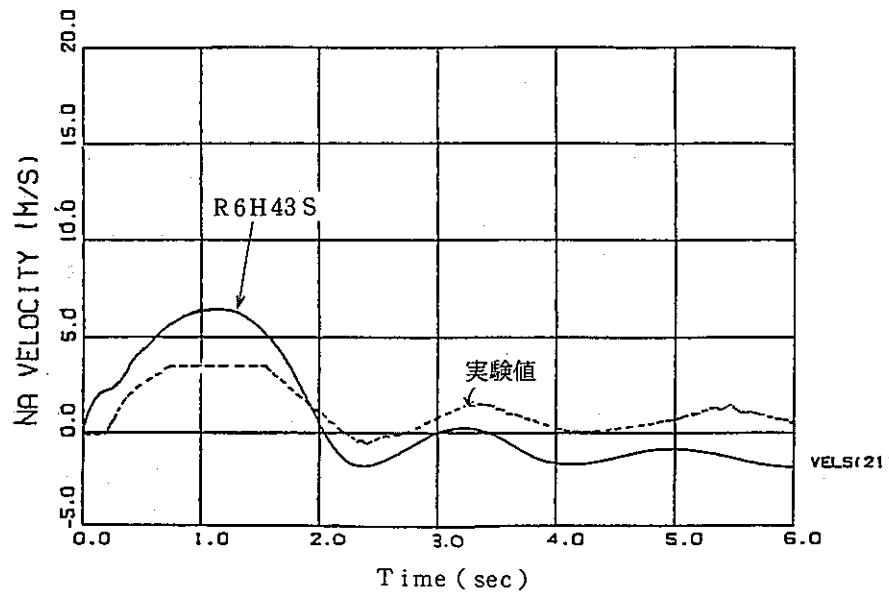


図 3.3-12 ホットレグナトリウム流速（ケース R6H43S）

Comparison between Measurements in Run-6 Test and Calculations by  
SWAC-13E (Velocity in Hot Leg).

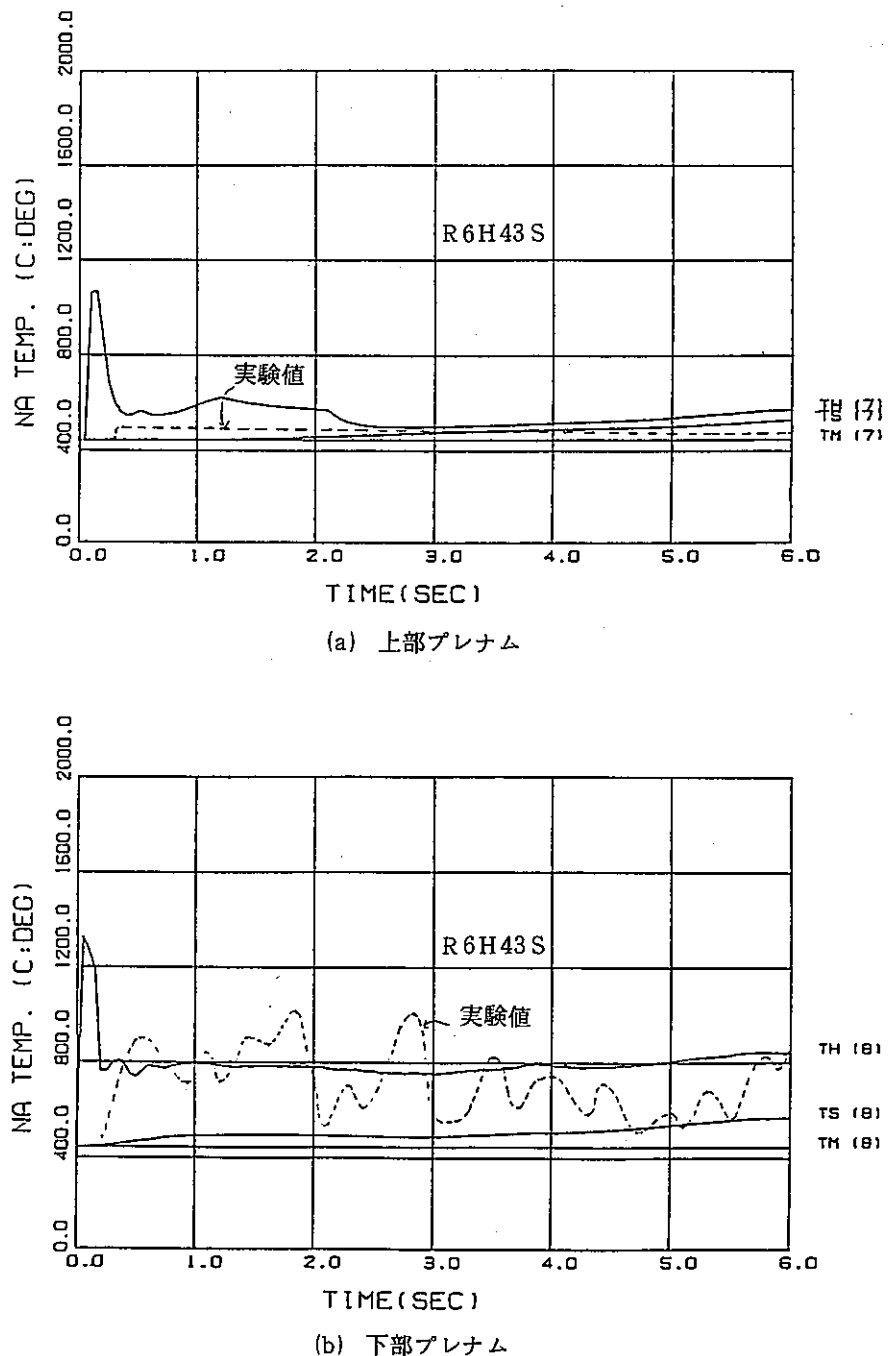


図 3.3-13 蒸発器のナトリウム温度 (ケース R6H43S)

Comparison between Measurements in Run-6 Test and Calculations by SWAC-13E (Sodium Temperature in Pressure Relief Line).

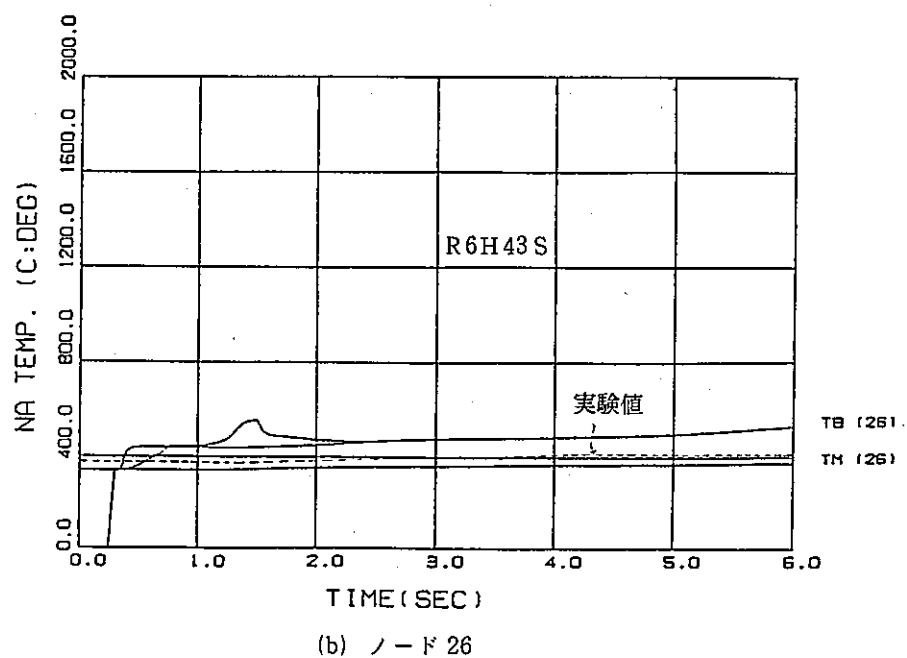
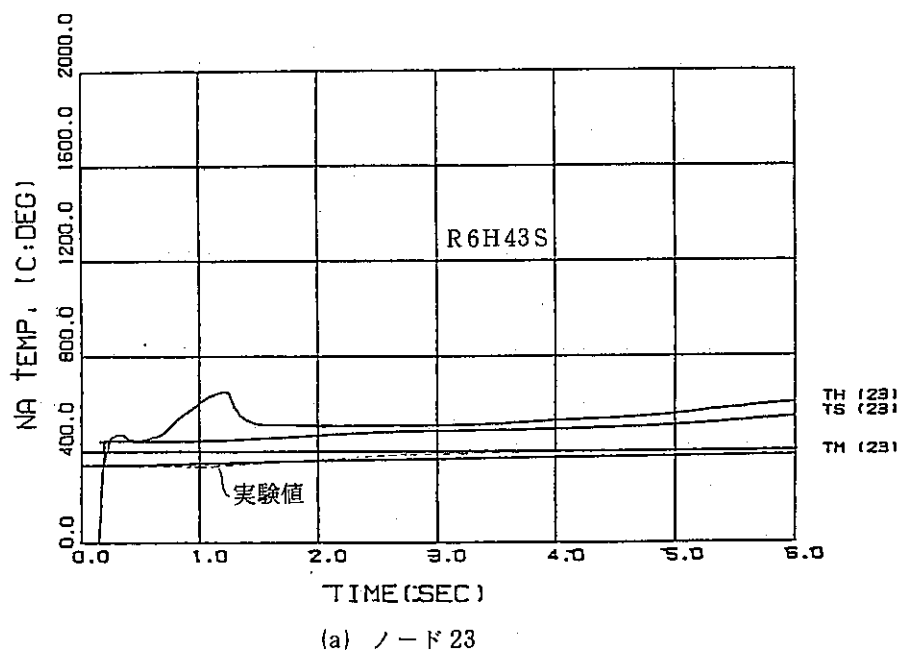


図 3.3-14 放出系配管内のナトリウム温度（ケース R 6H43 S）

Comparison between Measurements in Run-6 Test and Calculations by SWAC-13E (Sodium Temperature in Evaporator).

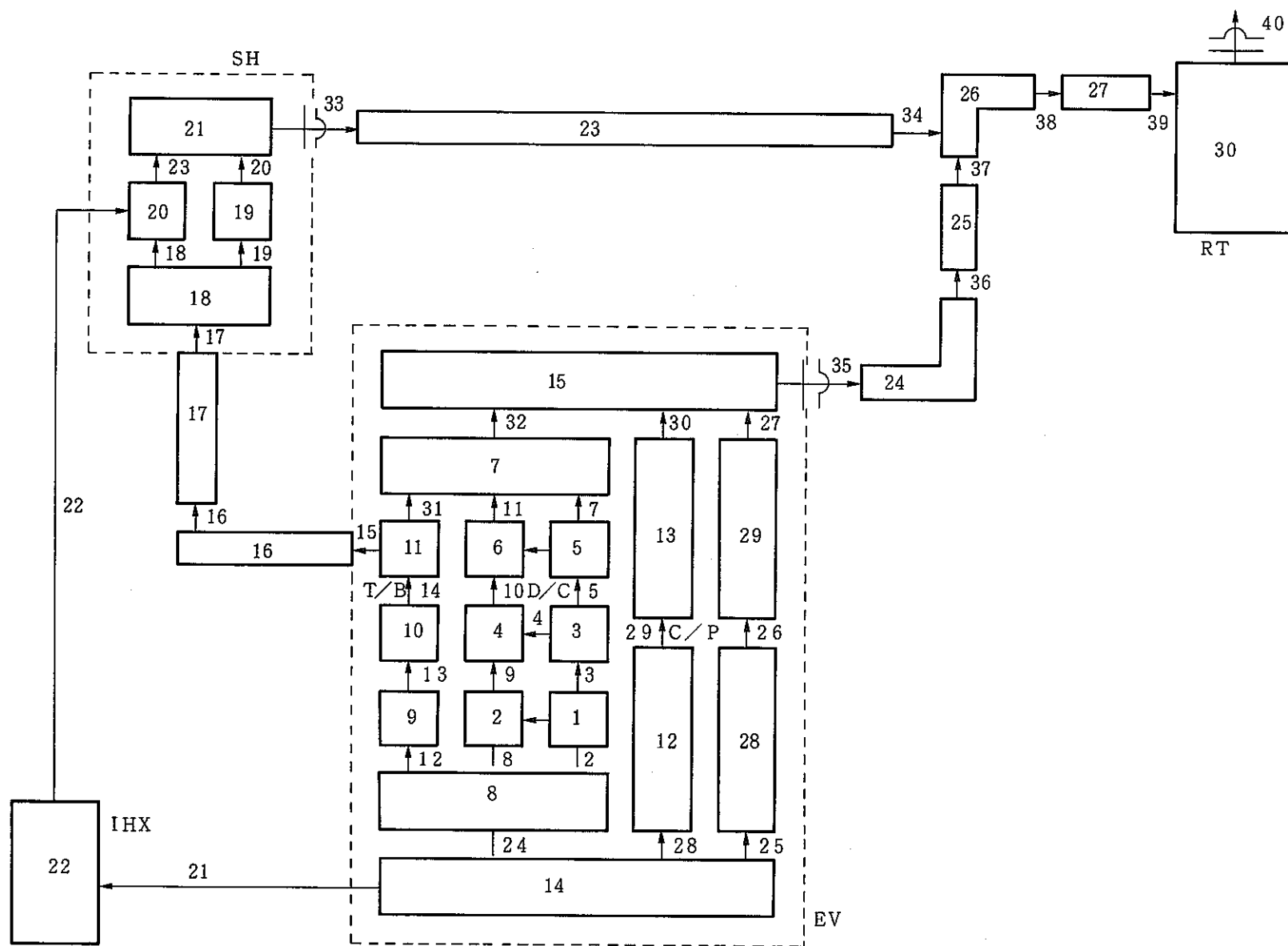


Fig. 3.4-1 Network Model for SWAT-3, Run-7 Analysis

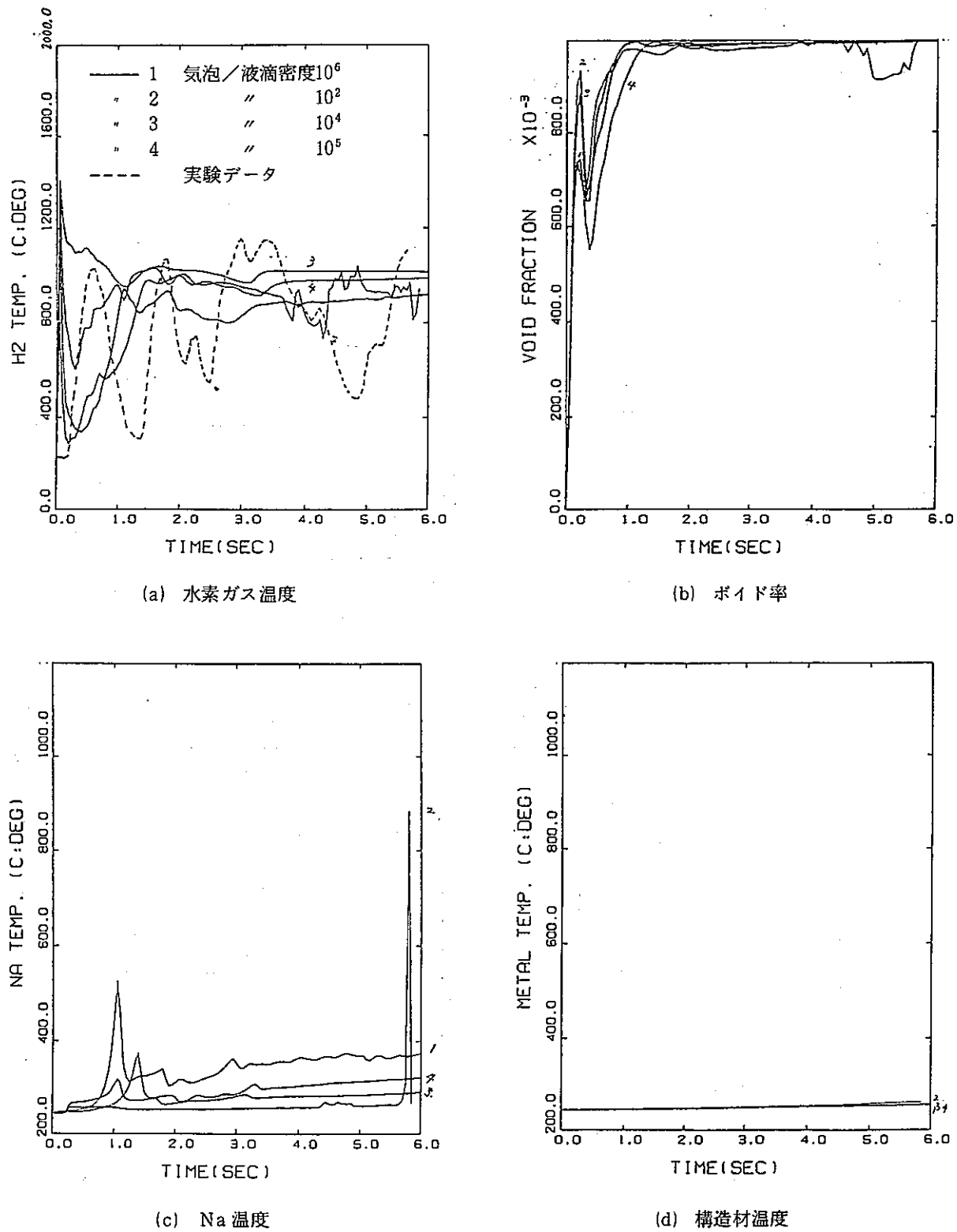


図 3.4-2 ダウンカマ部の状態変化 (ノード No.3)

Comparison between Measurements in Run-7 Test and Calculations by SWAC-13E (Downcomer Region - Node 3 -).

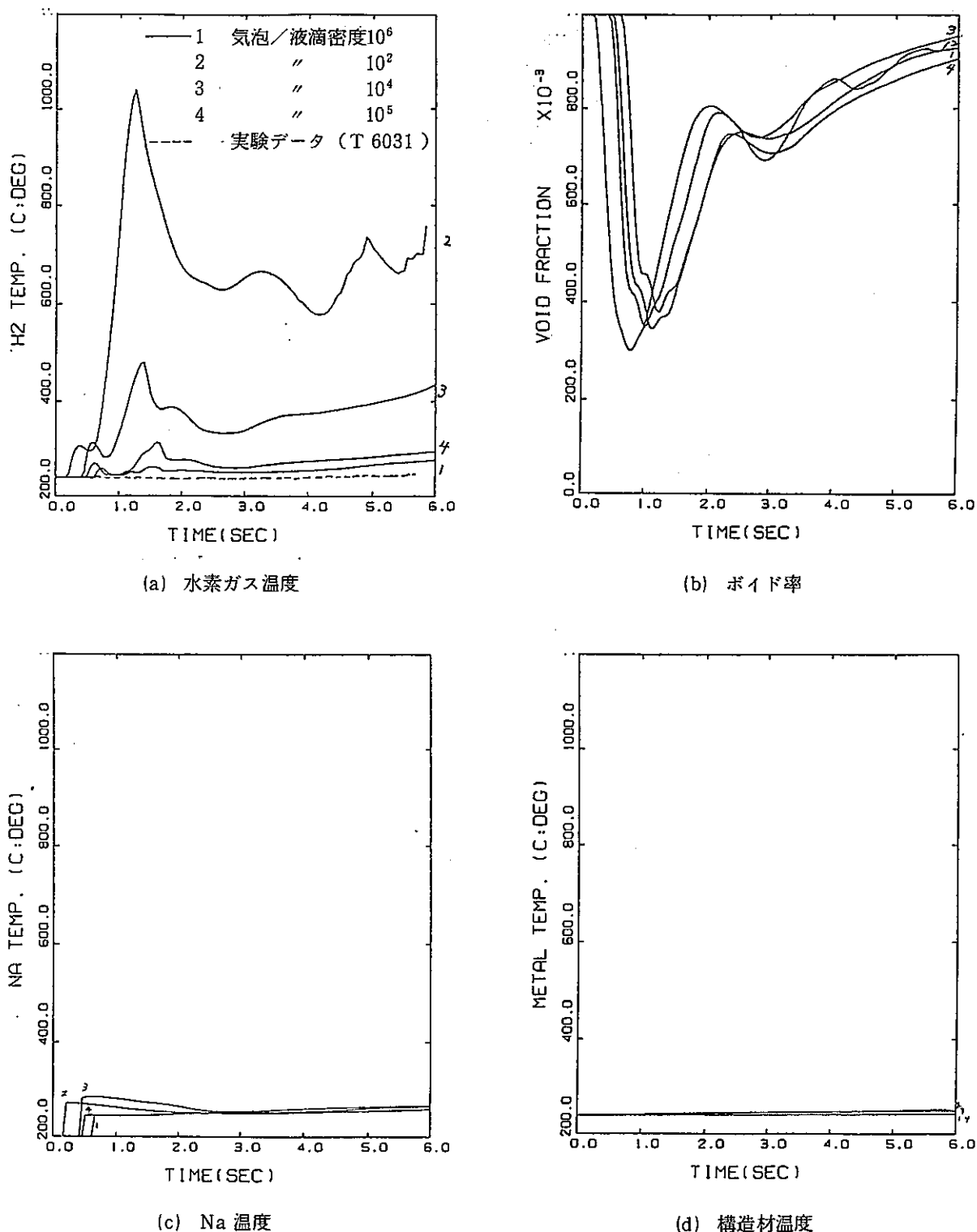


図 3.4-3 放出系配管における状態変化（ノード No. 24）

Comparison between Measurements in Run-7 Test and Calculations by SWAC-13E (Pressure Relief Line - Node 24 -).

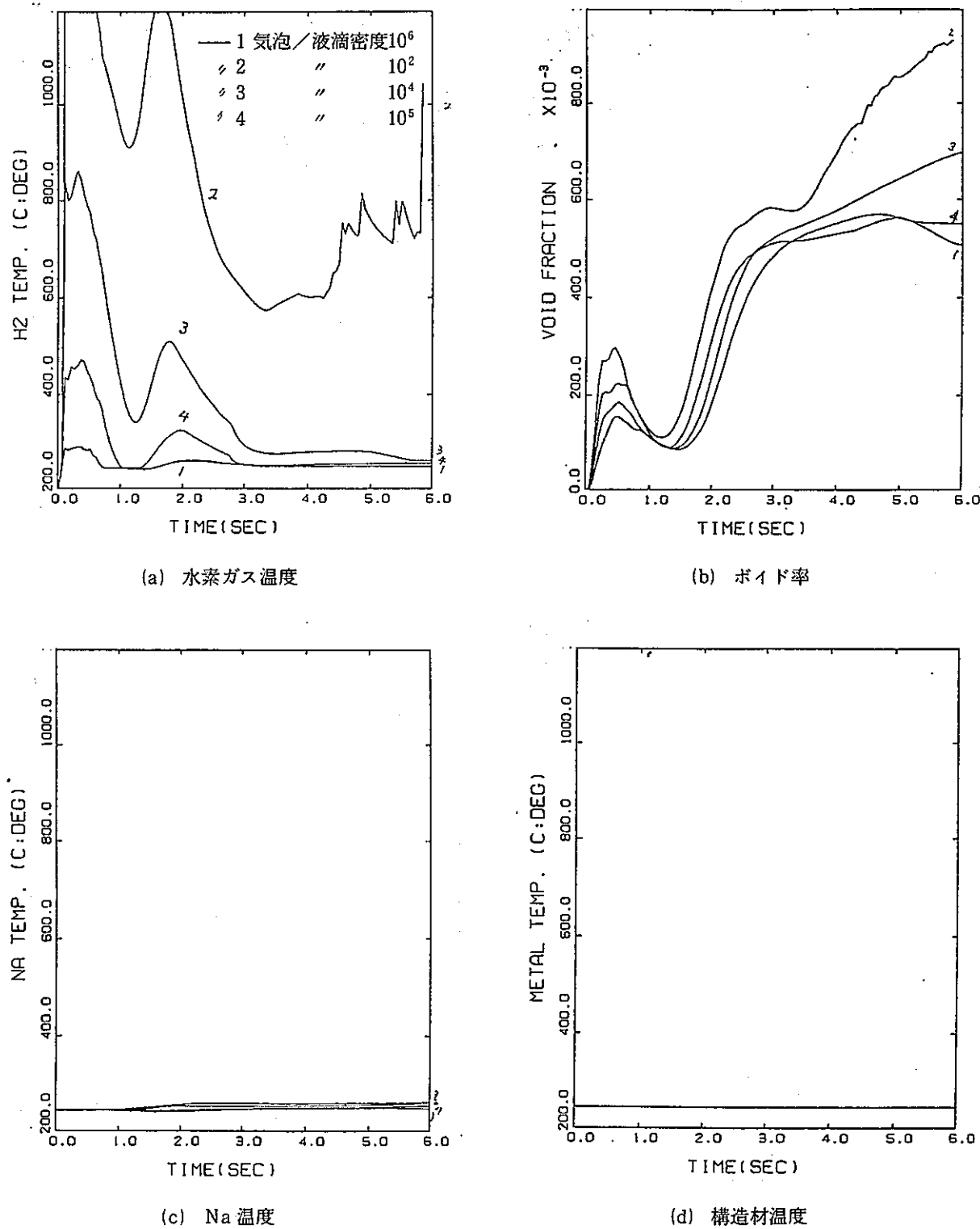
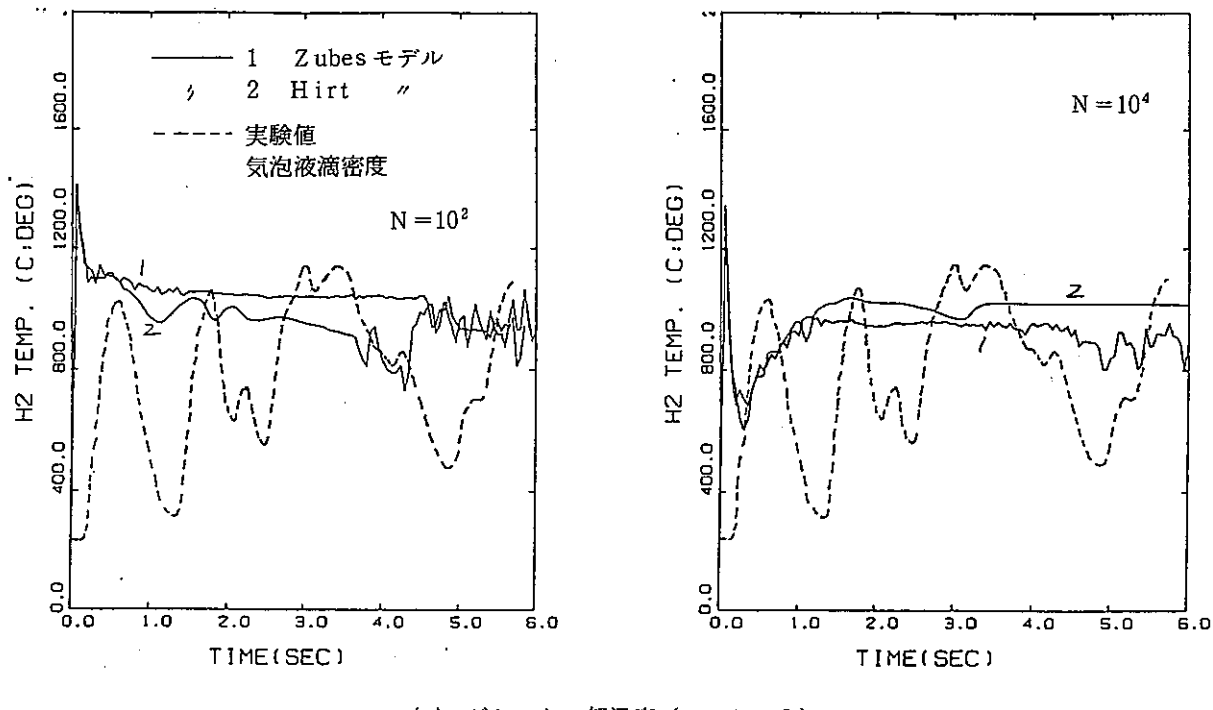
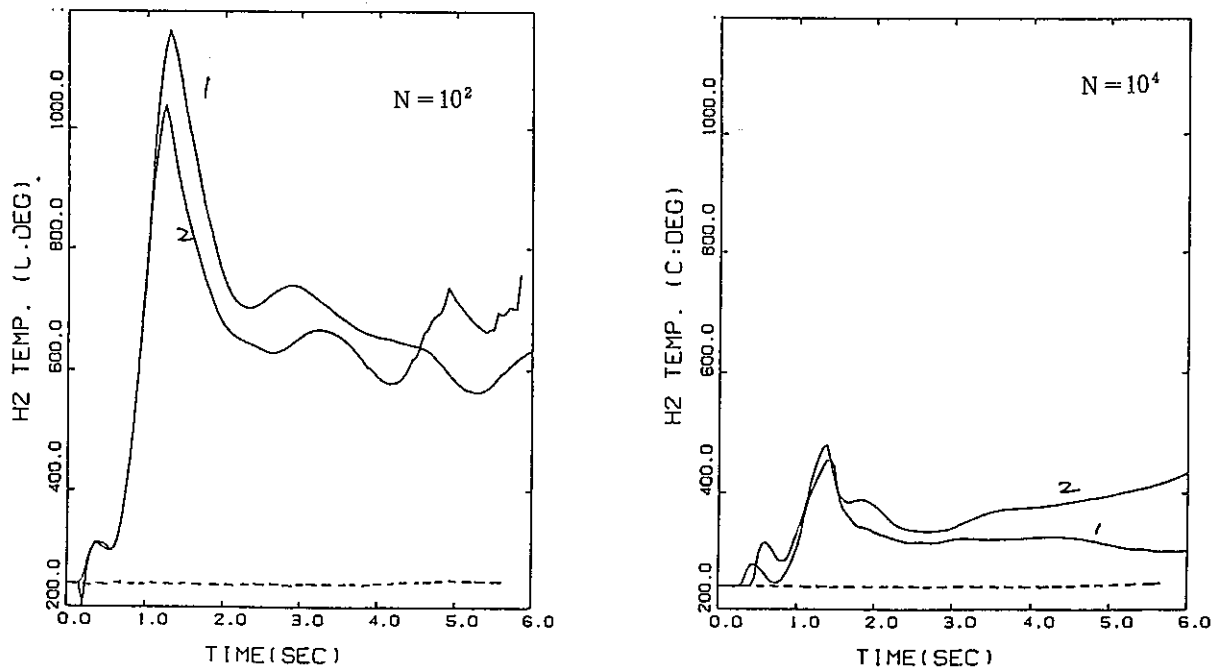


図 3.4-4 下部プレナムにおける状態変化 (ノード No. 14)

Comparison between Measurements in Run-7 Test and Calculations by SWAC-13E (Lower plenum of Evaporator - Node 14 -).



(a) ダウフカマ部温度 (ノードNo.3)



(b) 放出系配管部温度 (ノードNo.24)

図 3.4-5 相対速度モデルのサーベイ

Comparison between Measurements in Run-7 Test and Calculations by SWAC-13E (Parameter: Relative Velocity).

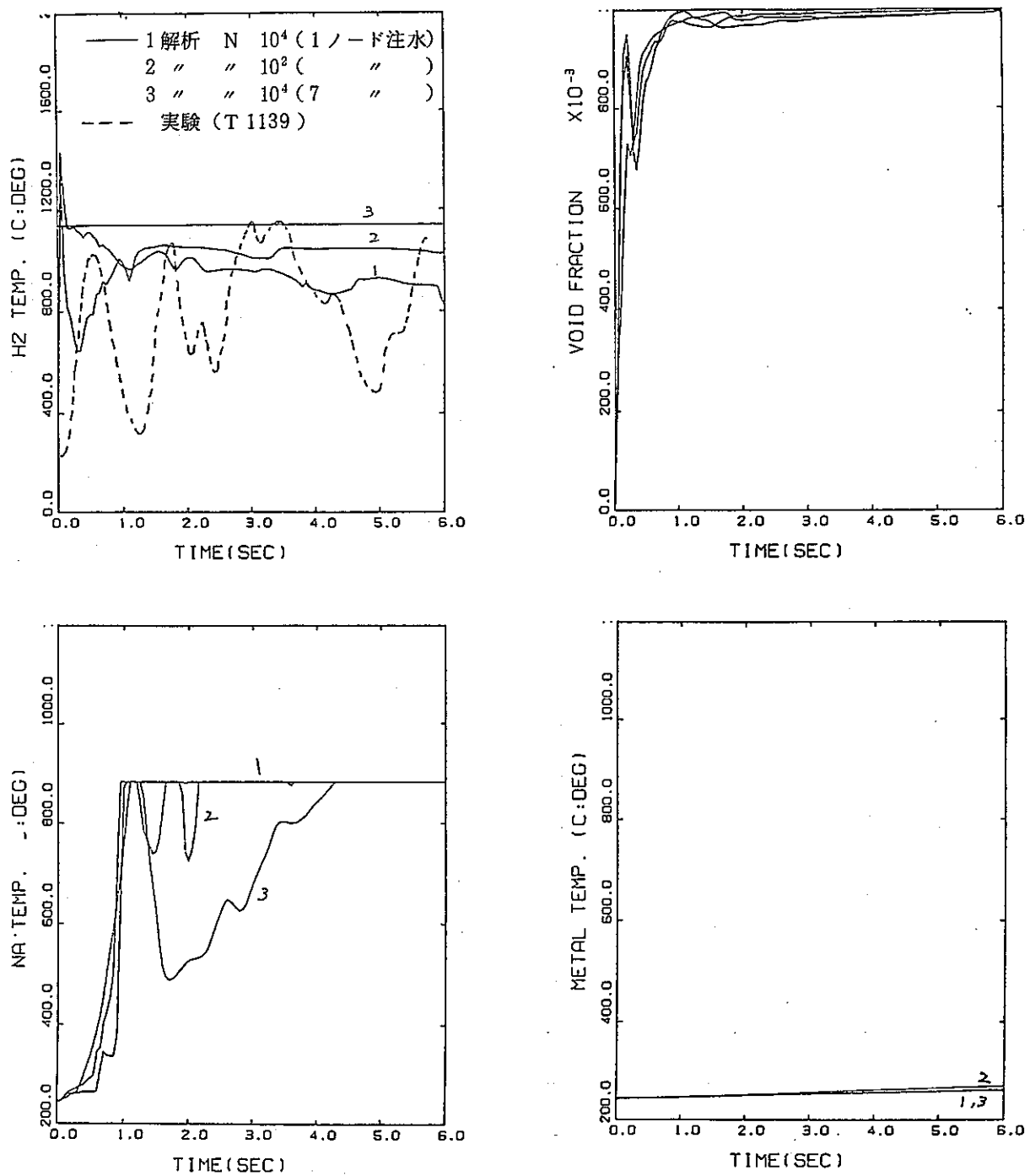


図 3.4-6 ダウンカマ中部の状態変化 (ノード No.3)

Comparison between Measurements in Run-7 Test and Calculations by SWAC-13E (Middle Downcomer - Node 3 -).

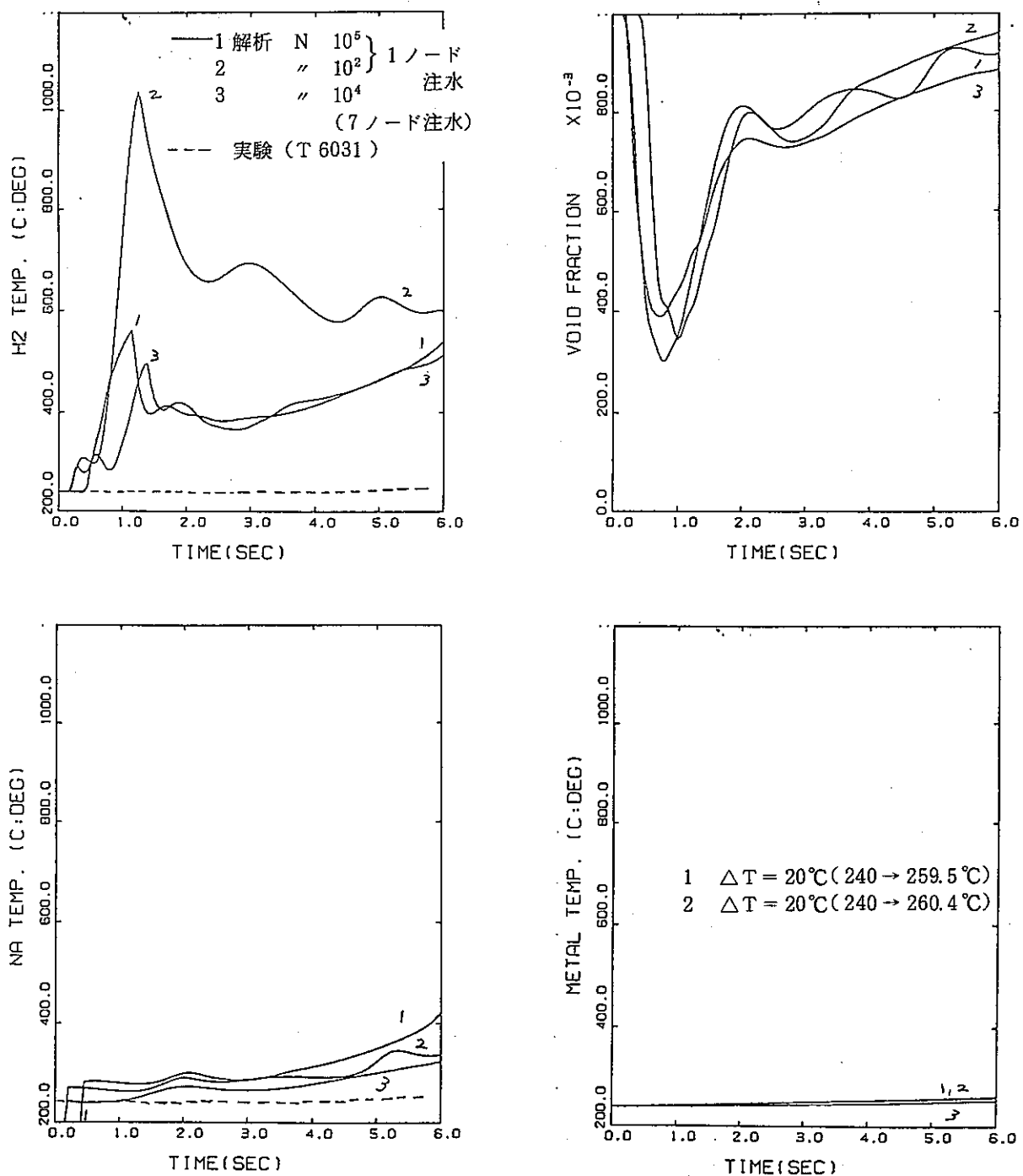


図 3.4-7 放出系配管部の状態変化 (ノードNo.24)

Comparison between Measurements in Run-6 Test and Calculations by SWAC-13E (Pressure Relief Line - Node 24 -).

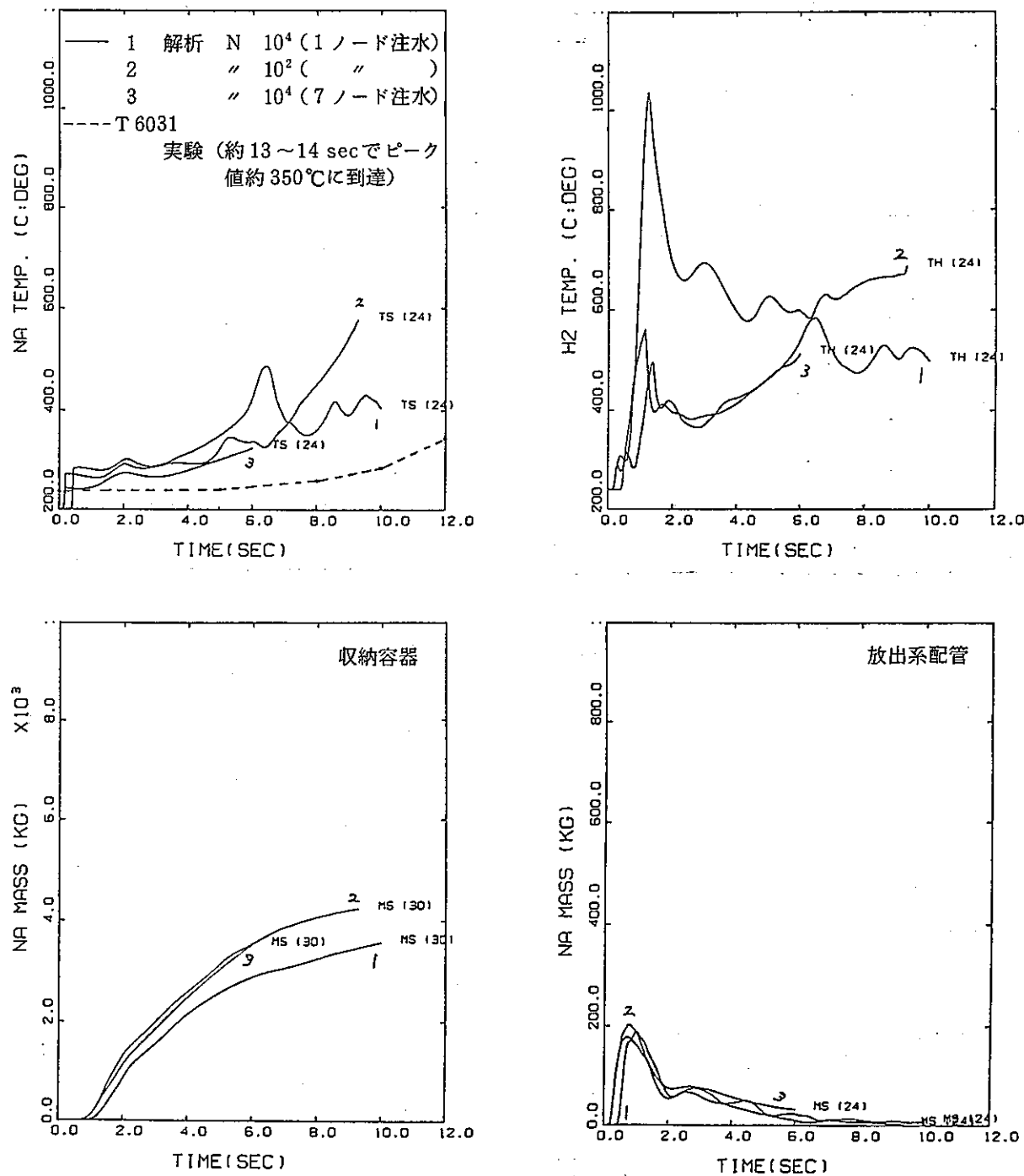


図 3.4-8 放出系内状態変化（長時間解析）

Comparison between Measurements in Run-7 Test and Calculations by SWAC-13E (Long-Term Analysis for Pressure Relief System).

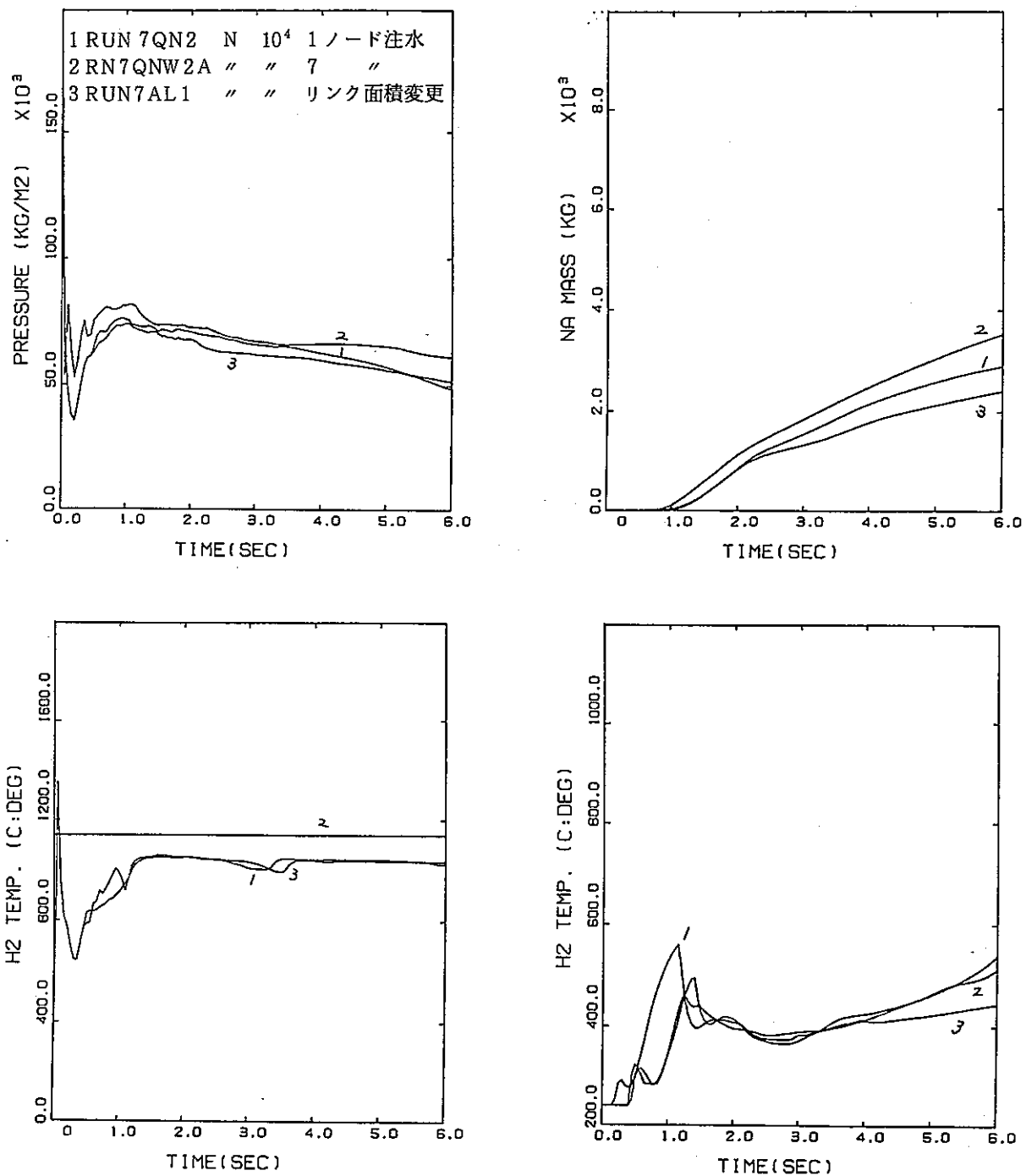


図 3.4-9 リンク面積及び注水ノードのサーベイ

Comparison between Measurements in Run-7 Test and Calculations by SWAC-13E (Parameter: Link Area, Number of Water Injection Node).

## 付 錄

### Appendix A コードの修正

- A. 1 非圧縮ノード→圧縮ノードへの圧力の連続性
- A. 2 反応熱の取扱い
- A. 3 ボイド率が非常に高くなった場合の処置
- A. 4 ナトリウム、ガスが対向流となる場合の処理
- A. 5 混合流体温度、同熱伝達率の計算及び出力
- A. 6 圧力開放板破裂時刻をインプットで指定

### Appendix B 入力データ・リスト

- B. 1 Run-4 入力データのカード・リスト
- B. 2 Run-5 " "
- B. 3 Run-6 " "
- B. 4 Run-7 " "

## Appendix A コードの修正

### A.1 非圧縮ノード→圧縮ノードへの圧力の連続性

#### (1) 問題点

ノードはそのボイド率によって圧縮ノードと非圧縮ノードとに分類される。即ち境界ボイド率（現状では  $10^{-3}$ ）以下のノードは非圧縮ノードとして、圧力も直接に導かれる圧縮ノードを基に圧力場を解く事によって求めている。

これは、気相密度よりノード圧力を定義する手法では、ボイド率が低い場合、小さな流動変化が大きな圧力変動をもたらすからである。ところが問題はナトリウム中に更に水素気泡が侵入して来て、ノードのボイド率が上記の境界ボイド率を越える際に圧力の不連続が生じる事にあった。

#### (2) 対策

この問題を解決するために以下のルーチンを追加した。

- i) 圧縮ノードと非圧縮ノードを結んでいるリンクを全て選び出し、圧力を上記の2通り手法、即ち状態式より直接に計算する方法と、圧力場を解いて間接的に求める方法を用いて計算する。
- ii) 非圧縮ノードについて上記2通りの定義に基づく圧力を比較し、間接的に得た値に近づくよう、非圧縮ノードのナトリウムを隣の圧縮ノードに移す（又は隣から移す）。
- iii) 但し、この操作は注水ノードを含むリンクには適用しない。

### A.2 反応熱の取扱い

#### (1) 問題点

反応によって発生する熱量のうち、水素ガスに直接移行する分については、注水ノードに対してインプットの形で水素ガス温度を与える事によって、考慮されている。しかし反応熱のうちかなりの部分は反応生成物（NaOH, Na<sub>2</sub>O等）を通してナトリウムに伝えられる。

これまでこのようなナトリウムに伝えられる熱量については考慮されていなかったので、温度評価上過小評価していた可能性がある。

#### (2) 対策

注水ノード内でナトリウムに移行する反応熱をインプットで与える。単位は kcal/molである。また同時に、ナトリウム温度が沸点（881.4 °C）に到達した時点で上昇を抑えていた内部エネルギーについても、この制限を取りはずし、ナトリウム温度が沸点に達した後も潜熱の形で内部エネルギーが上昇できるように変えた。これも反応熱を厳密に考慮するためになったものである。インプット仕様は以下の通り。

番地	実変数名	内 容	単位
4331	Q GEN	反応熱のうち直接水素ガスに移行する分を除いた熱量	$\frac{\text{kcal}}{\text{mole}}$

### A. 3 ボイド率が非常に高くなつた場合の処置

#### (1) 問題点

ボイド率がある境界値（現状では 0.9999）を越えると、ガス単相ノードとして取扱い、流体密度としてもガス密度を用いる事になっている。しかしながら、境界ボイド率を越えた前後のステップでの質量流量の変化は一般にそれほど大きくないため、ガス密度で割った体積流量は次のステップで相当大きくなり、水素ガスが上流ノードから無くなってしまうなどの障害が生じる。

#### (2) 対 策

上記の問題を取り除くため、ボイド率が境界値以上では上流ノードのガスが無くならないようチェック機能を設けた。

### A. 4 ナトリウム、ガスが対向流となる場合の処置

#### (1) 問題点

たとえばEV下部プレナムからコールド・レグ配管に向かうリンクで生じ易い問題であるが、リーコンピュータ開始後しばらくは水素ガスがコールド・レグ配管に侵入するが、その後ナトリウムは依然コールド・レグ配管に向かって押し出されて来るものの、水素ガスは逆向き（即ちEVにもどる方向に）流れるような状態がしばしば起きる。コード内では常に上流ノードにナトリウム／水素ガスが残っているかのチェックを行なっているが、いずれのノードが上流かの判断は、平均流量で見ており、ナトリウム／ガス別々に見ている訳ではないので、ガス流についての上流ノードが平均流量についての上流ノードと一致しない場合が出て来る。このため、既にガスの無くなつたノードから更にガスを奪うと言う状況が生じる。

#### (2) 対 策

流れの向きをナトリウム、ガスそれぞれ別個にチェックして、ガスの流れの上流ノードが非圧縮ノードとなつた場合は、ガス流速がゼロとなるようにドリフト速度を与える。

$$U_f = - \frac{W}{\alpha_s \rho_s}$$

但し、Wは混合平均質量流量、 $\alpha_s$ 、 $\rho_s$ 、はそれぞれホールドアップ及び液相の密度

### A. 5 混合流体温度、同熱伝達率の計算及び出力

#### (1) 問題点

本コードにおいては気相・液相がそれぞれ個別の流体温度及び熱伝達率で構造材との熱交換を

行なっている。しかし、構造評価用に用いられる一般の計算コードは通常1流体の温度・熱伝達率を入力する形となっている。このため、2流体に関する値から実効的な混合1流体の値を求めなければならない。

## (2) 対策

以下の式で実効的な混合流体温度、同熱伝達率を定義する。

$$\text{流体温度} : T_E = \frac{H_g A_g T_g + H_l A_l T_l}{H_g A_g + H_l A_l}$$

$$\left\{ \begin{array}{l} \text{流体} \rightarrow \text{構造材} \\ \text{への熱伝達率} \end{array} : H_E = \frac{H_g A_g + H_l A_l}{A} \right.$$

但し、 $H_g$ ,  $H_l$  : 気相／液相から構造材への熱伝達率

$T_g$ ,  $T_l$  : 気相／液相の流体温度

$A_g$ ,  $A_l$  : 気相／液相と構造材との接触面積で

ボイド率の関数として与える。但し

$$A_g + A_l = A \text{ (全接触面積)}$$

## A. 6 圧力開放板破裂時刻をインプットで指定

## (1) 問題点

圧力開放板は、開放板前後のノードの差圧が設定圧を越えた時に破裂するようになっているが、SWAC 13との比較の際など、特定の指定時刻に作動させたい場合がある。

## (2) 対策

各SG及びRPTの圧力開放板作動時刻をインプットで指定できるように改造した。インプット仕様は以下の通り。

番地	実変数名	内 容	単位
4332	TRDBST(i) (i=1~3)	各SGのR/D作動時刻 (default=1.0D10)	sec
4335	TCRBST	RPTのR/D作動時刻 (default=1.0D10)	sec

但し、この時刻指定を行う場合、該当するSGの開放板破裂設定圧は充分大きな値を入れておかねばならない。

## Appendix B 入力データ・リスト

本検証計算で用いたインプット・データのうち代表的なケースを各試験№毎に添付する。

- |       |              |                |
|-------|--------------|----------------|
| Run 4 | Case FX4     | (表 3.1 - 1 参照) |
| Run 5 | Case 11      | (表 3.2 - 1 参照) |
| Run 6 | Case R6H4.3S | (表 3.3 - 1 参照) |
| Run 7 | Case RUN7QN2 | (表 3.4 - 1 参照) |

## B.1 Run 4 入力データのカード・リスト

```

==== SWAC-13E   SWAT-3 RUN-4 INPUT DATA    CASE FX4    1984/11/14 ====
***** SWACS CONTOL DATA INPUT *****
  1   4     0     0     1     0
  5   4     0     0 10000     0
 26   5   100   200   200 1000 2000
 49   1     1
 52   1     1
 56   1   50
 58   1     1

  1   5   0.000   0.000   0.000   6.000   0.000

==== SWAT-3 RUN-4 QUASI-STEADY PRESSURE CALCULATION === CASE-FX4 ===
***** SWACS QUASI-STEADY PRESSURE ORIGINAL INPUT DATA
  1   4   2   28   34   28
  5   5   4   3     0   13   22
 11   8   7   10   12   13     0   20   21   22
 26   8   7   8     11   18   19   20   21   22
 47  10   1   1     2     3     8     4     5     6     6     7
 57  10   8   8     9     10     8     11     12     14     15     16
 67  10   17   18   19   20   19   21   21   23   24   25
 77   4   26   22   27   28
102  10   7     2     3     8     4     5     6     14     7     13
112  10   16   9     10   13   11   12   13   15   19   17
122  10   18   21   20   22   21   22   23   24   25   26
132   4   28   27   25     0
157   3   8   12   13
160   8   1   2     3     4     5     6     7     9
180  10   8   11   19   20   21   22   25   26   27   31
190   2   32   33
210  10   0     0     0     0     0     0     0     1     0     0
220  10   1     0     0     0     0     0     0     0     1     1
230  10   1   1     0     0     1     1     1     0     0     0
240   4   1   1     1     0
265  10   8   11   18   19   20   21   22   27   28   29
275   3   30   32   33
285  10   0     0     0     0     0     0     0     1     0     0
295  10   2     0     0     0     0     0     0     3     1     4
305  10   4     2     0     0     0     0     0     1     1     1     2
315   4   0     2     1     0
410   1   1
440   2   1     2
510   3   1   1     1
520   1   1
530   4   1   1     1     1
540   4   1   1     1     1
550   2   1   1
600   1   1
610   1   1
620   1   1
630   2   1   1
650   2   1   2
660   1   1
890   2   1   1
901   3   4     0     2

***** 904 : OPTION FOR DRIFT VELOCITY CALCULATION
***** 905 : OPTION FOR FRICTION LOSS OF BANKS TUBES
  904   7   1   1     0     0     0     0
***** 911 : REPRESENTATIVE SUBLINK NUMBER OF LINK
  911  10   1   1     1     1     1     1     1     1     1
  921  10   1   1     1     1     1     1     1     1     1
  931  10   1   1     1     1     1     1     1     1     1
  941   4   1   1     1     1
***** 1001 : OPTION FOR MOMENTUM CALCULATION OF NODE
 1001  10   0     0     0     0     0     0     0     0     0
 1011  10   0     0     0     0     0     0     0     0     0
 1021   8   0     0     0     0     0     0     0     0
***** 1045 : OUTPUT CONTROL DATA
 1045  10   5     5     0     0     0     2     4     0     0
***** 1091 : OPTION FOR REACTION ZONE TEMPERATURE CALCULATION
 1091   1   0
***** SWAC-13E QUASI-STEADY PRESSURE OPTION INPUT DATA

***** SWACS QUASI-STEADY PRESSURE ORIGINAL INPUT DATA
  7   1     0.55
 10   4     0.55     0.0     0.55   1.297
 20   3     0.381    0.381    0.676
 41   3     6.1      0.045   0.0254

```

## PNC SN941 85-53

44	5	5.40	4.40	3.40	3.40	4.40
49	5	5.40	6.28	2.31	3.84	5.71
54	5	3.84	5.71	6.90	3.99	1.05
59	5	0.89	3.40	5.85	3.84	5.71
64	5	5.13	6.82	6.93	9.32	9.88
69	3	14.5	9.29	14.5		
84	5	0.473	0.473	0.473	0.819	0.819
89	5	0.819	1.117	1.3	0.523	0.523
94	5	0.3334	0.3334	1.3	0.2033	0.2033
99	5	0.136	0.1999	0.0775	0.8	0.2979
104	5	0.734	0.8	0.2979	0.2979	0.2979
109	3	0.2979	0.152	3.0		
124	5	1.0	1.0	1.0	1.0	1.0
129	5	1.0	0.75	1.071	1.875	1.875
134	5	1.875	1.875	1.297	8.395	8.395
139	5	13.86	4.5	17.33	0.514	2.7
144	5	2.7	0.676	4.82	4.82	4.82
149	3	4.82	11.995	5.54		
164	1	0.816				
174	1	0.816				
184	1	0.816				
194	1	0.816				
204	1	0.816				
214	1	0.816				
224	1	0.816				
234	2	0.2033	0.2033			
244	1	0.816				
254	1	0.816				
264	2	0.2033	0.2033			
274	1	0.110				
284	1	0.110				
294	1	0.110				
304	1	0.3334				
314	1	0.3334				
324	1	0.3334				
334	1	0.2033				
344	2	0.2033	0.2033			
354	2	0.0527	0.1999			
364	2	0.0527	0.1999			
374	2	0.0527	0.2033			
384	1	0.2979				
394	1	0.2979				
404	2	0.120	0.120			
414	2	0.120	0.120			
424	2	0.2979	0.2979			
434	1	0.2979				
444	1	0.2979				
454	1	0.2979				
464	2	0.2979	0.2979			
474	2	0.152	0.152			
484	2	0.152	0.152			
494	1	0.248				
714	1	0.5				
724	1	1.0				
734	1	1.0				
744	1	0.5				
754	1	0.5				
764	1	1.0				
774	1	1.0				
784	2	2.099	2.099			
794	1	0.5				
804	1	0.75				
814	2	2.807	2.807			
824	1	0.938				
834	1	1.875				
844	1	0.938				
854	1	0.938				
864	1	1.875				
874	1	0.938				
884	1	8.395				
894	2	2.099	2.099			
904	2	8.244	2.25			
914	2	8.67	2.25			
924	2	8.67	1.454			
934	1	1.35				
944	1	1.35				
954	2	0.675	0.675			
964	2	0.675	0.675			

974	2	1.205	1.205			
984	1	4.82				
994	1	4.82				
1004	1	4.82				
1014	2	1.205	1.205			
1024	2	3.0	3.0			
1034	2	3.0	3.0			
1044	1	0.1				
1334	1	90.				
1364	2	90.	90.			
1434	3	90.	90.	90.		
1444	1	90.				
1454	4	90.	90.	90.	90.	
1464	4	90.	90.	90.	90.	
1474	2	90.	90.			
1524	1	90.				
1534	1	90.				
1544	1	90.				
1554	2	90.	90.			
1574	2	90.	90.			
1584	1	90.				
1884	1	10.				
1914	1	0.5				
1994	1	1.0				
2004	1	6.2				
2014	1	0.5				
2024	1	5.95				
2054	1	2.8				
2064	1	2.8				
2074	1	0.5				
2114	1	1.0				
2124	1	0.5				
2134	1	1.0				
2434	1	3.0				
2464	2	3.0	3.0			
2534	3	3.0	3.0	3.0		
2544	1	3.0				
2554	4	3.0	3.0	3.0	3.0	
2564	4	3.0	3.0	3.0	3.0	
2574	2	3.0	3.0			
2624	1	3.0				
2634	1	3.0				
2644	1	3.0				
2654	2	3.0	3.0			
2674	2	3.0	3.0			
2684	1	3.0				
2914	5	12.5	25.	25.	12.5	12.5
2919	4	25.	25.	0.0	12.5	
2969	5	1.5E+4	1.5E+4	0.	1.5E+4	1.033E+4
2974	5	3.9E+4	10.E+9	0.	1.4E+4	380.
3034	5	2.07	1.0	1.0	1.0	1.0
3039	5	1.18	2.15	1.0	1.0	1.43
3044	5	1.0	1.43	2.19	1.11	1.0
3049	5	1.0	1.0	1.0	1.0	1.0
3054	5	1.0	1.0	1.44	1.44	1.44
3059	3	1.44	1.44	1.26		
3074	5	10.E+9	10.E+9	10.E+9	1.0	0.06
3079	2	0.5	0.64			
3081	1	1.0				
3121	4	0.0	1.0	9.0	100.0	
3141	4	9.0	9.0	7.2	7.2	
3161	1	1.0				
3162	5	2.0	2.0	2.0	2.0	2.0
3167	5	2.0	2.0	1.0	2.0	2.0
3172	5	1.0	2.0	2.0	2.0	2.0
3177	5	2.0	2.0	1.0	1.0	1.0
3182	5	1.0	1.0	1.0	1.0	1.0
3187	5	1.0	2.0	2.0	2.0	2.0
3192	4	2.0	2.0	2.0	2.0	
3257	4	420.55	9.807	9.807	1.66	
3262	3	1.0E-3	100.0	0.0		
3311	1	0.176				
3321	1	0.176				
3331	1	0.176				
3341	1	0.176				
3351	1	0.528				
3361	1	0.528				
3371	1	0.528				

3391 1 0.528  
 3401 1 0.881  
 3421 1 0.215  
 3431 1 0.215  
 3441 1 0.215  
 3551 2 0.423 0.423  
 3561 2 0.423 0.423  
 3311 1 0.1264  
 3321 1 0.1264  
 3331 1 0.1264  
 3341 1 0.1264  
 3351 1 0.3791  
 3361 1 0.3791  
 3371 1 0.3791  
 3391 1 0.3791  
 3900 1 0.05E-3  
\*\*\*\*\* 3079 : H2/H2O MOLE CONVERSIN RATIO  
 3079 1 0.500  
\*\*\*\*\* SWAC-13E QUASI-STEADY PRESSURE OPTION INPUT DATA  
\*\*\*\*\* 4001 : INITIAL TEMPERATURE OF NODE  
 4001 5 380.0 380.0 380.0 380.0 380.0  
 4006 5 380.0 380.0 380.0 380.0 380.0  
 4011 5 380.0 380.0 380.0 380.0 380.0  
 4016 5 380.0 380.0 380.0 380.0 380.0  
 4021 5 380.0 380.0 295.0 295.0 295.0  
 4026 3 295.0 295.0 340.0  
\*\*\*\*\* 4041 : H2 GAS TEMPERATURE OF REACTION NODE  
 4041 5 1175.0 20.00 1.380 0.660 1.356E-11  
 4046 1 0.140  
\*\*\*\*\* 4047 : DRAG COEFFICIENT OF BUBBLE/DOPPLET  
\*\*\*\*\* 4048 : BUBBLE/DOPPLET DENSITY  
 4047 2 1.000 1.000E+04  
 4049 4 0.500 0.050 0.500 0.040  
 4057 1 0.0083  
\*\*\*\*\* 4061 : HEAT TRANSFER EQ.  
 4061 4 0.025 0.800 0.800 5.000  
 4065 4 0.023 0.800 0.400 0.000  
 4069 5 0.921 0.500 0.500 0.000 1.000  
 4074 5 0.600 0.500 0.333 2.000 1.000  
\*\*\*\*\* 4101 : EFFECTIVE THERMAL LENGTH OF STRUCTURE OF NODE  
 4101 5 4.500E-03 4.500E-03 4.500E-03 4.500E-03 4.500E-03  
 4106 5 4.500E-03 4.500E-03 1.500E-03 1.500E-03 1.500E-03  
 4111 5 0.000 0.000 1.500E-03 3.250E-03 3.250E-03  
 4116 5 3.250E-03 4.100E-03 1.950E-03 9.500E-03 5.150E-03  
 4121 5 9.500E-03 9.500E-03 5.150E-03 5.150E-03 5.150E-03  
 4126 3 5.150E-03 3.550E-03 16.00E-03  
\*\*\*\*\* 4141 : INNER HERT TRANSFER AREA OF STRUCTURE OF NODE  
 4141 5 1.200 1.200 1.200 3.600 3.600  
 4146 5 3.600 3.600 4.820 7.660 7.660  
 4151 5 0.000 0.000 6.340 5.360 5.360  
 4156 5 4.950 2.830 3.560 1.460 2.530  
 4161 5 6.790 1.810 4.510 4.510 4.510  
 4166 3 4.510 5.690 56.55  
\*\*\*\*\* 4221 : WEIGHT OF STRUCTURE ATTACHED TO NODE  
 4221 5 88.500 88.500 88.500 265.50 265.50  
 4226 5 265.50 266.00 1127.0 1833.0 1833.0  
 4231 5 0.0000 0.0000 1484.0 281.00 281.00  
 4236 5 232.00 188.00 134.00 171.00 210.00  
 4241 5 1030.0 211.00 375.00 375.00 375.00  
 4246 3 375.00 330.00 14115.  
\*\*\*\*\* 4261 : HYDRAULIC DIAMETER OF NODE  
 4261 5 0.0092 0.0092 0.0092 0.0092 0.0092  
 4266 5 0.0092 0.8160 1.3000 0.1100 0.1100  
 4271 5 0.0000 0.0000 1.3000 0.2033 0.2033  
 4276 5 0.2033 0.1999 0.0527 0.8000 0.2979  
 4281 5 0.1200 0.8000 0.2979 0.2979 0.2979  
 4286 3 0.2979 0.1510 3.0000  
\*\*\*\*\* 4310 : TIME STEP CONTROL DATA  
 4310 2 1.000 100.0  
 4315 2 0.010 0.010  
 4320 2 0.001 0.001  
 4325 5 0.010 7.110E+06 7.110E+06 7.110E+06 1000.0  
 4330 1 1000.0  
\*\*\*\*\* 4331 : SODIUM-WATER REACTION ENERGY  
 4331 1 30.00

## B.2 Run 5 入力データのカード・リスト

SWAT-3 Q.S.P.(SWAC13E) --CASE 11 (NBUB=10\*\*\*4) DEC.20.1984 -

3	1	1				
7	1	10000				
26	5	100	200	200	1000	2000
49	1	1				
52	1	1				
56	1	50				
58	1	1				
4	1	.. 6.0				
SWAT-3 CASE 4A QUASI-STADY PRESSURE CALCULATION CASE-4A SW13E						
1	4	2	28	34	28	
5	5	4	3	0	13	22
11	8	7	10	12	13	0
26	8	7	8	11	18	19
47	10	1	2	3	1	8
57	10	8	8	9	10	8
67	10	17	18	19	20	19
77	4	26	22	27	28	
102	10	2	3	7	8	4
112	10	16	9	10	13	11
122	10	18	21	20	22	21
132	4	28	27	25	0	
157	3	8	12	13		
160	8	1	2	3	4	5
180	10	8	11	19	20	21
190	2	32	33			
210	10	0	0	0	0	0
220	10	1	0	0	0	0
230	10	1	1	0	0	1
240	4	1	1	1	0	
265	10	8	11	18	19	20
275	3	30	32	33		
285	10	0	0	0	0	0
295	10	2	0	0	0	0
305	10	4	2	0	0	0
315	4	0	2	1	0	1
410	1	1				
440	2	1	2			
510	3	1	1	1		
520	1	1				
530	4	1	1	1	1	
540	4	1	1	1	1	
550	2	1	1			
600	1	1				
610	1	1				
620	1	1				
630	2	1	1			
650	2	1	2			
660	1	1				
890	2	1	1			
901	1	4				
903	7	2	1	1	0	0
911	10	1	1	1	1	1
921	10	1	1	1	1	1
931	10	1	1	1	1	1
941	4	1	1	1	1	1
1001	10	0	0	0	0	0
1011	10	0	0	0	0	0
1011	8	0	0	0	0	0
1045	2	5	5			
1050	2	2	4			
1091	1	0				
7	1	0.10				
10	4	0.10	0.0	0.10	1.757	
20	3	0.391	0.391	0.676		
41	3	6.09	0.05	0.0318		
44	5	3.44	4.34	5.24	3.44	4.34
49	5	5.24	5.94	2.356	3.79	5.39
54	5	3.79	5.39	6.90	3.99	1.05
59	5	0.89	3.40	5.85	3.84	5.71
64	5	5.13	6.82	6.93	9.32	9.88
69	3	14.5	9.29	14.5		
84	5	0.421	0.421	0.421	0.729	0.729
89	5	0.729	1.021	1.3	0.591	0.591
94	5	0.3047	0.3047	1.3	0.2033	0.2033

99	5	0.136	0.1999	0.0775	0.8	0.2979
104	5	0.734	0.8	0.2979	0.2979	0.2979
109	3	0.2979	0.152	3.0		
124	5	0.9	0.9	0.9	0.9	0.9
129	5	0.9	0.5	1.161	1.6	1.6
134	5	1.6	1.6	1.757	8.395	8.395
139	5	13.86	4.5	17.33	0.514	2.7
144	5	2.7	0.676	4.82	4.82	4.82
149	3	4.82	11.995	5.54		
164	1	0.636				
174	1	0.636				
184	1	0.636				
194	1	0.636				
204	1	0.636				
214	1	0.636				
224	1	0.636				
234	2	0.2033	0.2033			
244	1	0.636				
254	1	0.636				
264	2	0.2033	0.2033			
274	1	0.142				
284	1	0.142				
294	1	0.142				
304	1	0.3047				
314	1	0.3047				
324	1	0.3047				
334	1	0.2033				
344	2	0.2033	0.2033			
354	2	0.0527	0.1999			
364	2	0.0527	0.1999			
374	2	0.0527	0.2033			
384	1	0.2979				
394	1	0.2979				
404	2	0.120	0.120			
414	2	0.120	0.120			
424	2	0.2979	0.2979			
434	1	0.2979				
444	1	0.2979				
454	1	0.2979				
464	2	0.2979	0.2979			
474	2	0.152	0.152			
484	2	0.152	0.152			
494	1	0.248				
714	1	0.9				
724	1	0.9				
734	1	0.45				
744	1	0.45				
754	1	0.45				
764	1	0.9				
774	1	0.9				
784	2	2.099	2.099			
794	1	0.45				
804	1	0.5				
814	2	2.807	2.807			
824	1	0.8				
834	1	1.6				
844	1	0.8				
854	1	0.8				
864	1	1.6				
874	1	0.8				
884	1	8.395				
894	2	2.099	2.099			
904	2	8.244	2.25			
914	2	8.67	2.25			
924	2	8.67	1.454			
934	1	1.35				
944	1	1.35				
954	2	0.675	0.675			
964	2	0.675	0.675			
974	2	1.205	1.205			
984	1	4.82				
994	1	4.82				
1004	1	4.82				
1014	2	1.205	1.205			
1024	2	3.0	3.0			
1034	2	3.0	3.0			
1044	1	0.1				
1334	1	90.				

1364	2	90.	90.		
1434	3	90.	90.	90.	
1444	1	90.			
1454	4	90.	90.	90.	90.
1464	4	90.	90.	90.	90.
1474	2	90.	90.		
1524	1	90.			
1534	1	90.			
1544	1	90.			
1554	2	90.	90.		
1574	2	90.	90.		
1584	1	90.			
1884	1	10.			
1914	1	0.5			
1994	1	1.0			
2004	1	6.2			
2014	1	0.5			
2024	1	5.95			
2054	1	2.8			
2064	1	2.8			
2074	1	0.5			
2114	1	1.0			
2124	1	0.5			
2134	1	1.0			
2434	1	3.0			
2464	2	3.0	3.0		
2534	3	3.0	3.0	3.0	
2544	1	3.0			
2554	4	3.0	3.0	3.0	3.0
2564	4	3.0	3.0	3.0	3.0
2574	2	3.0	3.0		
2624	1	3.0			
2634	1	3.0			
2644	1	3.0			
2654	2	3.0	3.0		
2674	2	3.0	3.0		
2684	1	3.0			
2914	5	18.	18.	9.	9.
2919	4	18.	18.	0.	9.
2969	5	1.5E+4	1.5E+4	0.	1.5E+4
2974	5	3.7E+4	3.2E+4	0.	1.8E+4
3034	5	2.36	2.25	2.28	1.22
3039	5	1.22	2.12	1.22	1.11
3044	5	1.11	1.27	1.41	1.08
3049	5	1.0	1.0	1.0	1.0
3054	5	1.0	1.0	1.3	1.3
3059	3	1.3	1.3	1.05	
3074	5	10.E+9	10.E+9	10.E+9	1.0
3079	2	0.5	2.981		0.06
3081	1	1.0			
3121	4	0.0	1.0	9.0	100.0
3141	4	15.0	15.0	11.0	11.0
3161	1	1.0			
3162	5	2.0	2.0	2.0	2.0
3167	5	2.0	2.0	1.0	2.0
3172	5	1.0	2.0	2.0	2.0
3177	5	2.0	2.0	1.0	1.0
3182	5	1.0	1.0	1.0	1.0
3187	5	1.0	2.0	2.0	2.0
3192	4	2.0	2.0	2.0	2.0
3257	4	420.55	9.807	9.807	1.66
3262	3	1.0E-3	100.	0.	
3311	1	0.0985			
3321	1	0.0985			
3331	1	0.0985			
3341	1	0.0985			
3351	1	0.2955			
3361	1	0.2955			
3371	1	0.2955			
3391	1	0.2955			
3401	1	0.8192			
3421	1	0.2741			
3431	1	0.2741			
3441	1	0.2741			
3551	2	0.423	0.423		
3561	2	0.423	0.423		
3900	1	0.05E-3			
4001	5	360.	360.	360.	360.

## PNC SN941 85-53

4006	5	360.	360.	360.	360.	360.
4011	5	360.	360.	360.	360.	360.
4016	5	360.	360.	360.	360.	360.
4021	5	360.	360.	300.	300.	300.
4026	3	300.	300.	345.		
4041	5	1250.	0.	1.38	0.66	1.356E-11
4046	5	0.14	1.0	1.E+4	0.5	0.05
4051	2	0.5	0.05			
4057	1	0.0083				
4061	5	0.025	0.8	0.8	5.0	0.023
4066	5	0.8	0.4	0.0	0.921	0.5
4071	5	0.5	0.0	1.0	0.6	0.5
4076	3	0.333	2.0	1.0		
4101	5	0.005	0.005	0.005	0.005	0.005
4106	5	0.005	0.005	0.015	0.015	0.015
4111	5	0.00345	0.00345	0.015	0.00325	0.00325
4116	5	0.00325	0.0041	0.00195	0.0095	0.00515
4121	5	0.0095	0.0095	0.00515	0.00515	0.00515
4126	3	0.00515	0.00355	0.016		
4141	5	1.159	1.159	1.159	3.477	3.477
4146	5	3.477	2.576	5.183	6.535	6.535
4151	5	1.532	1.532	8.218	5.36	5.36
4156	5	4.95	2.83	3.56	1.46	2.53
4161	5	6.79	1.81	4.51	4.51	4.51
4166	3	4.51	5.69	56.55		
4221	5	116.45	116.45	116.45	349.35	349.35
4226	5	349.35	258.8	1212.7	1564.4	1564.4
4231	5	84.3	84.3	1923.1	281.0	281.0
4236	5	232.0	188.0	134.0	171.0	210.0
4241	5	1030.0	211.0	375.0	375.0	375.0
4246	3	375.0	330.0	14115.		
4261	5	0.4323	0.4323	0.4323	0.4323	0.4323
4266	5	0.4323	0.636	1.3	0.2685	0.2685
4271	5	0.3047	0.3047	1.3	0.2033	0.2033
4276	5	0.2033	0.1999	0.0527	0.8	0.2979
4281	5	0.12	0.8	0.2979	0.2979	0.2979
4286	3	0.2979	0.151	3.0		
4310	2	1.0	100.			
4315	2	0.01	0.01			
4320	2	0.001	0.001			
4325	5	0.01	7.11E+6	7.11E+6	7.11E+6	1000.
4330	1	1000.				
4331	1	30.				

## B.3 Run 6 入力データのカード・リスト

== QUASI-STEADY PRES CALCULATION FOR SWAT-3 RUN-6 TEST FEB.1,1980 ==

3	1	1				
7	1	10000				
26	5	100	200	200	1000	2000
49	1	1				
52	1	1				
56	1	50				
58	1	1				

4 1 6.0

== SWAT-3 RUN-6 QUASI-STEADY PRESSURE CALCULATION CASE-R6H43S ==

1	4	2	28	34	28						
5	5	4	3	0	13	22					
11	8	7	10	12	13	0	20	21	22		
26	8	7	8	11	18	19	20	21	22		
47	10	1	2	3	1	8	4	5	6	6	7
57	10	8	8	9	10	8	11	12	14	15	16
67	10	17	18	19	20	19	21	13	23	24	25
77	4	26	22	27	28						
102	10	2	3	7	8	4	5	6	14	7	13
112	10	16	9	10	13	11	12	13	15	19	17
122	10	18	21	20	22	21	22	23	24	25	26
132	4	28	27	25	0						
157	3	8	12	13							
160	8	1	2	3	4	5	6	7	9		
180	10	8	11	19	20	21	22	25	26	27	31
190	2	32	33								
210	10	0	0	0	0	0	0	0	1	0	0
220	10	1	0	0	0	0	0	0	0	1	1
230	10	1	1	0	0	1	1	1	0	0	0
240	4	1	1	1	0						
265	10	8	11	18	19	20	21	22	27	28	29
275	3	30	32	33							
285	10	0	0	0	0	0	0	0	1	0	0
295	10	2	0	0	0	0	0	0	3	1	4
305	10	4	2	0	0	0	0	1	1	1	2
315	4	0	2	1	0						
410	1	1									
440	2	1	2								
510	3	1	1	1							
520	1	1									
530	4	1	1	1	1						
540	4	1	1	1	1						
550	2	1	1								
600	1	1									
610	1	1									
620	1	1									
630	2	1	1								
650	2	1	2								
660	1	1									
890	2	1	1								
901	1	4									
903	4	2	1	1	0						
1045	2	5	5								
1050	2	2	4								
1091	1	0									

7	1	0.38				
10	4	0.38	0.0	0.38	1.447	
20	3	0.361	0.361	0.676		
41	3	6.12	0.045	0.0254		
44	5	3.35	4.35	5.35	3.35	4.35
49	5	5.35	6.18	2.29	3.79	5.59
54	5	3.76	5.59	6.90	3.99	1.05
59	5	0.89	3.40	5.85	3.49	5.13
64	5	5.13	6.82	6.93	9.32	9.88
69	3	14.5	9.29	14.5		
84	5	0.451	0.451	0.451	0.781	0.781
89	5	0.781	1.068	1.3	0.619	0.619
94	5	0.3185	0.3185	1.3	0.2033	0.2033
99	5	0.136	0.1999	0.0775	0.8	0.2979
104	5	0.734	0.8	0.2979	0.2979	0.2979
109	3	0.2979	0.152	3.0		
124	5	1.0	1.0	1.0	1.0	
129	5	1.0	0.65	1.021	1.825	1.825
134	5	1.825	1.825	1.447	8.395	8.395
139	5	13.86	4.5	17.33	0.514	2.7

## PNC SN941 85-53

144	5	2.7	0.676	4.82	4.82	4.82
149	3	4.82	11.995	5.54		
164	1	0.7717				
174	1	0.7717				
184	1	0.7717				
194	1	0.7717				
204	1	0.7717				
214	1	0.7717				
224	1	0.7717				
234	2	0.2033	0.2033			
244	1	0.7717				
254	1	0.7717				
264	2	0.2033	0.2033			
274	1	0.157				
284	1	0.157				
294	1	0.157				
304	1	0.3185				
314	1	0.3185				
324	1	0.3185				
334	1	0.2033				
344	2	0.2033	0.2033			
354	2	0.0527	0.1999			
364	2	0.0527	0.1999			
374	2	0.0527	0.2033			
384	1	0.2979				
394	1	0.2979				
404	2	0.120	0.120			
414	2	0.120	0.120			
424	2	0.2979	0.2979			
434	1	0.2979				
444	1	0.2979				
454	1	0.2979				
464	2	0.2979	0.2979			
474	2	0.152	0.152			
484	2	0.152	0.152			
494	1	0.248				
714	1	1.0				
724	1	1.0				
734	1	0.5				
744	1	0.5				
754	1	0.5				
764	1	1.0				
774	1	1.0				
784	2	2.099	2.099			
794	1	0.5				
804	1	0.65				
814	2	2.807	2.807			
824	1	0.9125				
834	1	1.825				
844	1	0.9125				
854	1	0.9125				
864	1	1.825				
874	1	0.9125				
884	1	8.395				
894	2	2.099	2.099			
904	2	8.244	2.25			
914	2	8.67	2.25			
924	2	8.67	1.454			
934	1	1.35				
944	1	1.35				
954	2	0.675	0.675			
964	2	0.675	0.675			
974	2	1.205	1.205			
984	1	4.82				
994	1	4.82				
1004	1	4.82				
1014	2	1.205	1.205			
1024	2	3.0	3.0			
1034	2	3.0	3.0			
1044	1	0.1				
1334	1	90.				
1364	2	90.	90.			
1434	3	90.	90.	90.		
1444	1	90.				
1454	4	90.	90.	90.	90.	
1464	4	90.	90.	90.	90.	
1474	2	90.	90.			
1524	1	90.				

1534	1	90.				
1544	1	90.				
1554	2	90.	90.			
1574	2	90.	90.			
1584	1	90.				
1884	1	10.				
1914	1	0.5				
1994	1	1.0				
2004	1	6.2				
2014	1	0.5				
2024	1	5.95				
2054	1	2.8				
2064	1	2.8				
2074	1	0.5				
2114	1	1.0				
2124	1	0.5				
2134	1	1.0				
2434	1	3.0				
2464	2	3.0	3.0			
2534	3	3.0	3.0	3.0		
2544	1	3.0				
2554	4	3.0	3.0	3.0	3.0	
2564	4	3.0	3.0	3.0	3.0	
2574	2	3.0	3.0			
2624	1	3.0				
2634	1	3.0				
2644	1	3.0				
2654	2	3.0	3.0			
2674	2	3.0	3.0			
2684	1	3.0				
2914	5	25.	25.	12.5	12.5	12.5
2919	4	25.	25.	0.	12.5	
2969	5	1.5E+4	1.5E+4	0.	1.5E+4	1.033E+4
2974	5	2.8E+4	10.E+9	0.	1.42E+4	445.
3034	5	1.94	2.02	2.02	1.33	1.19
3039	5	1.05	1.24	1.1	1.0	1.02
3044	5	1.0	1.02	1.1	1.0	1.0
3049	5	1.0	1.0	1.0	1.0	1.0
3054	5	1.0	1.0	1.0	1.0	1.0
3059	3	1.0	1.0	0.9		
3074	5	10.E+9	10.E+9	10.E+9	1.0	0.06
3079	2	0.5	3.05			
3081	1	1.00				
3121	4	0.0	1.0	9.0	100.0	
3141	4	9.4	9.4	8.3	8.3	
3161	1	1.0				
3162	5	2.0	2.0	2.0	2.0	2.0
3167	5	2.0	2.0	1.0	2.0	2.0
3172	5	1.0	2.0	2.0	2.0	2.0
3177	5	2.0	2.0	1.0	1.0	1.0
3182	5	1.0	1.0	1.0	1.0	1.0
3187	5	1.0	2.0	2.0	2.0	2.0
3192	4	2.0	2.0	2.0	2.0	
3257	4	420.55	9.807	9.807	1.66	
3262	3	1.0E-3	100.	0.		
3311	1	0.1125				
3321	1	0.1125				
3331	1	0.1125				
3341	1	0.1125				
3351	1	0.3376				
3361	1	0.3376				
3371	1	0.3376				
3391	1	0.3376				
3401	1	0.8960				
3421	1	0.3012				
3431	1	0.3012				
3441	1	0.3012				
3551	2	0.423	0.423			
3561	2	0.423	0.423			
3900	1	0.05E-3				
4001	5	445.0	445.0	445.0	445.0	445.0
4006	5	445.0	445.0	445.0	445.0	445.0
4011	5	445.0	445.0	445.0	445.0	445.0
4016	5	445.0	445.0	445.0	445.0	445.0
4021	5	445.0	445.0	340.0	340.0	340.0
4026	3	340.0	340.0	350.0		
4041	5	1180.0	20.0	1.38	0.66	1.356E-11
4046	5	0.14	1.0	1.0E4	0.5	0.05

## PNC SN941 85-53

4051	2	0.5	0.05			
4057	1	0.0083				
4061	5	0.025	0.8	0.8	5.0	0.023
4066	5	0.8	0.4	0.0	0.921	0.5
4071	5	0.5	0.0	1.0	0.6	0.5
4076	3	0.333	2.0	1.0		
4101	5	0.0045	0.0045	0.0045	0.0045	0.0045
4106	5	0.0045	0.0075	0.015	0.015	0.015
4111	5	0.0	0.0	0.015	0.00325	0.00325
4116	5	0.00325	0.0041	0.00195	0.0095	0.00515
4121	5	0.0095	0.0095	0.00515	0.00515	0.00515
4126	3	0.00515	0.00355	0.016		
4141	5	1.161	1.161	1.161	3.483	3.483
4146	5	3.483	3.037	4.611	7.453	7.453
4151	5	0.0	0.0	6.95	5.36	5.36
4156	5	4.95	2.83	3.56	1.46	2.53
4161	5	6.79	1.81	4.51	4.51	4.51
4166	3	4.51	5.69	56.55		
4221	5	98.328	98.328	98.328	294.984	294.984
4226	5	294.984	365.46	1078.95	1784.35	1784.35
4231	5	0.0	0.0	1626.85	281.0	281.0
4236	5	232.0	188.0	134.0	171.0	210.0
4241	5	1030.0	211.0	375.0	375.0	375.0
4246	3	375.0	330.0	14115.0		
4261	5	0.5505	0.5505	0.5505	0.5505	0.5505
4266	5	0.5505	0.772	1.3	0.2950	0.2950
4271	5	0.0	0.0	1.3	0.2033	0.2033
4276	5	0.2033	0.1999	0.0527	0.8	0.2979
4281	5	0.12	0.8	0.2979	0.2979	0.2979
4286	3	0.2979	0.151	3.0		
4310	2	1.0	100.0			
4315	2	0.01	0.01			
4320	2	0.001	0.001			
4325	5	0.01	7.11E+6	7.11E+6	7.11E+6	1000.0
4330	2	1000.0	30.0			

## B.4 Run 7入力データのカード・リスト

\*\*\* QUASI-STEADY PRESSURE SWAT-3 RUN 7 CASE RUN7QN2 11/12/84 \*\*

	3	1	1	7	1	10000	26	5	100	200	200	1000	2000
	49	1	1	52	1	1	56	1	50				
	58	1	1										
	4	1				6.0							
	4	1				12.0							
*** SWAT-3	RUN7QN2	BUB/DROP	DENS	AND	REACTION	ENRGY		11/12/83	**				
1	10	2	30	40	30	4	3	0	15	21	0		
11	4	7	13	15	29								
16	3	19	20	21									
26	6	5	15	16	17	21	22						
47	10	1	1	1	3	3	5	5	2	2	4		
57	10	6	8	9	10	11	16	17	18	18	19		
67	10	14	22	20	8	14	28	29	14	12	13		
77	10	11	7	21	23	15	24	25	26	27	30		
102	10	2	8	3	4	5	6	7	8	4	6		
112	10	7	9	10	11	16	17	18	20	19	21		
122	10	22	20	21	14	28	29	15	12	13	15		
132	10	7	15	23	26	24	25	26	27	30	0		
157	6	3	16	11	1	4	6						
180	10	2	3	7	8	9	11	15	17	18	21		
190	6	22	23	33	34	35	39						
210	10	0	1	1	0	0	0	1	1	1	0		
220	10	1	0	0	0	1	0	1	1	0	0		
230	10	2	2	1	0	0	0	0	0	0	0		
240	10	0	0	1	1	1	0	0	0	1	0		
265	10	15	16	17	21	22	33	35	36	37	38		
275	1	39											
285	10	0	0	0	0	0	0	0	0	0	0		
295	10	0	0	0	0	1	2	2	0	0	0		
305	10	6	6	0	0	0	0	0	0	0	0		
315	10	0	0	2	0	1	1	1	1	1	0		
480	1	1											
490	2	1	1										
500	2	1	2										
540	6	1	1	2	2	2	2						
550	6	2	2	2	2	2	2						
660	2	1	2										
680	1	1											
690	1	1											
700	1	1											
710	1	1											
720	1	1											
890	2	1	1										
901	1	4											
903	4	2	1	1	0								
1045	2	5	5										
1050	2	2	4										
	7	1	0.67										
	13	1	0.67										
	15	1	1.197										
	19	3	0.47		0.47		0.676						
	29	1	0.67										
	41	3	6.03		0.043		0.0254						
	44	5	3.55		3.55		4.55		4.55		5.55		
	49	5	5.55		6.4		2.813		3.55		4.55		
	54	5	5.55		3.619		5.706		2.148		7.38		
	59	5	3.35		1.025		3.5		5.15		5.15		
	64	5	6.85		3.398		9.		6.9		9.32		
	69	5	10.9		14.5		3.594		5.681		14.5		
	84	5	0.429		0.429		0.429		0.429		0.429		
	89	5	0.429		1.123		1.123		0.8745		0.8745		
	94	5	0.8745		0.3334		0.3334		1.3		1.3		
	99	5	0.2033		0.2033		0.8		0.2979		0.734		
	104	5	0.8		0.1999		0.152		0.2979		0.2979		
	109	5	0.2979		0.2979		0.4952		0.4952		3.0		
	124	5	1.0		1.0		1.0		1.0		1.0		
	129	5	1.0		0.7		0.475		1.0		1.0		
	134	5	1.0		2.0875		2.0875		0.7456		1.197		
	139	5	8.145		8.145		0.5143		2.7		2.7		
	144	5	0.676		12.992		11.7		4.702		4.702		

## PNC SN941 85-53

149	5	4.702	4.702	2.0875	2.0875	5.54
164	1	0.21				
174	2	0.0682	0.0682			
184	2	0.0682	0.0682			
194	1	0.21				
204	2	0.0682	0.0682			
214	1	0.21				
224	2	0.0682	0.0682			
234	2	0.0682	0.0682			
244	2	0.0682	0.0682			
254	2	0.0682	0.0682			
264	2	0.0682	0.0682			
274	2	0.5884	0.5884			
284	1	0.5884				
294	1	0.5884				
304	2	0.2033	0.2033			
314	1	0.2033				
324	2	0.2033	0.2033			
334	2	0.442	0.442			
344	1	0.2979				
354	1	0.2979				
364	3	0.2033	0.0527	0.1999		
374	3	0.1999	0.0527	0.2033		
384	2	0.442	0.442			
394	1	0.8224				
404	1	0.098				
414	1	0.098				
424	1	0.098				
434	1	0.3334				
444	1	0.3334				
454	1	0.3334				
464	1	0.5884				
474	1	0.8224				
484	2	0.152	0.152			
494	2	0.152	0.152			
504	2	0.2979	0.2979			
514	1	0.2979				
524	1	0.2979				
534	1	0.2979				
544	2	0.2979	0.2979			
554	1	0.248				
714	1	1.685				
724	2	0.25	0.25			
734	2	0.5	0.5			
744	1	1.685				
754	2	0.5	0.5			
764	1	1.685				
774	2	0.25	0.25			
784	2	0.25	0.25			
794	2	0.5	0.5			
804	2	0.5	0.5			
814	2	0.25	0.25			
824	2	0.25	0.25			
834	1	1.0				
844	1	1.0				
854	2	2.715	2.715			
864	1	5.43				
874	2	2.715	2.715			
884	2	0.675	0.675			
894	1	1.350				
904	1	1.35				
914	3	5.352	8.113	2.25		
924	3	2.25	15.207	1.254		
934	2	0.675	0.675			
944	1	0.475				
954	1	1.0				
964	1	2.0				
974	1	1.0				
984	1	1.044				
994	1	2.0875				
1004	1	1.044				
1014	1	0.5				
1024	1	0.7				
1034	2	2.925	2.925			
1044	2	2.925	2.925			
1054	2	1.881	1.881			
1064	1	3.762				
1074	1	3.762				

1084	1	3.762					
1094	2	1.881	1.881				
1104	1	3.762					
1404	1	90.0					
1414	2	90.0	90.0				
1424	2	90.0	90.0				
1464	5	90.0	90.0	90.0	90.0	90.0	90.0
1469	1	90.0					
1474	5	90.0	90.0	90.0	90.0	90.0	90.0
1479	1	90.0					
1584	2	90.0	90.0				
1604	1	90.0					
1614	1	90.0					
1624	1	90.0					
1634	1	90.0					
1644	1	90.0					
1824	1	36.63					
1834	1	7.935					
1874	1	7.935					
1884	1	36.63					
1894	1	7.935					
1914	1	7.935					
1954	1	10.0					
1974	1	1.0					
1984	1	5.6					
2014	2	5.6	7.2				
2024	2	0.0	2.31				
2034	1	0.0					
2134	1	0.5					
2144	1	1.71					
2154	1	0.5					
2194	1	1.0					
2504	1	13.0					
2514	2	13.0	3.0				
2524	2	13.0	3.0				
2564	5	13.0	3.0	3.0	3.0	3.0	3.0
2569	1	13.0					
2574	5	13.0	3.0	3.0	3.0	3.0	3.0
2579	1	13.0					
2684	2	13.0	3.0				
2704	1	13.0					
2714	1	13.0					
2724	1	13.0					
2734	1	13.0					
2744	1	13.0					
2914	1	32.0					
2917	3	32.0	0.0	32.0			
2969	3	1.5E+4	1.5E+4	0.0			
2972	2	1.5E+4	1.033E+4				
2974	4	3.6E+4	1.0E+6	0.0	1.6E+4		
3074	3	1.0E+10	1.0E+10	1.0E+10			
3077	2	1.0	0.06				
3079	1	0.5					
3080	2	2.155	1.0				
3121	4	0.0	1.0	9.0	1000.0		
3141	4	10.6	10.6	7.9	7.9		
3161	1	1.0					
3257	4	420.55	9.8	9.8	1.66		
3262	1	1.0E-3					
3263	2	100.0	0.0				
3311	1	0.054					
3321	2	0.1445	0.1445				
3331	2	0.1445	0.1445				
3341	1	0.054					
3351	2	0.1445	0.1445				
3361	1	0.054					
3371	2	0.1445	0.1445				
3381	2	0.1445	0.1445				
3391	2	0.1445	0.1445				
3401	2	0.1445	0.1445				
3411	2	0.1445	0.1445				
3421	2	0.6006	0.6006				
3431	1	0.6006					
3441	1	0.6006					
3481	2	0.4123	0.4123				
3531	2	0.4123	0.4123				
3541	1	0.9906					
3551	1	0.1926					

PNC SN941 85-53

3561	1	0.1926				
3571	1	0.1926				
3611	1	0.6006				
3621	1	0.9906				
3900	1	0.05E-3				
4001	5	245.0	245.0	245.0	245.0	245.0
4006	5	245.0	245.0	245.0	245.0	245.0
4011	5	245.0	245.0	245.0	245.0	245.0
4016	5	245.0	245.0	245.0	245.0	245.0
4021	5	245.0	245.0	240.0	240.0	240.0
4026	5	240.0	240.0	245.0	245.0	257.0
4041	5	1140.0	20.0	1.38	0.66	1.356E-11
4046	5	0.14	1.0	1.0E+4	0.5	0.05
4051	3	0.5	0.05255	0.0		
4057	1	0.0083				
4061	5	0.025	0.8	0.8	5.0	0.023
4066	5	0.8	0.4	0.0	0.921	0.5
4071	5	0.5	0.0	1.0	0.6	0.5
4076	3	0.333	2.0	1.0		
4101	5	0.006	0.006	0.006	0.006	0.006
4106	5	0.006	0.006	0.006	0.00555	0.00555
4111	5	0.00555	0.0	0.0	0.015	0.015
4116	5	0.00325	0.00325	0.0095	0.00515	0.0095
4121	5	0.0095	0.0025	0.00355	0.00515	0.00515
4126	5	0.00515	0.00515	0.015	0.015	0.016
4141	5	3.371	3.371	3.371	3.371	3.371
4146	5	3.371	3.411	2.317	1.117	1.117
4151	5	1.117	0.0	0.0	3.488	5.93
4156	5	5.36	5.36	1.46	2.53	6.79
4161	5	1.81	11.34	5.69	4.51	4.51
4166	5	4.51	4.51	8.17	8.17	56.55
4221	5	315.52	315.52	315.52	315.52	315.52
4226	5	315.52	373.32	257.81	93.70	93.70
4231	5	93.70	0.0	0.0	816.1	1387.9
4236	5	281.0	281.0	216.3	210.0	1030.0
4241	5	268.2	554.0	330.0	375.0	375.0
4246	5	375.0	375.0	1955.5	1955.5	14114.
4261	5	0.172	0.172	0.172	0.172	0.172
4266	5	0.172	0.823	0.823	0.588	0.588
4271	5	0.588	0.0	0.0	1.3	1.3
4276	5	0.2033	0.2033	0.8	0.2979	0.12
4281	5	0.8	0.101	0.151	0.2979	0.2979
4286	5	0.2979	0.2979	0.098	0.098	3.0
4310	2	1.0	100.			
4315	2	0.01	0.01			
4320	2	0.001	0.001			
4325	5	0.01	7.11E+6	7.11E+6	7.11E+6	1000.
4330	1	1000.				
4331	1	30.0				

\*\*\*\*\* 4331 QGEN: REACTION ENRGY \*\*\*\*\*